

۷۲۵۹  
۷۸  
۲۷.  
۱۶۹  
۱۲  
۱۳۸۱

## وزارت صنایع و معادن

### سازمان زمین شناسی و اکتشافات معدنی کشور

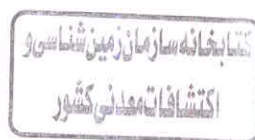
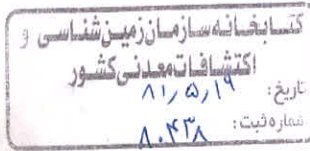
گزارش اکتشافات ژئوشیمیایی سیستماتیک ناحیه‌ای از  
رسوبات آبراهه‌ای در محدوده برگه ۱:۱۰۰۰۰

## دامغان

مجری طرح: مهندس محمد تقی کره‌ای

توسط: گروه اکتشافات ژئوشیمیایی طرح پی جویی

فوردین ۱۳۸۱



## فهرست آلبوم نقشه ها

شماره نقشه	شرح نقشه ها
۱	نقشه محل برداشت نمونه ها
۲	نقشه توزیع تخمین شبکه ای عنصر Au (بر اساس ضریب غنی شدگی)
۳	نقشه توزیع تخمین شبکه ای عنصر Bi, Au (بر اساس ضریب غنی شدگی)
۴	نقشه توزیع تخمین شبکه ای عنصر Ba, Sr (بر اساس ضریب غنی شدگی)
۵	نقشه توزیع تخمین شبکه ای عنصر Co, Ni, Cr (بر اساس ضریب غنی شدگی)
۶	نقشه توزیع تخمین شبکه ای عنصر Cu (بر اساس ضریب غنی شدگی)
۷	نقشه توزیع تخمین شبکه ای عنصر Fe, V (بر اساس ضریب غنی شدگی)
۸	نقشه توزیع تخمین شبکه ای عنصر Mn (بر اساس ضریب غنی شدگی)
۹	نقشه توزیع تخمین شبکه ای عنصر Mo (بر اساس ضریب غنی شدگی)
۱۰	نقشه توزیع تخمین شبکه ای عنصر Sb, Hg, As (بر اساس ضریب غنی شدگی)
۱۱	نقشه توزیع تخمین شبکه ای عنصر Sn (بر اساس ضریب غنی شدگی)
۱۲	نقشه توزیع تخمین شبکه ای عنصر W (بر اساس ضریب غنی شدگی)
۱۳	نقشه توزیع تخمین شبکه ای عنصر Pb, Zn, Ag (بر اساس ضریب غنی شدگی)
۱۴	نقشه تخمین شبکه ای توزیع کانیهای کلاستر ۱
۱۵	نقشه تخمین شبکه ای توزیع کانیهای کلاستر ۲
۱۶	نقشه شاخص کانیهای سنگین
۱۷	نقشه تخمین شبکه ای توزیع کانیهای گروه آهن
۱۸	نقشه تخمین شبکه ای توزیع کانیهای کانساری
۱۹	نقشه تخمین توزیع شکستگی ها (بر اساس نقشه زمین شناسی ۱:۱۰۰،۰۰۰ دامغان)
۲۰	نقشه معرفی مناطق امید بخش

## تقدیر و تشکر

اکنون که با پاری خداوند و تلاش همکاران پژوهه اکتشافات ژئوشیمیابی رسوبات آبراههای برگه دامغان به پایان رسیده است لازم است از کلیه کسانی که در به ثمر رسیدن این پژوهه نقش مؤثر داشته‌اند نام بردگ شود تا بدنیوسله از خدمات آنها قدردانی گردد.

در ابتدا لازم است از توجه و عنایت آقای مهندس محمد تقی کره‌ای، ریاست محترم سازمان زمین‌شناسی و اکتشافات معدنی کشور و همچنین از زحمات آقای مهندس علی محمدی جوآبادی مدیر پژوهه که بدون مساعدت آنها انجام این پژوهه میسر نبود، تشکر بعمل آید.

در ادامه نام افراد و گروههایی که در انجام این پژوهه همکاری داشته‌اند آورده شده است:

### ۱- گروه نمونه برداری

رامین هندي، پیام سودي شعار، حسن عزمي، محمود پولادزاده، بهرام ابوالقاسمي، علی بيات

علی رفيعي، آرش ارفعي، محمود غضنفری، حسين محمدی

### ۲- آماده سازی نمونه ها

حسن دانشيان، بخش آماده سازی نمونه ها در سازمان زمین‌شناسی و اکتشافات معدنی

کشور.

### ۳- پردازش داده ها

رامین هندي، پیام سودي شعار، حسن عزمي، محمود پولادزاده، بهرام ابوالقاسمي، علی بيات

علی رفيعي، آرش ارفعي، محمود غضنفری، فرشته رستمي، آوا اشراف، مریم دهقانی

### ۴- کنترل آنومالي ها

رامین هندي، حسن عزمي، محمود پولادزاده، بهرام ابوالقاسمي، علی بيات علی رفيعي،

آرش ارفعي، محمود غضنفری

### ۵- مطالعات کانی سنگين

بخش مطالعات کانی سنگين سازمان زمین‌شناسی و اکتشافات معدنی کشور سرکار خانم

صالحی و همکاران ایشان

### ۶- تهیه نقشه و گزارش

پیام سودي شعار، حسن عزمي، محمود پولادزاده، بهرام ابوالقاسمي، علی بيات، علی رفيعي،

آرش ارفعي، محمود غضنفری، مریم دهقانی، فرشته رستمي، آوا اشراف

## فهرست مطالب

### صفحه

### عنوان

راهنمای آلبوم نقشه ها

تقدیر و تشکر

### فصل اول: کلیات

۱

۱- مقدمه

۱

۲- اهداف اکتشافات ژئوشیمیایی در مقیاس ناحیه ای

۲

۳- جمع آوری اطلاعات

۲

۴- بررسی حوضه های آبریز

۲

۵- موقعیت جغرافیایی و آب و هوایی منطقه

۴

۶- زمین شناسی دامغان

### (۱۲-۱۵)

### فصل دوم: نمونه برداری

۱۲

۱- مقدمه

۱۳

۲- عوامل موثر در طراحی نمونه برداری

۱۴

۳- عملیات نمونه برداری

### (۱۶-۲۴)

### • فصل سوم: نقش سنگ بستر

۱۶

۱- اجدایش جوامع سنگی

۱۸

۲- نقش سنگ بستر در ارزیابی مقدار زمینه و حد آستانه ای

۱۸

۲-۱- نقش سنگ بستر در ایجاد آنومالی های کاذب

۱۹

۲-۲- تغییر پذیری سنگ بستر

۱۹

۲-۳- بررسی مقادیر کلارک سنگهای رخمنون دار در منطقه

## • فصل چهارم : پردازش داده ها

۲۵	- مقدمه
۲۵	۱- پردازش داده های جوامع تک سنگی
۲۶	۲- پردازش داده های جوامع دو سنگی
۲۶	۳- پردازش داده های جوامع سه سنگی
۲۶	۴- پردازش داده های جوامع چهار سنگی
۲۶	۵- پردازش داده های جوامع پنج سنگی
۲۶	۶- پردازش داده های جوامع پنج سنگی

## • فصل پنجم : تخمین مقدار زمینه

۲۸	۱- تحلیل ناهمگنی ها
۲۸	۲- سیمای ژئوشیمیابی جوامع مختلف بر اساس سنگ بستر بالا دست
۳۰	۳- تخمین مقدار زمینه

## • فصل ششم : تخمین شبکه ای شاخص های غنی شدگی

۳۴	۱- تخمین شبکه ای
۳۶	۲- شاخص غنی شدگی با حذف اثر سنگ بالا دست
۳۷	۳- محاسبه احتمال رخداد هر یک از شاخص های غنی شدگی
۴۲	۴- محاسبه ضریب غنی شدگی بر اساس آنالیز نمونه ها
۴۳	۵- معروف متغیرهای تک عنصری و چند عنصری و رسم نقشه ها
۴۴	۶- ترسیم نقشه ها

## • فصل هفتم : فاز کنترل آنومالیهای ژنوشیمیایی

۷۱	۱- مقدمه
۷۲	۲- ردیابهای کانی سنگین
۷۲	۳- بزرگی هاله های کانی سنگین
۷۳	۴- نمونه برداری کانی سنگین ، زون های میزرازه و آلترا احتمال
۷۴	۴-۱- نکاتی در مورد محل ، چگالی و وزن نمونه های کانی سنگین
۷۴	۴-۲- معرفی مناطق آنومال و نمونه های برداشت شده کانی سنگین و میزرازه
۸۵	۵- پردازش داده های کانی سنگین
۸۵	۵-۱- رسم هیستو گرامها
۸۵	۵-۲- آنالیز کلاستر متغیرهای کانی سنگین
۱۰۸	۶- تخمین شبکه ای و رسم نقشه های متغیرهای کانی سنگین
۱۰۹	۷- نتایج حاصل از نمونه های میزرازه
۱۰۹	۸- آنالیز ویژگی نمونه های میزرازه
۱۱۵	۹- مطالعه تغییر پذیری دانسیته گسلها
۱۱۵	۹-۱- مقدمه
۱۱۵	۹-۲- روش مطالعه
۱۱۶	۹-۳- داده های خام
۱۱۶	۹-۴- پارامترهای آماری مجموع طول گسل ها
۱۱۷	۹-۵- پارامترهای آماری امتداد گسلها
۱۱۷	۹-۶- رسم نقشه دانسیته گسلها

## • فصل هشتم : مدل سازی آنومالیهای ژنوشیمیایی

۱۲۱	۱- روش کار
۱۲۲	۲- مدل سازی
۱۲۲	۲-۱- مقدمه
۱۲۳	۲-۲- مدل های عددی

۱۲۴	۳-۲- مدل سازی آنومالیهای رئوشیمیایی
۱۳۶	۴-۲- اولویت بندی مناطق امید بخش بر اساس نرم افزار ODM
۱۳۶	۴-۲-۱- معرفی مناطق امید بخش نهایی
۱۴۱	۵-۲- معرفی نهایی مناطق آنومال

## فصل اول

### کلیات

#### ۱- مقدمه

اکتشافات ناحیه‌ای در مقیاس ۱:۱۰۰،۰۰۰ در زمرة عملیات اکتشافی زیر بنائی بحساب می‌آید که هدف آن شناخت نواحی با پتانسیل معدنی است. برای نیل به این اهداف، از روش‌های مختلف ژئوفیزیکی، ژئوشیمیابی و اطلاعات ماهواره‌ای می‌توان بهره برد. نقشه‌برداری ژئوشیمیابی در مقیاس ناحیه‌ای نیز یکی از این روش‌هاست که می‌تواند با نمونه‌برداری از رسوبات رودخانه‌ای انجام پذیرد. پروژه حاضر بخشی از طرح اکتشاف ژئوشیمیابی سیستماتیک می‌باشد که در محدوده برگه ۱:۱۰۰،۰۰۰ دامغان انجام می‌پذیرد. اجرای این پروژه در دو بخش طراحی شده است. بخش اول عملیات تا رسم نقشه آنومالی‌های ژئوشیمیابی و تعیین مناطق پرپتانسیل برای کنترل اولیه می‌باشد. بخش دوم شامل عملیات کنترل آنومالی‌هاست که از طریق مطالعات کانی سنگین، آلتراسیون، مناطق کانی‌سازی و شکستگی‌های پر شده تعقیب خواهد شد و در نهایت اگر پس از کنترل به نتایج مثبتی متنهی شوند، بعنوان مناطق امید بخش معرفی خواهند شد.

#### ۲- اهداف اکتشافات ژئوشیمیابی در مقیاس ناحیه‌ای

بطور تجربی ثابت شده است که رسوبات آبراهه‌ای (عموماً جزء ۸۰-مش) می‌تواند در اکتشافات کوچک مقیاس ناحیه‌ای (۱:۱۰۰،۰۰۰ تا ۱:۲۵۰،۰۰۰) بسیار مفید واقع شود. نتایج حاصل از این بررسی‌های اکتشافی می‌تواند در تحلیل ایالات ژئوشیمیابی و شناخت الگوهای ژئوشیمیابی ناحیه‌ای و همچنین نواحی‌ای که در آنها احتمال کشف نهشته‌های کانساری بیشتر می‌باشد، بسیار موثر واقع شود. علاوه بر کاربردهای مستقیم ذکر شده، نقشه‌های ژئوشیمیابی رسوبات آبراهه‌ای می‌تواند کاربردهایی در زمینه کشاورزی و محیط زیست نیز داشته باشد. بدینهی است که اهداف اکتشافی این نوع بررسی‌ها با اهدافی نظیر تشخیص الگوهای ناحیه‌ای برای توزیع عناصر، متفاوت است و بدین جهت باید برای هر منظری از روش مناسب با آن استفاده کرد. در مورد اول که هدف کشف آنومالی در هاله‌های ثانویه است، باید از تکنیک‌های آماری‌ای استفاده نمود که اختلاف بین مقادیر آنومالی و روندهای ناحیه‌ای را به حد اکثر مقدار خود برساند و در نتیجه از طریق شدت بخشی آنومالی‌ها، به شناسائی هر چه دقیق‌تر آنها پی برد. در حالت

دوم چون هدف دست یابی به روندهای ناحیه‌ای است، باید از تکنیک‌های آماری‌ای استفاده نمود که اثر گذاری آنmalی‌ها را در روندهای ناحیه‌ای به حداقل مقدار خود برساند. چگالی نمونه‌برداری در این حالت یک نمونه برای چند کیلومتر مربع است که بوسیله سقف بودجه کنترل می‌شود.

### ۳- جمع آوری اطلاعات

در این مرحله اسناد و مدارک مربوط به منطقه تحت پوشش به شرح زیر تهیه و مورد مطالعه قرار گرفت:

۱- نقشه‌های توپوگرافی ۱:۵۰،۰۰۰ منطقه مورد مطالعه شامل چهارگوش‌های طالو، قلعه، دامغان، و امیرآباد.

۲- نقشه زمین‌شناسی ۱:۱۰۰،۰۰۰ دامغان.

۳- نقشه ژئوفیزیک هوایی (مغناطیس هوایی) با مقیاس ۱:۲۵۰،۰۰۰ منطقه مورد مطالعه با توجه به اطلاعات حاصل از مدارک فوق الذکر، برنامه عملیات صحرایی جهت نمونه‌برداری چیزی گردید و در هر مورد نقش پارامترهای موثر در برنامه‌بازی اکشافی (بخصوص در نمونه‌برداری) مورد بررسی قرار گرفت که خلاصه آن در بخش‌های بعدی گزارش آورده شده است.

### ۴- بررسی حوضه‌های آبریز

به منظور سهولت بخشنیدن به طراحی محل نمونه‌ها و اجرای عملیات مربوط، در هر حوضه آبریز لازم است تا حوضه‌های آبریز هر یک از برگه‌های توپوگرافی ۱:۵۰،۰۰۰ منطقه، تعیین و مشخص گردد. همچنین تعیین محدوده حوضه‌های آبریز بر روی هر برگه می‌تواند در تحلیل داده‌های مربوط به آن مفید واقع شود. جهت سهولت در مشخص نمودن محل آنmalی‌های احتمالی، که پس از تجزیه و تحلیل داده‌های حاصل از آنالیز نمونه‌ها بدست خواهد آمد، محدوده حوضه‌های آبریز در هر یک از برگه‌های ۱:۵۰،۰۰۰ لازم است مورد بررسی قرار گیرد.

### ۵- موقعیت جغرافیایی و آب و هوایی منطقه

منطقه مورد مطالعه بین طولهای جغرافیایی  $54^{\circ}$  تا  $54^{\circ} 30'$  و عرض‌های جغرافیایی  $36^{\circ}$  تا  $36^{\circ} 30'$  واقع شده است. دامغان در استان سمنان قرار گرفته و از شمال به سلسله جبال البرز، از خاور به شهرستان شاهروド، از جنوب به کویر مرکزی ایران و استان اصفهان و از باخترا به شهرستان سمنان محدود است. فاصله آن تا مرکز استان سمنان ۱۱۴ کیلومتر می‌باشد.

شهر دامغان با طول جغرافیایی<sup>۱</sup> ۵۴° ۲۰'، عرض جغرافیایی<sup>۲</sup> ۳۶° ۹' ارتفاع متوسط آن از سطح دریا ۱۱۳۰ متر است. آب و هوای آن نسبت به پستی و بلندی و به واسطه وزش بادهای شدید متغیر است. بدین ترتیب که قسمت‌های کوهستانی آن سردسیر و بیلاقی و قسمت‌های دامنه معتدل و حدود کنار دشت و کویرگرم است. موقع وزش باد شمالی که در نتیجه بارندگی نواحی گرگان و مازندران است زمستان بی‌نهایت سرد و در تابستان هوا معتدل است. گاهی اوقات در اثر وزش باد هوا تیره و تاریک می‌شود. حدود این رودخانه شنی از عوض آباد تا ایستگاه سرخدره سحسن آباد بسیار شدید است. جریان بقدرتی شدید است که مانع رشد درختان می‌گردد. این شهرستان شامل دو بخش یکی حومه و دیگری بخش امیرآباد و سه دهستان به نامهای حومه، دامنکوه و روبار است. در شمال دامغان رشته کوه‌هایی بنام سفیدکوه قرار گرفته که تا شاهکوه امتداد دارند و در حد فاصل بین دامغان و سمنان شاخه‌ای از سفیدکوه جدا گشته به طرف کویر نمک فرو می‌افتد که کوه‌های آن سلطان شاهرخ و پنج کوه است.

برگه مورد مطالعه بیشتر شامل نواحی باختری و شمالی شهرستان دامغان است. توپوگرافی به صورت کوه‌های مرتفع در شمال باختر (بخش‌هایی از دامنه جنوبی کوه‌های البرز) که توسط تپه‌های در جنوب باختر و دشت دامغان در جنوب خاور محاصره شده، می‌باشد.

مرتفع‌ترین نقطه کوه کرکسی (با ۳۶۲۳ متر ارتفاع) در گوش شمال خاور برگه و کمارتفاع ترین نقطه با ۱۰۶۸ متر در گوش جنوب خاور قرار دارند. نظر به اینکه در دشت دامغان در نزدیکی منطقه خشک تغییرات دما به صورت روزانه و سالانه تغییر می‌کند، شبکه آبنگاری به صورت مناسبی پیشرفتی است و تحت الشاعع رودخانه چشمه‌علی که توسط چشمدهای به همین نام تغذیه می‌شود (در شمال باختر دامغان) می‌باشد. دیگر رود، رود دامغان که به رود چشمه‌علی می‌پیوندد و ضریب جریان پایین دست آن حدود ۱۲۰۰ لیتر/ثانیه اندازه‌گیری شده است. رودخانه‌های مهم منطقه چهارده، دامغان رود و رودخانه نمکه و آستانه می‌باشد. تعداد زیادی از قنات‌ها جهت آبیاری بکار می‌روند. اغلب جمعیت در شهر دامغان، تعدادی در روستا و در دشت دامغان و روستای بزرگ چهارده در شمال تمرکز یافته اند. بخش جنوب خاور برگه خالی از سکنه است. مهمترین جاده، بزرگراه تهران-مشهد است. اما در منطقه تعداد زیادی جاده درجه دو و مسیر مال رو وجود دارد. کوه‌های مرتفع در بخش شمالی قابل تردد نیست ولی جاده ارتباطی گرگان به دامغان هم اکنون در حال احداث است. راه آهن تهران-مشهد نیز از جنوب باختر برگه عبور می‌کند.

برگه دامغان شامل چهار قسم طالو، دامغان، امیرآباد، و قلعه می‌باشد.

## ۶- زمین‌شناسی ناحیه‌ای

محدوده برگه دامغان در جنوب رشته کوه‌های البرز قراردارد و تعدادی از سازندهای این رشته کوه را دربرمی‌گیرد. قدیمی‌ترین لایه در بخش شمال باخته برگه در امتداد جاده ما بین چشمکه علی و دامغان می‌باشد که مربوط به سازنده باروت با سن اینفراتکمبرین است و عبارتست از تناوب لایه‌های نازک ماسه‌سنگ و شیل ارغوانی با میان لایه‌های دولومیت کریستالی و آهک دولومیتی شامل نودول و باندهای از چرت سیاه. این سنگ‌ها هم‌بُری تکتونیکی با سازندهای جوان تر دارند. از رسوبات کامبرین، سازندهای لالون و میلا در این بخش موجود می‌باشند. ماسه‌سنگ لالون در میان کوه در شمال خاور دامغان و نیز در دامنه جنوبی کوه زنگی در شمال دامغان دیده می‌شود و شامل ماسه‌ای که تا اندازه‌ای آركوزی است با رنگ ارغوانی تا صورتی با دانه‌بندی متوسط و رگه‌های کمیابی از شیل قرمز مشخص می‌گردد. اشکال cross-bedding در ماسه‌سنگ عادی است. بالاترین بخش سازنده، ماسه‌سنگ کوارتزیت (کوارتزیت بالایی) است که بیش از ۶۵ متر ضخامت دارد و از لایه‌های زیرین توسط ماسه‌سنگ قرمزی به ضخامت ۵۰ متر از بخش شیل ارغوانی جدا می‌شود. رخساره زیرین ماسه‌سنگ لالون در این برگه دیده نمی‌شود. اما در خاور در نزدیکی روستای مزرعه، به صورت هم‌شیب روی شیل میکادار سازنده زاگون دیده می‌شود. کوارتزیت بالایی در برگه دامغان به صورت هم‌شیب توسط دولومیت سیاه و آهک دولومیتی زرد با ضخامت ۷۵ متر پوشانده شده که معادل عضو یک سازنده میلا در میلاکوه واقع در چهار گوش ساری در باخته می‌باشد. بخش‌های ۲ و ۴ این سازنده در برگه دامغان شامل آهک دولومیتی و آهک دانه درشت اسپاری و نودولار با لایه‌های نازک شیل است. تکه‌هایی از تریلوپیت‌ها به صورت نادر یافت می‌شود، اما برآکیوپردها فراوانند. بخش فوقانی سازنده، در این برگه بدليل عمل گسل رخمنون ندارد، اما در خاور شیل میکادار سیز از بخش ۵ سازنده میلا در زیر سازنده جبرود و سنگ‌های جوانتر گسترش دارد.

سنگ‌های دونین و کربونیفِر به صورت دو بخش سنگ‌شناختی متفاوت در این برگه رخمنون دارند. بخش زیرین شامل ماسه‌سنگ با میان لایه‌های شیل است. از لحاظ چینه‌شناسی این واحد قابل مقایسه با ماسه‌سنگ قرمز ناحیه کرمان و یا سایر نقاط ایران با سن احتمالی دونین پیشین است. این واحد با فشردگی کمتر و وجود باندهای زرد و سفید تمیز داده می‌شود. این واحد رخمنون خوبی در جنوب کوه لب‌نیار و شمال روستای نمکه دارد. بالا دست آن شیل سیاه و آلتنه، آهک تیره تا خاکستری با رگه‌های کلسیتی و ماسه‌سنگ و آهک مارنی تیره مشاهده می‌گردد که معادل سازنده جبرود هستند. این بخش حاوی برآکیوپرده است و رخمنون مناسبی در دره آب دندان در شمال دامغان و روستای نمکه دارد.

بعثت چین و گسل خوردگی اندازه‌گیری ضخامت سازند دشوار است اما حدود ۸۵۰ متر برآورده می‌شود. سازند جبرود همچنین به سمت خاور به صورت دگرشیب بر روی میلا قرار می‌گیرد.

باختر داغان و جنوب گسل اصلی که بنظر شاخه‌ای از گسل عطاری در برگه جم است به سمت جنوب باختر، سنگ‌هایی مشاهده می‌شوند که از لحاظ سنگ‌شناختی مشابه سازندهای پادها، سیبزار و بهرام در خاور ایران است. در پای کوه فیض‌آبادی ماسه‌سنگ و میان لایه‌های نازک دولومیت زرد و شیل میکادار که از لحاظ استراتیگرافی (چینه‌شناسی) معادل سازند پادها با سن دونین پایینی می‌باشد، رخمنون دارند. این طبقات به صورت هم‌ثیب با لایه‌های نازک دولومیت زرد پوشانده شده و تا ۹۰ متر ضخامت سازند سیبزار قلمداد می‌شود.

واحد بعدی که به صورت هم‌ثیب می‌آید، از تابع دولومیت زرد تا آهک خاکستری با لایه‌بندی خوب تشکیل یافته است. فقدان رسوبگذاری طی کربونیفر پیشین با مطالعات پالئوتولوژی در این برگه اثبات می‌شود. در کوه چارل در سازند اساساً از ماسه درست دانه با کوارتزیت و دگرثیب با سازند جبرود پوشیده می‌شود. آن سازند اساساً از ماسه درست دانه با کوارتزیت و شیل با حدود ۹۵ متر ضخامت تشکیل شده است. این سکانس به صورت هم‌ثیب توسط آهک روتنه پوشیده می‌شود که شامل آهک کریستالی آکا دارحاوی فسیل‌های نشان دهنده پرمین میانی تا پایانی است. در کوه لب نسار در ۳۵۰ متر حداکثر فسیل مشخص می‌گردد که در زیر سازند، لاتریت دیده می‌شود. آهک روتنه نیز به صورت دگر شیب توسط سازند آکا با سن تریاس میانی پوشیده می‌شود، پایین‌ترین بخش سازند آکا آهک ورمیکولار است که به سمت بالا دارای دانه‌بندی تدریجی و لایه‌های ضخیم و آهک دولومیتی و دولومیت توده‌ای است. همه سازند حدود ۱۰۰ متر ضخامت دارد، بخش بالایی در خاور و جنوب خاور چشم‌های رخمنون دارد. آن سازند توسط سازند شمشک (سن ژوراسیک) که شامل رسوبات قاره‌ای شیل ذغال دار، ماسه‌سنگ و رس‌سنگ با آثار گیاهی است پوشانده می‌شود. در برخی نقاط گذازه‌های بازالتی و لنزهای لاتریتی نازک در زیر این سازند مشاهده می‌گردد. در دره طزره سه عضو تشخیص داده می‌شود. پایین‌ترین شان شامل ماسه‌سنگ با ضخامت بالای ۵۰۰ متر، بدون لایه ذغال می‌باشد. بخش میانی با ضخامت ۱۱۰۰ متر و شامل شیل، ماسه‌سنگ و رس‌سنگ، افق‌های ذغال که بطور متوسط ضخامت هر کدام ۵۰ سانتی‌متر است. بخش (عضو) بالای شامل ماسه‌سنگ سبز و شیل، در برخی نقاط با میان‌لایه‌های سنگ‌های ولکانیکی که اغلب بازالت است، می‌باشد این عضو توسط همراهی *Pseudomina* و لایه‌های بلمنیت دار در زیر و افق‌های ذغال دار در بالادست زیر سنگ‌های ژوراسیک میانی قرار دارد که ضخامت آن حدود ۱۰۰۰ متر است. در

برخی نقاط بخصوص در منطقه معدن طرره، ضخامت کل شمشک متجاوز از ۲۷۰۰ متر است.

فسلی های یافت شده *Pentacrinus* و *Pseudogrammoceras* شاخص Toarcian بالای است. مطالعات پالینولوژی سن Rhaetian به لایه زیرین این سازند می دهد. دگرشیبی، گرچه قابل قبول است ولی بین این سازند و سازند قدیمی در این برگه یافت نمی شود! آهکهای مارنی نازک لایه داگر (سازند دلچای) بدنبال عضو فرقانی سازند شمشک می آید. و حدود ۱۱۰ متر ضخامت دارد و شامل آمونیت های شاخص کالووین callovian می باشد. آهک دارای لایه بندی خوب با رنگ سفید تا خاکستری و به صورت کرستالی متعلق به ژوراسیک بالای (سازند لار) مرتفع ترین نقاط را در منطقه می سازد، ضخامت این سازند در سفید کوه حدود ۹۱۰ مترو در کوه کرباسی ۱۲۵۰ متر است. آمونیت هایی که در آن یافت می شود شاخص آکسفوردین پایین تا کیمرین است. به جز در بخش جنوب باخته برگه، سنگ های غیر رسوبی کرتاسه پایین وجود دارد. در جنوب باخته، رخمنونهای کوچکی از آهک که می توان به کرتاسه پایینی نسبت داد، گرچه از لحاظ پالینولوژی این موضوع تایید نشده است. در کوه نمازگاه، سازند لار توسط مامگاهی اسپیلیتی و کنگلومرا پوشیده می شود که در قسمت های فرقانی آهک دارای لایه بندی رو دیستی است دیده می شود، گدازه و کنگلومرا پیوسته نیست و در برخی نقاط آهک کرتاسه بالای مستقیما روی طبقات ژوراسیک بالای قرار می گیرد. فرامینفرهای یافت شده در این سنگها عبارتند از: *Nodosaria*, *Heterohelix* Hedbergella, miliolids, Textularia, Radiolaria کنگلومرای درشت دانه است. اجزای سازنده آن مخصوصا تمام سنگ های پالئوزویک و مژوزویک واقع در منطقه را شامل می شود، اما آهک های سازند لار بخش غالب می باشد. کنگلومرای قاعده ای (معادل سازند فجن) بطوری دگرشیب روی سازندهای قدیمی تر قرار می گیرد. در برخی این کنگلومرا توسط آهک نومولیت دار ماسه ای با رنگ سفید تا خاکستری سازند زیارت پوشیده می شود. این سازند نیز توسط سکانس های ضخیمی از شیل، ماسه سنگ، توف سبز و شیل توفی پوشیده می گردد. این سنگ ها از لحاظ سنگ شناسی معادل سازند کرج هستند و رخمنونهای خوبی در مسیر جاده دامغان به چارده دارند. در کوه بستم، شیلهای سیاه غالب هستند و حاوی جریان های گدازه و گچ ضخیم می باشد. رسوبات نئوژن دو واحد سنگ شناسی را می سازند، در پایین مارنهای قرمز تا سبز زیتونی که به صورت دگرشیب رسوبات انوسن را می پوشاند، و در بالا شامل کنگلومرایی به ضخامت ۱۰۰ متر است. کنگلومرای پلیو-پلیستوسن با کچ شدگی کم با شبیب عادی کمتر از ۱۰ درجه در تپه های جنوبی روستای چهارده و شمال و شمال خاور دامغان گسترش دارد. این کنگلومرا با سیمانی ضعیف از قطعات گرد شده سازندهای

قدیمی مختلف تشکیل شده است. رسوبات کواترنری در چند واحد شناخته شده اند، که شامل رس و رس ماسه‌ای دارای رخنمون در حاشیه دشت دامغان، آهک freshwater در حوالی روستای آستانه، تراس های قدیمی، آلوویوم عهد حاضر و دشت می باشد. جدیدترین رسوبات کواترنر کنه های نمکی (کور) (دارای رخنمون در گوشه جنوب خاور برگه) و بادبزن های (fan) شنی در پای کوهها است.

از لحاظ تکتونیکی منطقه وابسته به رشته کوه البرز است که که چین خوردگی در حد متوسط و وجود گسل و تراست شاخص آن می باشد. محور چین‌ها روندی تقریباً NE-SW موازی گسل‌ها که امتدادی حدود N70E دارند. چین‌ها عموماً متفاوتند بجز در ابوالقاسم و کوه‌های چهارلت، جایی که دامنه جنوبی برگشته است. بزرگترین گسل، گسل طزره است که از مرز خاوری منطقه وارد می شود، در نزدیکی روستای طزره و تا دره آستانه و چهارگوش ساری گسترش می یابد. گسل معکوس نمکه که از شمال روستای نمکه در شمال باخته برگه می گذرد، سازند جیرود را تا مقابل لایه‌های جوانتر (نیوزن و لیاس) بالا آورده است. گسل تا بخش جنوبی کوه‌های شهرسوار در شمال شهر شاهروド در برگه شاهرود واقع در خاور گسترش می یابد. در نزدیکی آهوانو در شمال باخته دامغان گسل دیگری از شمال جاده شاهرود-دامغان عبور می کند و تا رسوبات کواترنر در حوالی قادر آباد در برگه مجاور گسترش می یابد گسل اصلی دیگری از نپه‌های جنوبی سفیدکوه عبور می کند که بنظر می رسد یکی از شاخه‌های گسل عطاری باشد گسل عطاری جدا کننده رخسارهای منطقه ایران مرکزی از البرز است.

سکانسهای زمین شناسی که در محدوده برگه ۱۰۰،۰۰۰:۱ دامغان به چشم می خورد مطابق شرح زیر می توان خلاصه کرد (جدول ۱-۱ و ۲-۱). در ضمن نقشه زمین شناسی این برگه همراه واحدهای سنگی تبیه و در گزارش آورده شده است. (نقشه ۱-۱)

جدول ۱- واحدهای سنگی موجود در برگه زمین‌شناسی ۱۰۰۰۰۰۱ دامغان

واحدهای سنگی	سکانس	سن
دانه‌های گردو، آبرفت جدید، دشت، تراس‌های جدید تراس‌های قدیمی، سنگ آهک (آب شیرین؟) رس ماسه‌ای کنگلومرا	رسوبی	کواتررنز
کنگلومرا مارن گُچ‌دار و ماسه‌سنگ	رسوبی	نئوژن
توف، شیل، ماسه‌سنگ، گچ‌شیل ماسه سنگ، و جریان‌های گدازه توف، شیل‌توفی و جریان گدازه گچ، سنگ آهک نومولیتی، کنگلومرا	رسوبی - ولکانیکی	پالئوزن
سنگ آهک بازالت، گدازه اسپیلتی، و کنگلومرا	رسوبی - ولکانیکی	کرتاسه فوقاری
سنگ آهک و سنگ آهک دولومیتی	رسوبی	کرتاسه تحتانی
سنگ آهک تودهای و ضخیم لایه سنگ آهک نازک لایه و سنگ آهک مارنی شیل تیره، ماسه سنگ، زغال سنگ با باقیماندهای گیاه سنگ‌های ولکانیک (عمدتاً بازالت) سنگ‌های ولکانیکی	رسوبی - ولکانیکی	ژوراسیک
سنگ آهک لایه بندی دار در محلهای دولومیت سنگ آهک دولومیتی و ورمیکولیتی سنگ آهک تودهای با لایه بندی ضخیم (ضخیم لایه) بوکسیت ماسه سنگ، کوارتزیت و شیل	رسوبی	پرمو-تریاس
سنگ آهک، آهک مارنی، شیل و ماسه سنگ سنگ آهک و دولومیت، دولومیت ماسه سنگ قرمز ماسه سنگ و دولومیت	رسوبی	کربنیفر زیرین - دونین
آهک دولومیتی (نودول دار) دولومیت سیاه و آهک دولومیتی ماسه سنگ کوارتزیتی سفید (Top Quartzite) ماسه سنگ قرمز	رسوبی	کامبرین
شیل، ماسه سنگ و دولومیت	رسوبی	اینفراکامبرین

جدول ۲-۱: واحدهای زمین شناسی موباید در برگه ۱۰۰،۰۰۰:۱ دامغان به همراه علامت اختصاری آنها

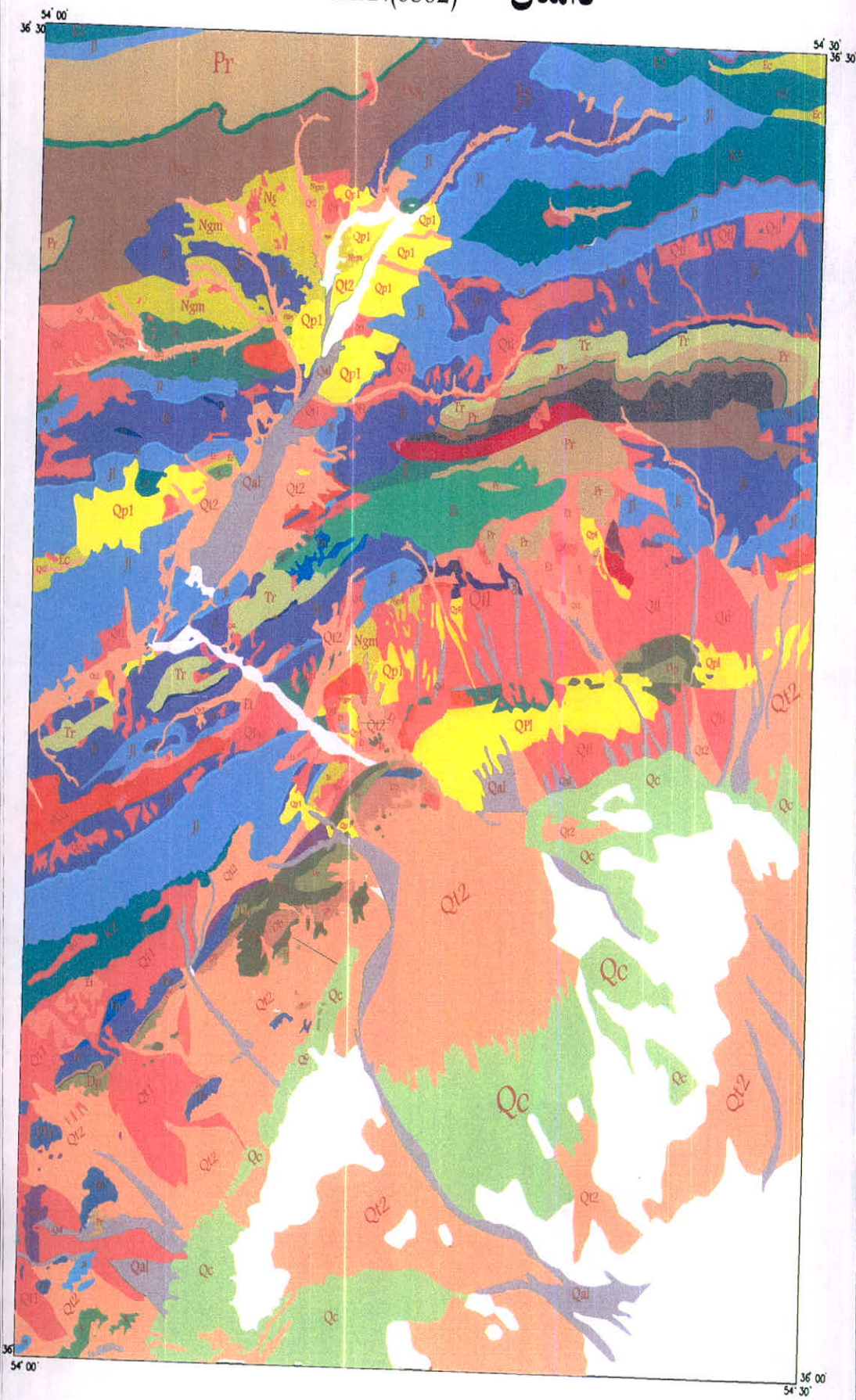
E: ماسه سنگ قرمز
Cbr: شیل، ماسه سنگ، دولومیت
b: بوکسیت
Emu: سنگ آهک دولومیتی نودول دار
eml: دولومیت سیاه و آهک دولومیتی
Eq: ماسه سنگ کوارتزیتی سفید
E: توف، شیل، ماسه سنگ، گچ، شیل
En: سنگ گچ
Eg: گچ
Ec: کنگلومرا
Et: توف، شیل توفی و جریان گدازه
Es: شیل، ماسه سنگ و جریان گدازه
K: سنگ آهک و سنگ آهک دولومیتی
K2: سنگ آهک
K2v: بازالت، گدازه های اسپلیتی و کنگلومرا
Jd: سنگ آهک و مارن آمونیت دار، ماسه سنگ آهکی
Jl: سنگ آهک بطور محلی دولومیتی
Js: شیل - ماسه سنگ - سیلت - رس سنگ - مارن - لایه های زغال دار - کنگلومرای کوارتزیتی
Jv2: سنگهای ولکانیکی، بازالت
Jv1: سنگهای ولکانیکی
Ngc: کنگلومرا
Ngm: مارل گچ دار و ماسه سنگ
Ptr: سنگ آهک
Tr: دولومیت و سنگ آهک ورمیکرولار
Pr: سنگ آهک توده ای

ادامه جدول ۱-۲: واحدهای زمین شناسی موجود در برگه ۱۰۰،۰۰۰ دامغان به همراه  
علامت اختصاری آنها

Pd : ماسه سنگ ، کوارتز و شیل
Db : سنگ آهک و دولومیت
Ds : دولومیت
Dss : ماسه سنگ قرمز
Dp : ماسه سنگ و دولومیت
Dcg : سنگ آهک ، شیل و ماسه سنگ

DAMGHAN(6862)

دامغان



## فصل دوم

### نمونه برداری

#### ۱- مقدمه

نظر به تشخیص آنومالی‌های واقعی و تمیز انواعی که به نهشته‌های کانساری مرتبط می‌باشد، از سایر انواع آن لازم است تا جزء ثابتی از رسوبات آبراهه‌ای (برای مثال جزء ۸۰-مش) و یا کانی سنگین (جزء ۲۰-مش) مورد آزمایش قرار گیرد. در مواردی که هاله‌های ثانوی اکسیدهای آهن و منگز توسعه یافته‌اند، برداشت نمونه از چنین هاله‌هایی ممکن است موجب شدت بخشی به هاله‌های هیدرومورفیکی شود که در این صورت باید احتیاط‌های لازم جهت تفسیر اطلاعات بدست آمده صورت پذیرد. علاوه بر موارد فوق، در بررسی رسوبات آبراهه‌ای، برداشت نمونه‌های همچون قطعات کانی‌سازی شده کف آبراهه، قطعات پوشیده شده از اکسیدهای آهن و منگز، قطعات حاوی سیلیس آمورف و یا کربنات‌های سیلیسی شده برای آنانلیز یک یا چند عنصر یا کانی خاص، می‌تواند مفید واقع شود. البته هر یک از محیط‌های نمونه برداری فوق می‌تواند تحت شرایط خاصی، بیشتر مفید واقع شود. عواملی که باید در این خصوص در نظر گرفته شوند شامل تیپ کانسار مورد انتظار، سنگ دروغیگر، محیط تکتونیکی و دامنه سنی واحدهای زمین‌شناسی می‌باشد. از ترکیب نایاب بدست آمده از محیط‌های مختلف نمونه برداری در حوضه‌های آبریز، می‌توان به نتایج مناسبتری دست یافت. در پژوهه حاضر نتایج حاصل از سه نوع بررسی با یکدیگر ترکیب و سپس مدل‌سازی شده‌اند و بدین دلیل، نتایج نهایی بدست آمده، چه در جهت مثبت و چه در جهت منفی، می‌تواند معتبرتر باشد. کلیه نتایج بدست آمده از هر یک از روش‌های فوق، تشکیل یک سیستم اطلاعاتی با امکانات حذف و انتخاب مکرر مناطق امید بخش را می‌دهد که بر اساس سازگاری و ناسازگاری خواص مشاهده شده در مدل، انجام می‌پذیرد و این رو امکان بروز خطاهای ناهنجار در آن کمتر است.

بطور کلی چگالی نمونه برداری از رسوبات آبراهه‌ای، تابع دانسته آبراهه‌ها در حوضه آبریز است. برای مناطق خشک این مقدار می‌تواند به اندازه یک نمونه برای هر ۱ تا ۱۰ کیلومترمربع تغییر کند. در پژوهه حاضر با توجه به تعداد متوسط ۸۰۰ نمونه برای هر برگه ۱:۱۰۰،۰۰۰ (معادل ۲۰۰ نمونه در هر برگه ۱:۵۰،۰۰۰) مساحت تحت پوشش یک نمونه بطور متوسط حدود ۳ کیلومترمربع می‌باشد. برای استفاده بهینه از داده‌های حاصل از هر نمونه، سعی شده است تا توزیع نمونه‌ها حتی الامکان به روش مرکز نقل حوضه‌های آبریز باشد.

از آنجا که عناصر مختلف در محیط‌های ثانوی قابلیت تحرک متفاوتی از خود نشان می‌دهند، بزرگی هاله‌های ثانوی آنها (فاصله از ناحیه منشاء) می‌تواند بر حسب شرایط محیط، بسیار متفاوت باشد. حتی گاهی برای یک عنصر در دو شرایط شیمی فیزیکی متفاوت، وسعت هاله متفاوت خواهد بود. برای مثال هاله‌های Zn ممکن است از حدود ۱ کیلومتر تا حدود ۱۵ کیلومتر و هاله‌های Cu از ۱/۵ کیلومتر تا حدود ۲۵ کیلومتر تغییر کند. همچنین با توجه به نوع سنگ‌های منطقه و تیپ کانی‌سازی عناصری مانند Ce که فاقد هاله اولیه می‌باشد، ممکن است هاله ثانوی تشکیل ندهند و یا هاله‌های ضعیف از خود بروز دهند. در چنین مواردی برای افزایش احتمال کشف کانسار، افزایش چگالی نمونه‌های کانی سنگین در اطراف توده‌های اولترامافیکی ضروری است. البته چگالی باید طوری باشد که با سقف ۸۰۰ نمونه در هر برگه سازگار باشد. در مناطق نیمه خشک، رسوبات آبرفتی معمولاً مساحت‌های وسیعی از سنگ بستر را می‌پوشانند. در مواردی که این رسوبات محلی باشند و مسافت چندانی را طی نکرده باشند، مشکل تحلیل داده‌ها کمتر خواهد بود. ولی در مناطقی که از نظر تکتونیکی فعال می‌باشند، مانند منطقه تحت پوشش این پروره، سیلان‌های شدید که قادر به حمل چنین مواردی می‌باشند، به وفور رخ می‌دهد، در نتیجه این رسوبات ممکن است از ناحیه منبع فاصله گیرند و کار تحلیل اطلاعات را در جهت کشف منبع اولیه دشوار سازند.

## ۲- عوامل موثر در طراحی نمونه‌برداری

طراحی نمونه‌برداری طوری صورت گرفته است که در قالب حدود ۸۰۰ نمونه برای هر برگه، حداقل سازگاری را با روش مرکز نقل داشته باشد. درجه مرکز نقل را عواملی نظیر چینه‌شناسی، سنگ شناسی و تکتونیک کترل می‌کند. معمولاً در طراحی به روش مرکز نقل، توده‌های نفوذی و خروجی و نواحی مجاور (کتاتک‌ها)، نواحی اطراف گسل‌ها تقاطع آنها، و زون‌های دگرسان شده بعد از ماگماهی و مناطقی که در بخش فوقانی توده‌های نفوذی نیمه عمیق قرار دارند (این توده‌ها روی نقشه ژئوفیزیک هوایی مشخص می‌شوند) از چگالی نمونه‌برداری بالاتری برخوردار می‌باشند. معمولاً آبراهه‌هایی که بوسیله گسل‌های عمیق مشخص شده به روش ژئوفیزیک هوایی قطع می‌شوند ۵۰۰ متر پایین تر از محل تلاقی آبراهه با گسل، مورد نمونه‌برداری قرار می‌گیرند. در مواردی که آتراسیون‌های شدید مشاهده شده است، بخصوص در اطراف سنگ‌های نفوذی یا خروجی موجود در نواحی کم ارتفاع (این نواحی بیشترین مقدار آتراسیون را چه از نظر وسعت و چه از نظر شدت نشان می‌دهند)، درجه مرکز نقل آبراهه‌ها باید بطری محلی افزایش یابد. این امر به دلیل اهمیت چنین مناطقی می‌باشد. به دلیل بودن پدیده رقیوشدگی و اثر سرشکن‌شدگی در حوضه‌های آبریز وسیع (با بیش از ۳۰ سرشاخه) و

کاهش شدید مقدار آنومالی‌های احتمالی در محل اتصال آبراهه‌ها به یکدیگر لازم است چنین حوضه‌های آبریزی بخصوص در مواردی که آبراهه سنگ بستر را قطع نمی‌کند به حوضه‌های کوچکتر تقسیم گردند. این امر موجب می‌گردد تا اختلاط رسوبات آبراهه‌های مرتبط با کانی‌سازی احتمالی با آبراهه‌های بدون کانی‌سازی موجب تضعیف بیش از حد آنومالی‌ها و ارزیابی منفی آنها نگردد. به علاوه این امر موجب می‌گردد تا احتمال قطع سنگ بستر در آبراهه افزایش یابد. این امر خود موجب افزایش ارزش داده‌ها می‌گردد. علاوه بر عوامل فوق، یکی دیگر از عوامل موثر در تصمیم‌گیری تقسیم یک حوضه آبریز بزرگ به حوضه‌های کوچکتر، احتمال وجود آلودگی‌های ناشی از فعالیت‌های کشاورزی در کف یا حاشیه رودخانه‌هایی است که نواحی با توپوگرافی آرام (قابل کشت) در اطراف آنها وجود داشته است. بدینه است مصرف کودهای شیمیایی و سموم نباتی، احتمال وجود آلودگی به عناصر کمیاب را در رسوبات پائین دست آنها افزایش می‌دهد. در چنین مواردی فقط مرکز ثقل بخش‌های فوقانی آنها، که از آلودگی مصون می‌باشد، می‌تواند محاسبه گردد. (محدوده مورد بررسی را از نظر توپوگرافی می‌توان به چهار بخش شامل نواحی مرفوع با ارتفاع بالای ۳۶۰۰ متر، نواحی کم ارتفاع با ارتفاع ۱۰۶۸ متر و دشت‌ها و مخروط افکنه‌ها (آبرفتی) تقسیم نمود). در اکثر قریب به اتفاق آبراهه‌های نوع آخر، آبراهه کم عمق بوده و سنگ بستر را قطع نمی‌کنند و از این رو روند تغییرات مقدار عناصر را می‌توان غیرجهنی فرض نمود و از آنها بدون توجه به مسیر آبراهه‌ها نمونه‌برداری کرد و یا داده‌های آنها را غیرجهنی مورد تحلیل و تفسیر قرار داد. البته لازم به ذکر است که در این پروژه از این گونه مناطق نمونه‌برداری صورت نگرفته است. در نواحی بسیار مرفوع در موارد محدودی به دلیل وجود گستنگی در ارتفاع (آبشار) امکان دسترسی به محل نمونه نبوده است. در چنین مواردی حتی الامکان سعی شده است به برداشت نمونه از نزدیک‌ترین نقطه اقدام گردد. مواردی وجود داشته است که در آن کتورهای توپوگرافی با عوارض موجود در زمین مطابقت داشته ولی به دلیل دقت کم نقشه‌های توپوگرافی، آبراهه روی آن مشخص نگردیده است. چنانچه چنین مناطقی از نظر لیتلولزی و امکان کانی‌سازی با اهمیت تشخیص داده شده باشند، این آبراهه‌ها روی نقشه بطور دستی ترسیم و در تعیین نقاط نمونه‌برداری موثر واقع گردیده‌اند.

### ۳-عملیات نمونه‌برداری

نظر به وسعت فوق العاده زیاد عملیات تحت پوشش اکتشاف زئوژیمیابی در مقیاس ۱:۱۰۰،۰۰۰ لازم است محیط‌های ثانوی تحت پوشش نمونه‌برداری قرار گیرند. اساس این مطالعات بر نحوه توزیع عناصر در هالمهای ثانوی سطحی مانند رسوبات رودخانه‌ای، آبرفت‌ها، شب رفت‌ها، بادرفت‌ها و خاک‌ها قرار دارد. در این بخش تنها به تشریح عملیات صحرایی در

این پروژه اشاره می‌گردد در خلال این عملیات پنج اکیپ کارشناس در یک کمپ، واقع در دامغان شرکت داشته‌اند. در این عملیات هر اکیپ عموماً دارای وسیله نقلیه مخصوص به خود، نقشه‌های توبوگرافی و نقشه زمین‌شناسی ۱:۱۰۰،۰۰۰ محل و سیستم G.P.S بوده است. مختصات محل نمونه‌ها قبل از سیستم UTM محاسبه و به صورت جدول‌بندی شده در اختیار کارشناسان قرار می‌گیرد. هر نمونه ژئوشیمیایی مشکل از حدود ۱۰۰ گرم جزء ۸۰-مش رسوبات آبراهه‌ای می‌باشد که پس از الک کردن رسوب خشک در محل، درون کیسه‌های مخصوص ریخته شده و شماره گذاری می‌گردد. در مواردی که در صحرا امکان الک کردن رسوبات به علت مرطوب بودن آنها نبود، حدود ۳ کیلوگرم از آن به محل کمپ آورده شده و پس از خشک کردن در هوای آزاد و الک کردن، جزء ۸۰-مش از آنها جدا می‌شود. هر اکیپ نمونه‌برداری برای نمونه‌های برداشت شده، شماره مسلسلی انتخاب و در کمپ، با همانگی با اکیپ‌های دیگر شماره نمونه‌های خود را به یک سیستم شماره گذاری واحد با شماره سریال منفرد تبدیل نموده اند که روی نقشه ۱:۱۰۰،۰۰۰ مشخص گردیده است. محل نمونه‌های برداشت شده به همراه شماره مسلسل نهایی در کمپ، بر روی یک نقشه، واحد پیاده شده است. نقاط نمونه‌برداری شده در برگه ۱:۱۰۰،۰۰۰ دامغان در نقشه شماره ۱ نشان داده شده است. راهنمای نقشه، علامت بکار رفته در هر نقشه را تعریف می‌کند. نمونه‌های برداشت شده (محل و شماره آنها) در کمپ دوبار مورد بازبینی قرار خواهد گرفت. این عمل از طریق مقایسه کردن با لیست‌هایی که قبل از تهیه گردیده بود انجام شده است. این کار یک مرتبه پس از حمل نمونه‌ها به کمپ و بطور روزانه انجام شده و بار دیگر در خاتمه عملیات انجام گردیده است. درکل، در محدوده این برگه تعداد ۴۳۳ نمونه ژئوشیمیایی برداشت گردیده است. در شماره گذاری نمونه‌ها از یک کد پنج رقمی استفاده شده که این کد مشکل از دو حرف و یک عدد حداکثر سه رقمی است. اولین حرف از سمت چپ هر کد معرف اولین حرف از برگه ۱:۱۰۰،۰۰۰ مربوطه می‌باشد (حرف D برای دامغان) دومین حرف نیز نمایانگر حرف اول برگه ۱:۵۰،۰۰۰ مربوطه می‌باشد. هر برگه ۱:۱۰۰،۰۰۰ شامل چهار برگه ۱:۵۰،۰۰۰ است که در این عملیات از حروف زیر برای مشخص کردن آنها استفاده شده است. برگه ۱:۱۰۰،۰۰۰ دامغان: طالر (DT)، دامغان (DD)، امیرآباد (DA)، و قلعه (DQ). در این برگه ۱:۱۰۰،۰۰۰ از ترکیبات دو حرفی فوق در اول کد پنج رقمی هر نمونه استفاده شده است. نمونه‌هایی که به حرف H ختم می‌شوند، معرف نمونه‌های کانی سنگین می‌باشند.

## فصل سوم

### نقش سنگ بستر

#### ۱- جدایش جوامع سنگی

یکی از اساسی ترین فرضهای لازم برای تحلیل صحیح مقدار متغیرها در جوامع ژئوشیمیایی، همگن بودن آنهاست(بک جامعه بودن) و هر گونه انحراف در صحت چنین فرضی می تواند کم و بیش موجب انحرافاتی در تحلیل دادهها گردد و نهایتا به نتایج نااصحیحی منجر شود. یکی از متغیرهای محیطی های سطحی که می تواند موجب ناهمگنی در جامعه ژئوشیمیایی گردد، نوع سنگ بستر رخنموندار است که نقش منشاء را برای رسوبات حاصل از فرسایش آنها بازی می کند. از آنجا که تغییرات لیتولوزی در ناحیه منشا رسوبات آبراههای می تواند زیاد باشد و از طرفی مقادیر زمینه عناصر مورد بررسی در این سنگها تا چندین برابر ممکن است تغییر کند، بنابراین فاکتور تغییرات لیتولوزی در ناحیه منشا رسوبات، بهنظر می رسد یکی از مهمترین عوامل ایجاد ناهمگنی در جامعه نمونه های ژئوشیمیایی باشد. بدین لحاظ در این گزارش سعی شده تا پردازش دادهها برای جوامع مختلف نمونه های ژئوشیمیایی، صورت پذیرید. از آنجا که هر رسوب آبراههای فقط از سنگ های بالادست مشتق می شود، تقسیم بندی این جوامع بر اساس نوع یا انواع سنگ بستر های رخنموندار موجود در بخش بالادست محل هر نمونه صورت پذیرفته است. با توجه به نقشه زمین شناسی و موقعیت هر نمونه، کل جامعه نمونه های مورد بحث در این برگه به زیر جوامعی تقسیم یافته است. در زیر ردیابی نمونه های ژئوشیمیایی بر حسب تعداد سنگ بالادست آورده می شود:

الف - زیر جامعه تک سنگی: ۷۹ نمونه (در ۱۴ تیپ سنگ مختلف)

ب - زیر جامعه دو سنگی: ۱۰۱ نمونه (شامل ۳۶ تیپ مجموعه دو سنگی)

ج - زیر جامعه سه سنگی: ۱۲۱ نمونه (شامل ۴۰ تیپ مجموعه سه سنگی)

د - زیر جامعه چهار سنگی: ۵۵ نمونه (شامل ۲۹ تیپ مجموعه چهار سنگی)

ه - زیر جامعه پنج سنگی: ۳۹ نمونه (شامل ۱۹ تیپ مجموعه پنج سنگی)

و - زیر جامعه شش سنگی: ۸ نمونه (شامل ۸ تیپ مجموعه هشت سنگی)

ی - زیر جامعه هفت سنگی: ۸ نمونه (شامل ۷ تیپ مجموعه هشت سنگی)

ر - زیر جامعه هشت سنگی: ۷ نمونه (شامل ۴ تیپ مجموعه هشت سنگی)

ل - زیر جامعه بیش از هشت سنگی: ۱۵ نمونه

### جدول ۳-۱: علایم اختصاری و خلاصه سازی مرحله اول جنس سنگها

εl : Ds  
εmu : Cs  
εml : Cs  
εlq : Ds  
lcbr: Cs+Ds  
Dp: Cs+Ds  
DSs : Ds  
Ds : Cs  
Db : Cs  
Dcg : Cs+ Ds  
Pd : Ds  
b : Cs  
Pr : Cs  
Tr : Cs  
Ptr : Cs  
Jvl : VOL  
Jv2 : MAFV  
Js : Ds  
Jd : Cs  
Jl : Cs  
K : Cs  
K2v : MAFV+Ds  
K2 : Cs  
Ec : Ds  
En : Cs  
Eg : EVP  
Et : ACIDV+flow  
Es : Ds+flow  
E : ACIDV+Ds+EVP  
Ngm : Cs+Ds+EVP  
Ngc: Ds  
Qpl : Ds  
Qc : Ds  
Qf : Cs  
Qt1 : Ds  
Qt2 : Ds  
Qal : Ds

---

DS : Detrital Sediments Rocks  
Cs : Chemistry Sediments Rocks  
EVP : Evaporate Sediments Rocks  
Flow : Lava flow Rocks  
MAFV : Mafic Volcanic Rocks  
ACIDV: Acidic Volcanic Rocks  
Vol : Volcanic Rocks

زیر جامعه تک سنگی شامل آن دسته از نمونه‌های ژئوشیمیابی است که با در بالادست محل برداشت نمونه در حوضه آبریز مربوطه، فقط یک نوع سنگ بستر رخمنون داشته است (قبل از ترکیب واحدهای سنگی مشابه) و یا پس از ترکیب واحدهای سنگی جزو گروه تک سنگی قرار گرفته اند. همچنین برای جوامع دو سنگی، سه سنگی و چهار سنگی.

این تقسیم بندی در پردازش داده‌ها از آن جهت اهمیت دارد که به ما اجازه می‌دهد تا در هنگام محاسبه مقدار زمینه و حد آستانه‌ای، برای هر محیط مشابه به طور جداگانه عمل کرده و از این طریق به میزان همگنی جامعه مورد بررسی کمک کنیم علاوه اختصاری بکار برده شده برای جنس سنگ‌ها در جدول ۱-۳ آورده شده است.

لیتلولژیهایی که به تنهایی در این برگه به حد نصاب لازم جهت جدایش جوامع سنگی رسیده اند و به طور جداگانه طبقه بندی شده‌اند.

شکل ۱-۳ هیستوگرام توزیع فراوانی تعداد نمونه‌های ژئوشیمیابی را بر اساس تعداد سنگ بالادست آنها در برگه ۱:۱۰۰۰۰ دامغان نشان می‌دهد. همچنین شکل شماره ۲-۳ هیستوگرام توزیع فراوانی نمونه‌های تک سنگی را با نمایش نوع سنگ بالا دست آنها برای برگه ۱:۱۰۰،۰۰۰ دامغان نشان می‌دهد. شکل ۳-۳ نیز هیستوگرام توزیع فراوانی نمونه‌های وابسته به محیط‌های دو سنگی را (با نمایش نوع سنگ بالادست آنها) برای این برگه نشان می‌دهد.

## ۲- نقش سنگ بستر در ارزیابی مقدار زمینه و حد آستانه ای

### ۲-۱- نقش سنگ بستر در ایجاد آنومالی‌های کاذب

از آنجا که مقدار اندازه گیری شده هر عنصر در سنگ و یا رسوب آبراهه را می‌توان به دو مؤلفه سن‌ژنتیک (وابسته به زایش سنگ) و اپی‌ژنتیک (وابسته به کانی‌سازی احتمالی) تقسیم کرد. لذا بعضی از آنومالی‌های ژئوشیمیابی در ارتباط با کانی‌سازی نبوده، بلکه تغییرات لیتلولژی آنها را ایجاد می‌کند. عناصری که در سنگ‌های مافیک دارای مؤلفه‌های سن‌ژنتیک قوی می‌باشند شامل عناصر Mn, Cr, V, Ni, Co بوده که معمولاً در کانه‌هایی با وزن مخصوص بالا ظاهر می‌شوند. در مورد سنگ‌های رسوبی باید توجه داشت که در حوضه‌های آبریز دو نوع سنگ رسوبی ایجاد مشکل می‌کنند. یکی سنگ‌های آهکی و دولومیتی است که در آنها جزء کانی سنگین ممکن است از باریت، سلسیtin و آپاتیت غنی باشد در حالیکه سایر کانی‌های سنگین آنقدر کم یافته می‌شوند که ممکن است مورد استفاده‌ای نداشته باشند. مورد دوم شیل‌ها، بخصوص شیل‌های

سیاه رنگ غنی از مواد آلی هستند که در آنها مقدار زمینه تعداد زیادی از عناصر کاساری، بالا است و در نتیجه پتانسیل زیادی برای تولید آنومالی‌های دروغین دارند.

## ۲-۲- تغییر پذیری سنگ بستر

از آنجا که طبق شرح خدمات می‌بایست سنگ بستر رخمنوندار، واقع در بالادست نمونه‌های برداشت شده از رسوبات آبراهه‌ای در محدوده هر یک از برگهای ۱:۱۰۰،۰۰۰ بررسی قرار گیرد، به تفکیک نوع سنگ‌ها در مسیر آبراهه‌ای بالادست در حوضه آبریز، مطابق آنچه که در نقشه زمین‌شناسی ۱:۱۰۰،۰۰۰ دامغان، گزارش گردیده است، اقدام گردید. این امر موجب می‌گردد تا نمونه‌های متعلق به هر جامعه از سنگ‌های بالادست در حد امکان همگن و از نظر آماری امکان بررسی آنها تحت یک جامعه بوجود آید.

## ۳-۲- بررسی مقادیر کلارک سنگ‌های رخمنوندار در منطقه

تیپ سنگ‌های موجود در منطقه تحت پوشش، در دو مرحله مورد مشابه سازی قرار گرفته‌اند. در مرحله اول عمدتاً عامل زمان مؤثر نمی‌باشد. بدین معنی که اگر سنگ بالادست رخمنوندار در آبراهه از جنس آهک است، چه این آهک متعلق به پالئوزوئیک و یا کرتاسه باشد، اثری در طبقه بندي نداشته و هر دو به عنوان یک جامعه سنگ بالادست مورد بررسی قرار می‌گیرند. علت آنکه گاهی نمی‌توان تفکیک‌های زمانی روی سنگ‌های مشابه انجام داد آن است که در نهایت تعداد جوامع سنگی بالادست آنقدر افزایش خواهد یافت که در هر جامعه فقط چند نمونه ممکن است یافته شود. که تحلیل آماری روی آنها خطای بیشتری تولید خواهد کرد. این امر موجب کاهش شدید دقت تخمين‌های بعدی خواهد شد.

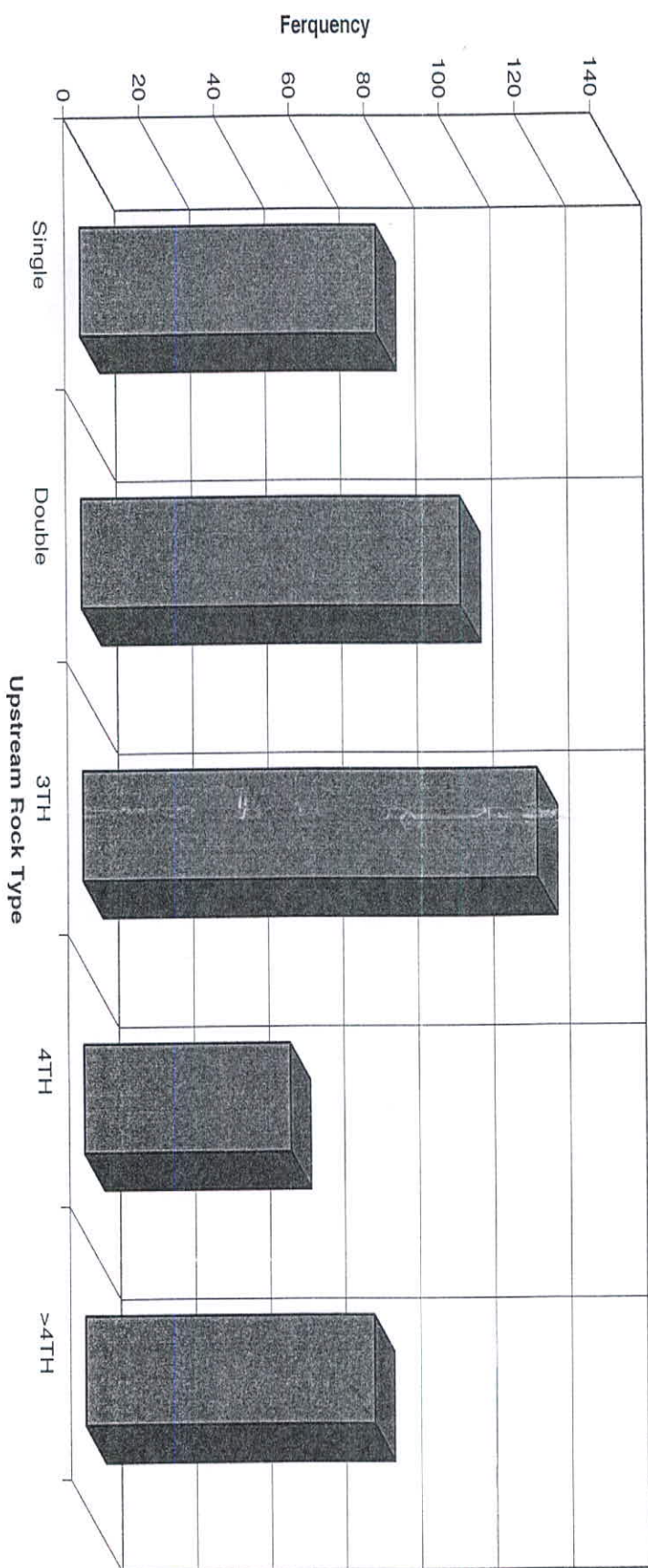
خلاصه سازی مرحله دوم شامل نسبت دادن هر یک از کلاس‌های فوق به رده معینی از سنگ‌های آذرین، دگرگونی و یا رسوبی است که حتی الامکان داده‌های جهانی آنها مورد مطالعه قرار گرفته و در دسترس می‌باشد. جدول ۲-۳ این خلاصه سازی را نشان می‌دهد.

جدول ۲-۳ : خلاصه شده سنگ‌های رخنمون دار در حوضه‌های آبریز  
محدوده برگه ۱:۱۰۰،۰۰۰ دامغان

سنگ آهک، مارن، دولومیت، بروکسیت	شیمیابی	
شبل، ماسه سنگ، کنگلومرا	آواری	رسوبی
گچ	تبخیری	
سنگ‌های بازالت، گدازه‌های اسپلیتی	بازیک	آذرین
توف، جریانهای گدازه	اسید	

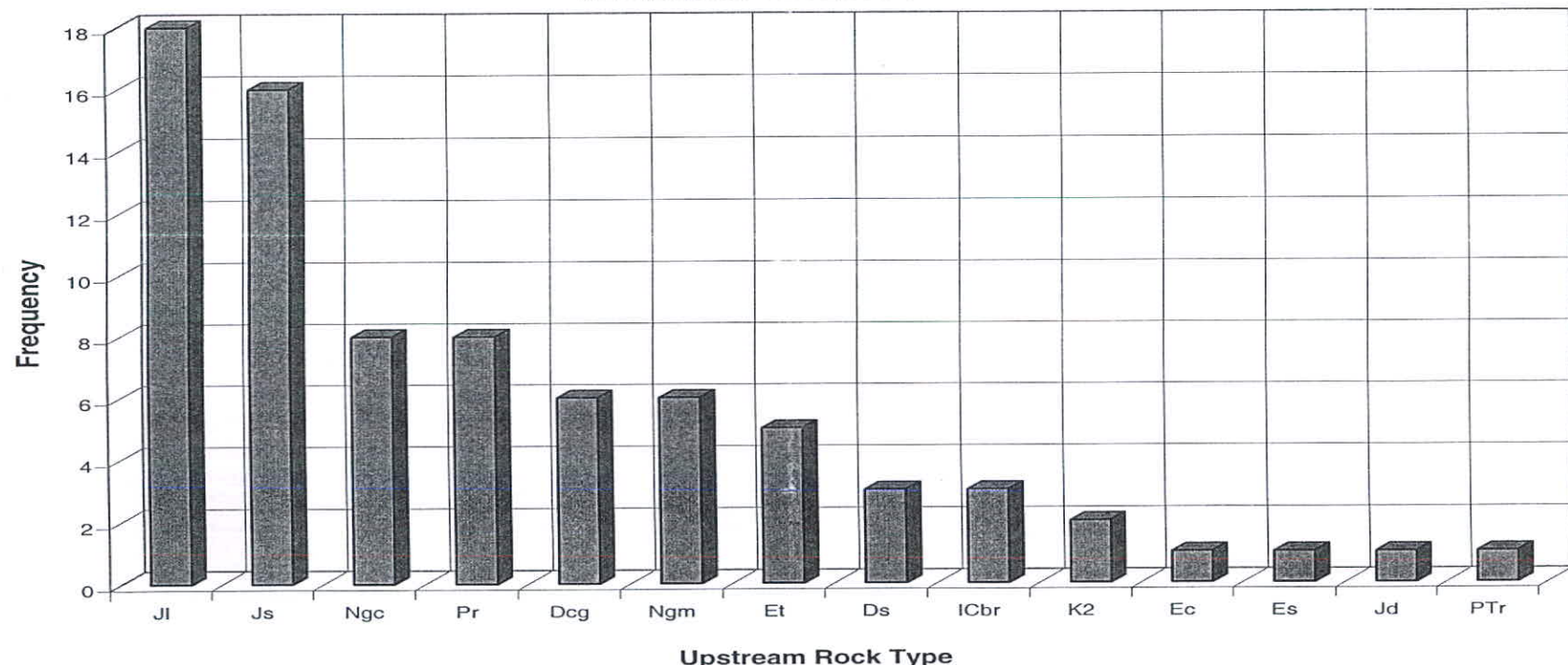
جدول ۳-۳ مقدار فراوانی عناصر مورد بررسی را در دو تیپ سنگ رسوبی فراوان در منطقه و در سه تیپ سنگ آذرین با گسترش نسبتاً زیاد در منطقه نشان می‌دهد. ستون آخر این جدول برای هر عنصر معین نسبت مقدار حداکثر به حداقل مقادیر کلارک را نشان می‌دهد. از این نقطه نظر، اکثر عناصر نسبت به سنگ بستر رخنمون دار در حوضه آبریز، حساسیت نشان می‌دهند. بیشترین حساسیت از آن باریم با ضرب ۶۶۶۶/۷ (ماکریم مقدار آن در سنگ‌های بازیک و حداقل آن در سنگ‌های اسیدی است) و پس کالت (۴۵۰) تنگستان (۲۸۳/۳۱) مس (۱۰۰) نیکل (۸۰) و استرانسیم (۳۰/۵) می‌باشد. مینیمم تغییر پذیری را عنصر بیسموت نشان می‌دهد (۱/۴). این ارقام نشان می‌دهند که مقدار یک عنصر در حوضه آبریز، تا آنجائی که به لیتولوژی حوضه آبریز مربوط می‌شود، بشدت تغییر پذیر بوده و بدون نزاعلایز کردن مقدار عنصر نسبت به جنس سنگ‌های بالادست در حوضه آبریز، امکان دست‌یابی به یک جامعه همگن که بتوان بر اساس آن، مقادیر زمینه، حد آستانه‌ای و آنومالی را در آنها مشخص نمود، غیر ممکن می‌باشد.

**Histogram of Distribution of the Upstream Total Rock Types for the Stream Sediment Samples in Damghan 1:100,000 Sheet**



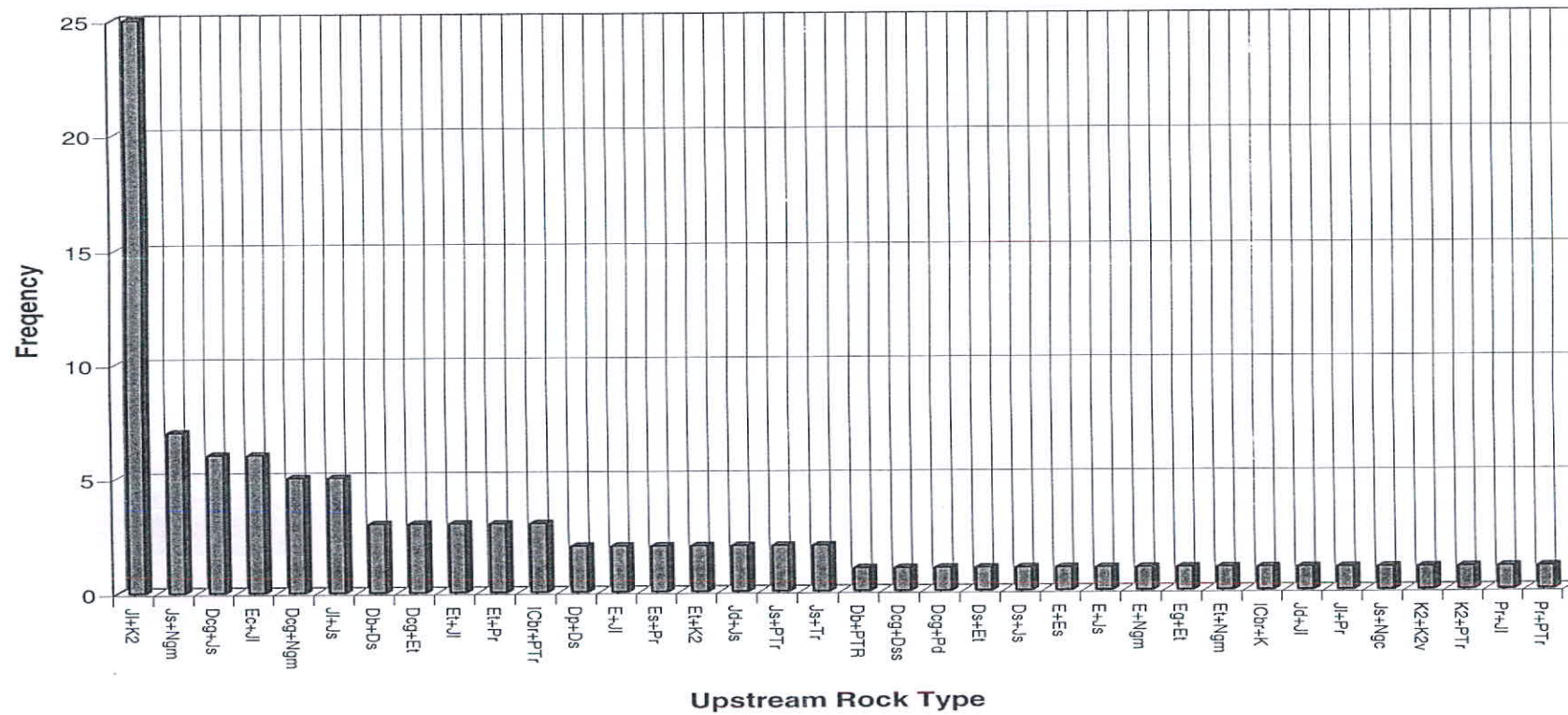
**Fig. 3-1**

**Histogram of Distribution of the Upstream Single Rock Types for the Stream Sediment Samples  
in Damghan 1:100,000 Sheet**



**Fig. 3-2**

**Histogram of Distribution of the Upstream Double Rock Types for the Stream Sediment Samples in  
Damghan 1:100,000 Sheet**



**Fig. 3-3**

**Table 3-3:Clark Values and Max/Min Ratio of The Clark Values in Similar Litology of Damghan 1/100,000 Sheet.**

VARIABLE	SEDIMENTARY ROCKS		IGNEOUS ROCKS		MAX/MIN
	SD	SC	ACIDIC	BASIC	
Zn	16	20	39	130	8.1
Pb	7	9	15	8	2.1
Ag	0.0n	n*10	0.051	0.1	2.0
Cr	35	11	22	200	18.2
Ni	2	2	15	160	80.0
Bi	-	-	0.01	0.007	1.4
Cu	1	4	26	100	100.0
As	1	1	1.9	2	2.0
Sb	0.0n	0.2	0.2	1	5.0
Co	0.3	0.1	7	45	450.0
Sn	0.n	0.n	2.5	1.5	1.7
Ba	n*10	10	0.045	300	6666.7
V	20	20	88	200	10.0
Sr	20	610	440	440	30.5
Hg(ppb)	74	45	67	90	2.0
Au(ppb)	n	n	1.2	4	3.3
Fe	48000	28000	25000	84000	3.4
W	1.6	0.6	170	1	283.3
Mo	2.6	0.2	1.3	1.5	13.0
Mn	800	400	400	1200	3.0

## فصل چهارم

### پردازش داده‌ها

#### ۱- مقدمه

نحوه پردازش داده‌ها در این پژوهه به ترتیب زیر بوده است:

وارد کردن داده‌های حاصل از آنالیز شیمیایی در یک بانک اطلاعاتی، که شامل نتایج آنالیز Au, W, Hg, Ba, Mn, Mo, Sn, Co, Sb, As, Cu, Bi, Ni, Cr, Ag, Pb, Zn و Sr, V, Fe جمهوری خلق چین تهیه شده اند که بصورت یک فایل Excel و از طریق شبکه جهانی اینترنت در اختیار گروه قرار گرفته است. علاوه بر داده‌های ژئوشیمیایی، شماره نمونه، مختصات و اطلاعات لیتوژوئی مربوط به سنگ‌های بالادست هر نمونه نیز در همان فایل ذخیره شده است. داده‌های خام مربوطه بر روی لوح فشرده<sup>۱</sup> آورده شده است.

#### ۲- پردازش داده‌های جوامع تک سنگی

در محدوده برگه ۱۰۰، ۱۰۱ دامغان ۴۳۳ نمونه رسوب آبراهه‌ای پرداشت شده است که تعداد ۷۹ نمونه آنرا، نمونه‌هایی تشکیل می‌دهد که در بالادست آنها فقط یک نوع سنگ بستر رخمنون دارد. در بین این تیپ سنگ‌های بالادست، سنگ‌های رسوبی از نظر فراوانی مقام اول را داشته، پس از زیاد به کم شامل سنگ آهک توده‌ای (Jl)، ماسه‌سنگ و شیل واحد شمشک (Js). سنگ‌های کنگلومرایی (Ngc) و واحد سنگی آهک ماسیو و ضخیم لایه (Pti) می‌باشد. برای هر یک از جوامع فوق که تعداد نمونه در آنها در حد تشکیل یک جامعه مستقل بوده پارامترهای آماری محاسبه گردیده تا بتوان از طریق تقسیم مقادیر هر عنصر خاص در آن جامعه، به مقدار میانه آن، ضریب غنی‌شدگی عنصر مربوطه را محاسبه نمود (جدول ۴-۱). در غیر این صورت آن جامعه مورد تحلیل آماری قرار نگرفته بلکه مجموع چنین جوامعی ابتدا مخلوط شده تا بصورت یک جامعه مرکب در آید. آنگاه از طریق محاسبات مشابه، ضریب غنی‌شدگی آنها محاسبه شده است. این امر در مورد جوامع با بیش از یک نوع سنگ بالادست نیز اعمال گردیده است.

<sup>۱</sup> Compact Disk(CD)

### ۳- پردازش داده‌های جوامع دو سنگی

در محدوده این برگه تعداد ۱۰۱ نمونه برداشت گردیده است که در بالادست آنها دو نوع سنگ بستر در حوضه آبریز رخنمون داشته است. در بین این تیپ سنگ‌های بالادست، فراوانی گروه سنگ‌های رسوبی شیمیابی به طور برجسته بیشتر از گروه‌های دیگر است. گروه‌های با اهمیت به ترتیب فراوانی نزولی آنها عبارتند از:

Jl + K2 , Js + Ngm , Ec + Jl

بنابراین می‌توان گفت که در بین این گروه‌ها، سنگ‌های رسوبی شیمیابی وسعت بیشتری داشته‌اند.

### ۴- پردازش داده‌های جوامع سه سنگی

در محدوده این برگه تعداد ۱۲۱ نمونه برداشت گردیده که در بالادست آنها سه نوع سنگ رخنمون داشته‌اند. در نهایت بر اساس سنگ بالا دست نمونه‌ها، که ترکیب سنگ بالادست این نمونه‌ها در زیر آورده شده است:

Jd + Jl + Js , Db + Dp + Ds , Dcg + Pd + Pr , Jl + K2 + K2v , Es + Et + Pr

### ۵- پردازش داده‌های جوامع چهار سنگی

در مجموع ۵۵ نمونه در بالادست خود دارای چهار نوع رخنمون سنگی بوده‌اند که سه جامعه زیر با تعداد ۶۰ نمونه به عنوان گروه در نظر گرفته شده است:

Jd + Jl + Js + K2v , Jd + Jl + Js + Ngc , Dcg + DSs + Pd + Pr.

نمونه‌هایی که از نظر مکانی در یک حوضه آبریز قرار گرفته باشندو تعداد آنها کمتر از ۷ نمونه باشد، بصورت یک جامعه در نظر گرفته شده است.

### ۶- پردازش داده‌های جوامع پنج سنگی

در مجموع ۳۹ نمونه در بالا دست خود دارای پنج نوع رخنمون سنگی بوده‌اند که تنها می‌توان گروه زیر را با تعداد ۷ نمونه تشکیل داد:

Jd + Jl + Js + K2 + K2v.

**Table 4-1: Matrix of Median Values of Elemental Concentration as a Function of Upstream Lithology Populations**

USRT	Au	Fe	W	As	Sb	Bi	Hg	Cu	Pb	Ni	Mo	Sn	Ag	Zn	Co	Cr	V	Mn	Sr	Ba
Jl	0.0006	19100	0.635	7.95	0.35	0.115	0.0165	10.8	15.2	17.85	0.665	1.05	0.0505	81.5	7.15	63.7	54.65	455.5	250.75	213.5
Js	0.0007	34900	1.2	9.9	0.47	0.225	0.0295	17.9	24.7	25.05	0.33	1	0.0385	77	10.6	100.95	104.5	808.5	147.6	298.5
Ngc	0.0005	24950	0.67	7.2	0.55	0.145	0.019	12.05	19.05	14.2	0.8	0.8	0.0555	96	6.2	70.75	71.4	808	297.35	320.5
Pr	0.0007	31950	0.835	9.25	0.495	0.148	0.0155	14.05	22.15	26.05	0.86	1.8	0.075	103.5	10.95	73.15	80.1	568	266.7	228.5
Ec+Jl	0.0009	14650	0.5	6.1	0.2	0.1	0.0105	5.9	8.9	9	0.495	1	0.036	40	5.2	61.45	38.6	284	214.3	133
Jl+K2	0.0006	13900	0.5	8.9	0.37	0.1	0.017	8.6	21.2	13.1	0.75	0.9	0.052	141	6.4	45.5	38.7	336	216.5	175
Js+Ngm	0.0005	29400	0.78	7.2	0.38	0.18	0.017	13.5	20.3	16.8	0.58	0.9	0.046	87	7.3	79.5	78.9	585	329.7	306
Db+Dp+Ds	0.0006	28250	0.92	8.25	0.695	0.15	0.032	13.35	19.4	15.2	0.825	0.95	0.0445	97.5	8.4	72	82.4	648	228.7	344
Dcg+Pd+Pr	0.0008	29000	0.78	11	0.41	0.14	0.017	9.4	17.3	17.2	0.93	2	0.056	106	7.8	52.3	74	333	408.6	134
Es+Eti+Pr	0.0007	19800	0.65	9.2	0.5	0.16	0.019	8.8	23.3	16.3	1.44	1	0.064	138	7.3	44.5	69.8	627	2474.7	258
Jd+Jl+Js	0.0005	31650	0.92	11	0.34	0.19	0.024	16	25.45	21.95	0.405	1.15	0.0395	83	10.05	98.35	104.85	581.5	120.35	253.5
Jl+K2+K2v	0.0005	25300	0.64	7.65	0.485	0.16	0.0195	15.6	14.75	26.15	0.86	1.25	0.049	96.5	9.9	69.55	75.4	666	209.85	251
Dcg+Dss+Pd+Pr	0.0008	30800	0.75	8.4	0.62	0.16	0.029	11.5	18.1	22.8	1.2	1.6	0.066	78	9.7	78.8	81.1	530	464.4	430
Jd+Jl+Js+K2v	0.0007	33900	0.955	10.9	0.375	0.235	0.0245	20.85	30.6	30.7	0.325	1.25	0.041	82.5	12.35	119.15	121.15	667	107	281
Jd+Jl+Js+Ngc	0.0006	28400	1.15	12	0.38	0.18	0.028	12.9	21.85	16.65	0.285	0.7	0.0205	67.5	8.25	88.1	82.05	604	137.9	227
Jd+Jl+Js+K2+K2v	0.0004	15200	0.5	4.8	0.38	0.12	0.023	8.4	9.2	13.5	0.85	1	0.08	70	5.8	54.3	58.5	742	488.5	258

**Table 4-1: Matrix of Median Values of Elemental Concentration as a Function of Upstream Lithology Populations After Classified Same Lithology**

USRT	Au	Fe	W	As	Sb	Bi	Hg	Cu	Pb	Ni	Mo	Sn	Ag	Zn	Co	Cr	V	Mn	Sr	Ba
Cs	0.0006	26400	0.84	9.2	0.6	0.13	0.021	14.4	22.6	17.6	0.78	1	0.05	101.3	7.8	69.8	81.3	628	247.6	300
Cs+Ds	0.0006	30050	0.865	9.7	0.47	0.16	0.023	14.35	24.4	20.05	0.725	1.2	0.0517	91.5	9.1	84.5	87.2	597.5	230.4	257
ACIDV+Cs+flow	0.0005	16650	0.605	7.75	0.685	0.15	0.027	12.2	32.75	19.3	1.155	1.2	0.099	155.5	8	46.6	55.75	933.5	382.2	337.5
Cs+Ds+EVP	0.0006	25900	0.71	8.65	0.39	0.14	0.014	11.7	18.25	16.3	0.85	1.3	0.056	104	7.85	58.2	59.55	449.5	368.05	240.5
Cs+Ds+flow	0.0007	29700	1.1	9.8	0.77	0.2	0.027	18.1	26.4	23.8	0.75	1.2	0.077	92	9.7	93.3	96.3	958	236.9	349
Cs+Ds+MAFV	0.0007	32600	0.868	9.7	0.355	0.172	0.023	15.67	25.35	24.9	0.485	1.25	0.0413	74.5	9.8	95.25	97.75	593.5	151.85	260.9
ACIDV+Cs+Ds+EVP	0.0006	25700	0.7	9.5	0.39	0.16	0.018	12.4	18	14.9	0.53	0.7	0.05	72	6.6	77.9	73.7	644	354.3	296
ACIDV+Cs+Ds+flow	0.0007	28600	0.85	10.5	0.45	0.185	0.028	12.95	26.35	18.45	0.55	1	0.0525	91.5	8.45	76.5	79.85	658	196.8	310.5
ACIDV+Cs+Ds+EVP+flow	0.0007	21200	0.66	8.95	0.435	0.16	0.0195	11.15	19.2	14.6	0.85	1	0.065	98	6.85	66.9	72.1	708	431.65	328.5
ACIDV+Cs+Ds+EVP+flow+MAFV	0.0007	22600	0.72	8.2	0.36	0.16	0.017	16.3	23.9	25.7	1.19	1.9	0.105	131	10.5	71.5	70.2	570	316.2	269

## فصل پنجم

### تخمین مقدار زمینه

#### ۱- تحلیل ناهمگنی‌ها

همانطور که قبلاً گفته شد، یکی از عوامل مهم در ایجاد ناهمگنی آماری در جوامع ژئوشیمیابی نمونه‌های برداشت شده از رسوبات آبراهه‌ای، تنوع و تغییرات لیتوژئی در سنگ‌های بالادست است. برای از بین بردن این عوامل ناهمگن ساز و دست‌یابی به جوامع همگنی که بتوان از طریق آنها به مقدار زمینه واقعی‌تری دست یافت، اقدام به جداسازی نمونه‌ها بر اساس سنگ بستر رخمنوندار در محدوده حوضه آبریز بالادست هر نمونه شده است. سپس نتایج حاصل از هر جامعه با یکدیگر مقایسه شده و تشابهات و تضادهای ژئوشیمیابی مربوط به هر یک بدست آمده است. داده‌های جدول ۱-۴ نشان می‌دهد که سنگ‌های بالادست شامل چهار گروه تک سنگی، سه گروه دوسنگی، پنج گروه سه‌سنگی، سه گروه چهارسنگی، و یک گروه پنج سنگی است که هر یک به تعداد کافی نمونه وجود داشته است و از این‌رو امکان محاسبه پارامترهای آماری تا حدی وجود داشته است.

داده‌های این جداول معرف آن است که در مورد بعضی از عنصر نفیث پل‌آبریز سنگ بستر بالادست قوی است.

برای مثال مقدار زمینه  $\text{Co}$ ،  $\text{Ni}$  در سنگ‌های اولترا مافیک می‌تواند تا چند صد برابر مقدار زمینه آن عناصر در سنگ‌های فلسبیک باشد.

#### ۲- سیمای ژئوشیمیابی جوامع مختلف بر اساس سنگ بستر بالادست

برای تعیین سیمای ژئوشیمیابی جوامع مختلف نمونه‌های برداشت شده از حوضه‌های آبریز، بر اساس سنگ بالادست آنها بصورت زیر عمل گردیده است:

الف - مقدار میانه هر عنصر در هر سکانس از سنگ‌های بالادست (تک سنگی) که تعداد نمونه‌های کافی برای تحلیل آماری داشته اند محاسبه شده است.

ب - مقایسه مکان قرارگیری هر عنصر در یک سری با سنگ بالادست معین نسبت به مکان قرارگیری همان عنصر در سری کلی.

Table 5-1 : Geochemical Features : Ranking of Different Elements In Different Enviroments Based on Concentration of Each Elements In Stream Sediments.

Total Standard	Fe	Mn	Ba	Sr	Zn	V	Cr	Pb	Ni	Cu	As	Co	Sn	W	Mo	Sb	Bi	Ag	Hg	Au
	26600	596.00	263.00	235.50	92.00	76.50	72.80	22.20	18.20	13.22	9.20	8.30	1.10	0.79	0.71	0.41	0.16	0.05	0.02	0.0006
Jl	Fe 19100	Mn 455.50	Sr 250.75	Ba 213.50	Zn 81.50	Cr 63.70	V 54.65	Ni 17.85	Pb 15.20	Cu 10.80	As 7.95	Co 7.15	Sn 1.05	Mo 0.67	W 0.64	Sb 0.35	Bi 0.12	Ag 0.05	Hg 0.02	Au 0.0006
Js	Fe 34900	Mn 808.50	Ba 298.50	Sr 147.60	V 104.50	Cr 100.95	Zn 77.00	Ni 25.05	Pb 24.70	Cu 17.90	Co 10.60	As 9.90	W 1.20	Sn 1.00	Sb 0.47	Mo 0.33	Bi 0.23	Ag 0.04	Hg 0.03	Au 0.0007
Ngc	Fe 24950	Mn 808.00	Ba 320.50	Sr 297.35	Zn 96.00	V 71.40	Cr 70.75	Pb 19.05	Ni 14.20	Cu 12.05	As 7.20	Co 6.20	Mo 0.80	Sn 0.80	W 0.67	Sb 0.55	Bi 0.15	Ag 0.06	Hg 0.02	Au 0.0005
Pr	Fe 31950	Mn 568.00	Sr 266.75	Ba 228.50	Zn 103.50	V 80.10	Cr 73.15	Ni 26.05	Pb 22.15	Cu 14.05	Co 10.95	As 9.25	Sn 1.80	Mo 0.86	W 0.84	Sb 0.50	Bi 0.15	Ag 0.07	Hg 0.02	Au 0.0007

جدول ۱-۵ نتایج عملیات فوق برای کل جامعه نمونه‌های برداشت شده از برگه دامغان که به عنوان ملاک مقایسه برای جوامع دیگر بکار برده شده است همراه با مقادیر مشابه برای چهار تیپ سنگ بستر بالادست نشان می‌دهد.

این جوامع عبارتند از: سنگ آهک توهدای (Jl)، ماسه‌سنگ و شیل واحد شمشک (Js)،

سنگ‌های کنگلوماری (Ngc) و واحد سنگی آهک ماسیرو ضخیم لایه (Pt).

چنانچه از داده‌های جدول بر می‌آید، میانه عناصری مانند Ag, Bi, Fe, Mn, Hg, Au نزدیک به میانه مقادیر مربوط به جامعه کلی است که باید این چنین باشد. عناصر Ni, Cr, Sr در سنگ آهک توهدای (Jl) غنی‌شدگی نسبی و عناصر W, Pb, V, Mo در ماسه‌سنگ و شیل واحد شمشک (Js) نسبت نشان می‌دهند. عناصر V, Cr, Ni, Co, W, Sb در ماسه‌سنگ و شیل واحد شمشک به مقادیر میانه کلی غنی‌شدگی و عناصر Zn, Pb, As, Sn, Mo نهی‌شدگی نسبی نشان می‌دهند. عنصر Sn در سنگ‌های کنگلوماری (Ngc) غنی‌شدگی و عناصر W, Mo نسبت نشان می‌دهد. عنصر Sr, Ni, Co, Mo در واحد سنگی آهک ماسیرو ضخیم لایه (Pt) غنی‌شدگی و عناصر Ba, Pb, As, W نهی‌شدگی نسبی از خود نشان می‌دهد.

### ۳- تخمین مقدار زمینه

پس از همگن سازی جوامع مختلف، نمونه‌های ژئوشیمیایی برداشت شده از رسوبات آبراهه‌ای براساس نوع سنگ یا سنگ‌های بالادست اقدام به محاسبه مقدار زمینه گردیده است. در این خصوص چون مقدار میانگین، خود تابع مقادیر حدی در تابع چگالی احتمال است، و از طرفی داده‌های ژئوشیمیایی اکثراً چولگی مثبت داشته و مقادیر حد بالایی تابع چگالی احتمال آنها روی مقادیر میانگین اثر می‌گذارد، از مقدار میانه که مستقل از تغییرات فوق است، استفاده شده است. در این خصوص مقدار میانه به عنوان زمینه انتخاب گردیده است و سپس مقدار هر عنصر در هر نمونه از یک جامعه، به مقادیر میانه آن تقسیم شده تا نسبت غنی‌شدگی یا نهی‌شدگی آن عنصر در هر نمونه محاسبه گردد. بدینهی است عناصری که مقدار نسبت فوق در آنها بیشتر از واحد باشد غنی‌شده و آنها که کمتر از واحد باشد نهی‌شده، تلقی می‌شوند.

جدول ۲-۵ پارامترهای آماری مربوط به لگاریتم توزیع شاخص غنی‌شدگی نسبی هر یک از متغیرهای بیست‌گانه را نشان می‌دهد. در این جداول بدینهی است مقدار میانه بصورت عدد صفر ظاهر خواهد شد.

علاوه بر مقدار میانه در این جداول، مقدار میانگین، انحراف معیار و مقدار چولگی و کشیدگی نیز نشان داده شده است. بر اساس این داده‌های است که نقشه توزیع هر عنصر رسم

گردیده است. لازم به یادآوری است عناصری که در غلظت‌های کمتر از چند ده ppm ظاهر می‌شوند می‌توانند بعضاً ضریب غنی‌شدگی بسیار بالایی از خود نشان دهند که تا حدودی غنی‌شدگی غیر واقعی است. علت این امر می‌تواند به افزایش خطاهای مطلق اندازه‌گیری در غلظت‌های کم بر گردد. بنابراین در انتخاب مناطق امیدبخش و تحلیل آنها باید از هر دو معیار مقدار مطلق و غنی‌شدگی نسبی بهره برد.

**Table 5-2 :Batch Statistic of Enrichment Index of Variables  
in Damghan 1:100,000 Sheet**  
(for Natural Log of data)

Elements	Au	Fe	W	As	Sb
N used	433	433	433	433	433
N missing	0	0	0	0	0
N.LE.0	0	0	0	0	0
Mean	0.003	-0.065	-0.007	-0.039	0.005
Variance	0.111	0.098	0.075	0.115	0.112
Std. Dev.	0.333	0.314	0.274	0.338	0.334
Coef. Var.	11186.11	481.984	3987.162	865.265	7224.824
Skewness	-0.192	-1.463	-0.517	-1.428	0.54
Kurtosis	3.404	7.525	3.563	10.783	4.648
Minimum	-0.847	-1.983	-1.039	-2.374	-0.886
25th %tile	-0.196	-0.186	-0.17	-0.162	-0.203
Median	0	0	0	0	0
75th %tile	0.208	0.098	0.152	0.126	0.159
Maximum	1.041	0.718	0.671	1.397	1.367

Elements	Bi	Hg	Cu	Pb	Ni
N used	433	433	433	433	433
N missing	0	0	0	0	0
N.LE.0	0	0	0	0	0
Mean	-0.016	-0.002	-0.025	-0.021	-0.008
Variance	0.064	0.111	0.12	0.152	0.146
Std. Dev.	0.253	0.333	0.347	0.39	0.382
Coef. Var.	1612.911	17028.76	1387.306	1864.817	4506.097
Skewness	-0.252	-0.077	-0.66	-0.517	-0.23
Kurtosis	3.142	3.717	4.276	6.775	3.696
Minimum	-0.716	-1.135	-1.312	-1.485	-1.253
25th %tile	-0.143	-0.191	-0.207	-0.169	-0.205
Median	0	0	0	0	0
75th %tile	0.134	0.209	0.186	0.185	0.22
Maximum	0.767	1.191	1.038	1.829	1.273

**Table 5-2 :Batch Statistic of Enrichment Index of Variables  
in Damghan 1:100,000 Sheet  
(for Natural Log of data)**

Elements	Mo	Sn	Ag	Zn	Co
N used	433	433	433	433	433
N missing	0	0	0	0	0
N.LE. 0	0	0	0	0	0
Mean	-0.007	0.015	0	-0.003	-0.004
Variance	0.204	0.13	0.184	0.107	0.091
Std. Dev.	0.451	0.36	0.43	0.327	0.301
Coef. Var.	6186.681	2455.795	120824.3	9413.968	8265.689
Skewness	0.34	0.252	-0.051	-0.279	-0.036
Kurtosis	4.284	4.076	3.745	4.532	3.902
Minimum	-1.224	-1.139	-1.479	-1.26	-0.912
25th %tile	-0.276	-0.182	-0.253	-0.197	-0.168
Median	0	0	0	0	0
75th %tile	0.212	0.201	0.237	0.18	0.176
Maximum	2.162	1.653	1.536	1.067	1.114

Elements	Cr	V	Mn	Sr	Ba
N used	433	433	433	433	433
N missing	0	0	0	0	0
N.LE. 0	0	0	0	0	0
Mean	-0.045	-0.068	-0.023	0.047	-0.002
Variance	0.113	0.14	0.171	0.267	0.073
Std. Dev.	0.336	0.374	0.414	0.517	0.271
Coef. Var.	748.492	549.351	1818.353	1108.01	13950.65
Skewness	0.262	-1.412	0.877	1.527	0.474
Kurtosis	11.93	7.407	9.919	7.922	5.406
Minimum	-1.448	-2.16	-1.563	-1.227	-0.865
25th %tile	-0.199	-0.22	-0.181	-0.232	-0.14
Median	0	0	0	0	0
75th %tile	0.141	0.148	0.142	0.198	0.13
Maximum	2.545	0.983	2.418	2.706	1.087

## فصل ششم

### تخمین شبکه‌ای شاخص‌های غنی‌شدگی

#### ۱- تخمین شبکه‌ای

با گذشت زمان و افزایش مخارج پروژه‌های اکتشافی، سعی بر آن است که با بکارگیری تکنیک‌های آماری پیچیده‌تر، دامنه تخمین را از نظر بعد مسافت افزایش داد تا این رهگذر بتوان تعداد نمونه‌های لازم را، برای تخمین در سطح اعتماد معین کاهش داد. این کاهش تعداد نمونه‌ها (البته بدون پایین آوردن سطح اعتماد تخمین) خود موجب کاهش مخارج اکتشافی می‌گردد، زیرا مخارج سایر فازهای اکتشافی (از قبیل آماده‌سازی، آنالیز و پردازش) ارتباط مستقیمی با تعداد نمونه‌ها دارد. معمولاً برگه‌های ۱:۱۰۰،۰۰۰ زمین‌شناسی در کشور ما مساحتی حدود ۲۵۰۰ کیلومترمربع را شامل می‌شود. که اگر چگالی یک نمونه برای هر ۳ کیلومترمربع را در نظر بگیریم، برای هر برگه حدود ۸۰۰ نمونه باید برداشت شود. در چنین شرایطی اگر نقشه ۱:۱۰۰،۰۰۰ زمین‌شناسی را به ۲۵۰۰ سلول با مساحت یک کیلومترمربع تقسیم نمائیم، کل نمونه برداشت شده احتمالاً در حدود ۸۰۰ سلول توزیع خواهد شد و از بقیه ۱۷۰۰ سلول باقیمانده، نمونه‌ای برداشت نمی‌شود، بدین ترتیب هیچ تخمین مستقیمی نمی‌تواند برای حدود ۷۰٪ از مساحت نقشه صورت پذیرد. این تحلیل ساده نشان می‌دهد که تا چه اندازه به تکنیک‌های آماری که بتواند دامنه تخمین مقدار متغیرها را به بخش اعظمی از هر نقشه افزایش دهد نیاز می‌باشد. این تکنیک که در این گزارش تحت عنوان تخمین شبکه‌ای از آن نام برده می‌شود، به ما اجازه می‌دهد تا با داشتن اطلاعات مستقیم از حدود ۸۰۰ سلول شبکه، بتوانیم تخمین‌های لازم فراوانی عناصر و شاخص‌های غنی‌شدگی مربوط به آنها را به حدود ۱۷۰۰ سلول دیگر موجود در محدوده برگه افزایش دهیم. در چنین حالتی افزایش تعداد سلول‌هایی که در مورد آنها داده‌ای بدست می‌آید، موجب می‌گردد تا ارتباط منطقی بین فراوانی یک عنصر در سلول‌ها ظاهر گشته و امکان ارزیابی منطقه بندی‌های موجود در نقشه توزیع یک عنصر فراهم گردد. برای مثال هر گاه یک مقدار آنومالی در بین تعداد زیادی از مقادیر زمینه محصور گردد، ارزش و اعتبار آن مقدار آنومالی زیر سوال خواهد بود. ولی اگر یک مقدار آنومالی به وسیله چندین سلول با مقدار حد آستانه‌ای محصور گردد و این سلولها خود توسط سلولهای دارای مقدار زمینه نیز محاط گردند، در این صورت این مدل تغییرات تدریجی از اطراف به مرکز آنومالی، موجب افزایش اعتبار مقدار آنومالی می‌گردد.

چنین ارزیابی‌هایی در صورتی مبسر است که از تکنیک تخمین شبکه‌ای استفاده گردد. از دیگر امتیازات این روش تخمین آن است که یک شبکه نا منظم نمونه‌برداری را به یک شبکه منظم تخمین تبدیل می‌کند. مهم‌ترین ویژگی بررسی رسوبات رودخانه‌ای به منظور ارزیابی پتانسیل کانی‌سازی، می‌تواند ناشی از این واقعیت باشد که مقدار هر متغیر در رسوب رودخانه‌ای دارای خاصیت برداری است. جهت این بردار بطریقی است که همواره مقادیر بالادست خود را معرفی می‌کند. به عبارت دیگر ارقام حاصل از بررسی رسوبات رودخانه‌ای بر خلاف سایر روش‌های ژئوشیمیابی خاصیت جهت یافتنگی دارند و همواره انعکاس دهنده تغییرات، در ناحیه بالادست خود می‌باشد. الگوریتم کنونی به نحوی طراحی شده که این اثر مهم در تخمین را به حساب آورد. این روش اولین بار توسط گروهی از ژئوشیمیست‌های اکشافی امپریال کالج لندن بکار گرفته شد و سپس با تائید الگوریتم مورد نظر این روش در هندبوک ژئوشیمی اکشافی (جلد دوم) به عنوان روشی برای نقشه‌برداری ژئوشیمیابی پیشنهاد گردیده است.

تکنیک تخمین شبکه‌ای شامل چند بخش به شرح زیر است:

انتخاب یک شکل هندسی که بتواند حتی الامکان ناجه حوضه آبریز بالادست هر نمونه را مشخص کند. این شکل هندسی می‌تواند به صور مختلفی انتخاب گردد. انتخاب چند ضلعی، تا آنجا که به انطباق فیزیکی بیشتر با حوضه آبریز مربوط می‌شود از دیگر اشکال هندسی مناسب‌تر است ولی محاسبات و عملیات مربوط به آن بسیار پیچیده تر و پر حجم است.

برای این منظور نیاز است تا حوضه آبریز هر نمونه به وسیله یک چند ضلعی مشخص شود که شروع چند ضلعی در محل برداشت نمونه باشد. نکته مهمی که باید در نظر گرفته شود، آن است که در تعیین این چند ضلعی‌ها باید دقت زیاد در نقشه‌های توپوگرافی نمود تا خاصیت اربی<sup>۱</sup> در تخمین‌ها وارد نشود سپس مختصات رؤوس و چند ضلعی‌های رسم شده همگی در این فایل جمع شده و توسط محاسبات مربوطه، ضرایب هر شبکه از نقشه بدست آورده می‌شود. در این پروژه برای تمامی نمونه‌های برداشت شده از آبراهه‌ها، چند ضلعی‌های حوضه آبریز رسم گردیده که فایل مربوط به مختصات رؤوس در لوح فشرده همراه گزارش آورده شده است.

## ۲- شاخص غنی‌شدگی (Enrichment Index) با حذف اثر سنگ بالادست

با تعریف شاخص غنی‌شدگی یک عنصر خاص در یک نمونه معین عبارت است از نسبت غلظت آن عنصر در آن نمونه به غلظت میانگین یا میانه همان عنصر در جامعه‌ای که نمونه مربوطه متعلق به آن است. با این تعریف عوامل موثر در شاخص غنی‌شدگی یک عنصر خاص، در یک نمونه معین، نه فقط تابع مقدار آن عنصر در آن نمونه می‌باشد بلکه به فراوانی همان عنصر در جامعه وابسته به آن نیز بستگی دارد. بنابراین اگر فراوانی نقطه‌ای و منطقه‌ای یک عنصر، هر دو با شبیه ثابت افزایش و یا کاهش یابند آنچه که ثابت باقی خواهد ماند شاخص غنی‌شدگی است، زیرا صورت و مخرج این کسر به یک نسبت افزایش و یا کاهش می‌یابند. بدین ترتیب شاخص غنی‌شدگی تا حدود زیادی مستقل از فاکتور لیتوژئی و یا مولفه سترنیک فراوانی یک عنصر در ناحیه منشاء رسوبات آبراهه‌ای می‌باشد. برای مثال دو رسوب آبراهه‌ای A و B را در نظر می‌گیریم که اولی حاصل فرسایش یک واحد بازالتی و دومی حاصل فرسایش یک واحد دولومیتی است بدینهی است مقدار Ni در واحد بازالتی و رسوب حاصل از فرسایش آن به مراتب بیشتر از مقدار همین عنصر در واحد دولومیتی و یا در رسوب حاصل از فرسایش آن است. چنانچه رسوب حاصل از فرسایش دولومیت با رسوب حاصل از فرسایش بازالت از نظر فراوانی نیکل مورد مقایسه قرار گیرد، ملاحظه می‌گردد که تا چه اندازه نوع اخیر از نیکل غنی‌تر است. حال آنکه اگر مقدار نیکل یک نمونه رسوب حاصل از فرسایش بازالت به میانگین آن نرمالایز شود و همین عمل در مورد رسوب حاصل از فرسایش دولومیت صورت گیرد و آنگاه مقادیر نرمالایز شده با هم مقایسه شوند، ملاحظه خواهد شد که در صورت نبود مولفه اپی‌ژنتیک، اختلاف در جامعه آماری ممکن است بی اهمیت باشد. در حالتی که رسوب حاصل از فرسایش بازالت به دلیل وجود کانی سازی (مولفه اپی‌ژنتیک) دارای مقادیر بسیار بالایی از نیکل باشد، در این صورت ممکن است مقادیر نرمالایز شده اختلاف فاحشی را نشان دهند. این اختلاف از نوع معنی دار تلقی شده و برخلاف اختلاف بین دو مقدار نرمالایز نشده، باید در جستجوی عامل ایجاد کننده آن بود.

نظر به اینکه شاخص غنی‌شدگی می‌تواند داده‌های ژئوشیمیایی را از تغییرات لیتوژئی (مولفه سترنیک) در ناحیه منشاء مستقل سازد، در این پژوهه مبنای محاسبات قرار گرفته است. برای محاسبه شاخص غنی‌شدگی متغیرهای تک عنصری در هر نمونه از رابطه زیر استفاده می‌شود:

$$EI = \frac{C_j}{(C_{med})_j}$$

در این رابطه  $EI$  شاخص غنی‌شدگی،  $C_{jz}$  مقدار فراوانی عنصر  $j$  در یک نمونه معین وز (Cmed) مقدار زمینه همان عنصر در جامعه مربوط به آن نمونه می‌باشد. این مقدار زمینه می‌تواند معادل مقدار میانه و یا معادل مقدار میانگین انتخاب گردد. در پژوهه حاضر به علت مستقل بوده مقدار میانه از تغییرات حذی، این پارامتر به میانگین ترجیح داده شده است.

### ۳- محاسبه احتمال رخداد هر یک از شاخص‌های غنی‌شدگی

از آنجا که نقشه برداری ژئوشیمیابی از رسوبات آبراهه‌ای به دو منظور مختلف، شامل: ارزیابی پتانسیل معدنی واحدهای تکتونوماگمایی و نهایتاً تهیه نقشه متالوژنی این واحدها از طریق رسم نقشه توزیع عنصر ارزیابی آنومالی‌های ژئوشیمیابی امید بخش جهت انجام عملیات اکتشافی تفضیلی تصورت می‌گیرد، برای آنکه در پژوهه حاضر هر دو منظور رعایت شده باشد، علاوه بر رسم نقشه توزیع ژئوشیمیابی عناصر در مقیاس ناحیه‌ای که در آن منظور اول ملحوظ می‌شود، اقدام به محاسبه احتمال رخداد هر یک از مقادیر آنومال نیز گردیده است تا بتوان از این طریق به ملاکی جهت دسترسی به منظور دوم دست یافت. پس از آنکه مقدار هر عنصر در هر یک از جوامع به میانه همان عنصر در همان جامعه تقسیم شد(نمایانه کردن اثر لیتلولژی‌های مختلف)، حال می‌توان با نتایج حاصل از نمونه‌های متعلق به جوامع مختلف، تشکیل جامعه کلی داد و سپس روی این جامعه تحلیل آماری کرد. از آنجا که نتایج حاصل از فاز قبل، شاخص غنی‌شدگی هر عنصر را نشان می‌دهد، جامعه کلی بدست آمده تحت عنوان جامعه شاخص غنی‌شدگی نامیده می‌شود که در صورت دقت کافی در نقشه زمین‌شناسی می‌تواند تا حدود زیادی مستقل از فاکتور لیتلولژی در ناحیه منشا رسوبات آبراهه‌ای باشد. علاوه بر محاسبه پارامترهای آماری هر یک از جوامع(شاخص غنی‌شدگی هر عنصر)، احتمال رخداد هر مقدار از یک عنصر در هر نمونه نیز محاسبه گردیده است. در این محاسبات مقادیر خارج از رنج (Outlier) مقادیر  $EI$  از محاسبات حذف شده اند تا فرض آماری لازم در محاسبات مقادیر  $PN$  برقرار می‌باشد. در جدول (۱-۶) مقادیر خارج از رنج محاسبه شده بر اساس مقادیر  $EI$  را نمایند گردیده است. مقادیر فوق الذکر ابتدا از محاسبات کنار گذاشته شده‌اند و پس از انجام محاسبات آماری به مجموعه نهایی اضافه شده‌اند. احتمالات حاصل به عنوان ملاکی جهت ارزیابی مقادیر به ظاهر آنومال مورد استفاده قرار گرفته است.

جدول (۲-۶) نتیجه عملیات فوق را نشان می‌دهد. در این جدول نمونه‌هایی آورده شده است که مجموع مقادیر  $PN$  محاسبه شده برای آن بالای دو می‌باشد. چنانچه ملاحظه می‌گردد شدت آنومالی‌ها با معیاری احتمال پذیر محاسبه گردیده است. این شدت برابر با عکس

حاصل ضرب احتمال رخداد یک مقدار معین از یک عنصر در جامعه نمونه‌های مورد بررسی در برگه ۱۰،۱۰،۱۰ دامغان است . بدین ترتیب برای سرب ۱۴ آنومالی ، منگنز ۱۳ آنومالی ، آرسنیک ۱۱ آنومالی ، آنتیموان نه آنومالی ، روی ، استرانسیوم ، وانادیم و باریم هفت آنومالی ، کبات شش آنومالی ، نقره ، جیوه و طلا پنج آنومالی ، آهن ، کرم و بیسموت چهار آنومالی ، مس و مولیبدن سه آنومالی ، نیکل و قلع دو آنومالی و تنگستن یک آنومالی واقعی حاصل گردیده است ، که البته بعضی از محدوده‌های فوق تنهامنشاء لپتوژی دارند و این موضوع در هنگام انجام عملیات کترل آنومالی‌های ژئوشیمیابی بررسی شده است.

**Table 6-1 : Outlier Samples in Damghan 1:100,000 Sheet (Based on E.I.)**

Sample No.1.	Au	Fe	W	As	Sb	Bi	Hg	Cu	Pb	Ni	Mo	Sn	Ag	Zn	Co	Cr	V	Mn	Sr	Ba	
DQ-345					3.93		3.29							3.05							
DT-65														2.93		2.66					
DA-218										3.57		5.22									
DA-245	2.67			2.47																	
DA-246		2.83							4.11												
DA-247				2.36					6.23												
DA-252													4.65				11.22				
DA-254																2.29	9.74				
DA-255				2.77													6.93				
DT-460				3.64										2.39							
DT-19																2.67					
DT-21												3.68									
DT-22																		14.98			
DT-25																3.46					
DT-30																		12.94			
DT-31				1.88																	
DT-45	2.80																				
DT-54															12.75						
DT-90					3.14																
DT-102				2.15																	
DT-104		1.96																			
DT-109				3.41																	
DT-116																		2.91			
DT-153																		11.72			
DA-225																4.91					
DA-234													2.91								
DA-248									3.51												
DA-249			2.25																		
DA-251																	4.02				
DA-258									2.57												
DA-285			2.26																		
DA-275			4.04																		
DQ-277							2.82														
DQ-339												8.69									
DQ-342				3.02																	
DQ-389						1.88															
DQ-405																		2.96			

**Table 6-2 : Promising sampling Points Based on the Sum of Probabilistic Intensity of Anomalies**

Sample No	Au	Fe	W	As	Sb	Bi	Hg	Cu	Pb	Ni	Mo	Sn	Ag	Zn	Co	Cr	V	Mn	Sr	Ba	Sum(1/P.N)
DT-65	0.006	23.095	0.003	0.003	0.004	0.005	0.329	0.274	0.003	1.046	0.017	0.014	0.030	0.004	23.095	12.939	23.095	0.019	0.021	0.002	84.002
DQ-345	0.005	0.005	0.102	0.031	23.095	0.006	23.095	0.013	0.008	0.039	0.010	0.003	0.012	0.020	23.095	0.004	0.002	0.005	0.004	0.008	69.562
DA-245	23.095	0.003	0.004	23.095	0.017	0.005	0.005	0.003	23.095	0.004	0.004	0.004	0.003	0.011	0.003	0.003	0.005	0.004	0.005	0.005	69.372
DA-255	0.353	0.007	0.068	0.019	7.677	1.131	9.047	1.077	0.007	0.009	0.005	0.002	1.787	0.003	0.007	0.071	12.421	23.095	0.003	0.007	56.796
DA-218	0.003	0.006	0.004	0.004	0.005	0.005	0.005	0.009	0.011	23.095	2.837	23.095	0.005	0.005	1.830	0.005	0.004	0.007	0.006	0.007	50.949
DA-247	0.007	0.006	0.004	23.095	0.148	0.005	0.017	0.018	23.095	0.014	0.007	0.005	0.006	2.883	0.012	0.005	0.007	0.010	0.004	0.011	49.358
DA-254	0.042	0.008	0.010	0.004	0.090	0.543	0.284	0.127	0.005	0.019	0.005	0.002	0.109	0.003	0.019	0.094	23.095	23.095	0.005	0.014	47.573
DA-234	0.007	0.004	0.029	23.095	0.014	0.005	0.017	0.032	0.992	0.009	0.006	0.006	0.006	23.095	0.009	0.005	0.004	0.007	0.004	0.005	47.350
DT-460	0.016	0.005	0.006	0.024	23.095	0.003	3.220	0.003	0.006	0.051	0.091	0.007	0.035	0.016	20.536	0.002	0.002	0.005	0.004	0.005	47.132
DT-25	0.009	0.004	0.004	0.003	0.179	0.008	0.219	0.007	23.095	0.014	0.010	0.004	0.242	0.020	0.012	0.004	0.101	23.095	0.035	0.066	47.131
DA-252	0.019	0.002	0.003	0.008	0.111	0.003	0.009	0.237	0.017	0.018	0.056	0.003	23.095	0.037	0.007	0.004	0.014	23.095	0.016	0.009	46.764
DA-246	23.095	0.005	0.004	0.005	0.005	0.007	0.006	0.005	23.095	0.009	0.010	0.008	0.012	0.031	0.006	0.004	0.007	0.006	0.005	0.005	46.330
DA-249	0.003	0.003	0.004	23.095	0.014	0.005	0.005	0.003	23.095	0.003	0.004	0.003	0.004	0.006	0.003	0.004	0.003	0.003	0.008	0.005	46.273
DT-21	0.007	0.003	0.004	0.005	0.213	0.005	0.720	0.006	0.118	0.010	0.799	0.007	11.775	2.331	0.006	0.003	0.005	23.095	0.533	0.016	39.659
DT-19	0.116	0.026	0.028	0.004	0.004	0.057	0.078	0.065	0.012	0.051	0.004	0.005	0.030	0.005	0.074	0.084	23.095	13.921	0.002	0.017	37.681
DA-248	0.013	0.003	0.004	13.228	0.065	0.005	0.007	0.006	23.095	0.008	0.007	0.008	0.014	0.266	0.007	0.004	0.004	0.008	0.003	0.006	36.761
DA-275	0.003	0.004	0.004	23.095	0.148	0.005	0.008	0.013	6.063	0.005	0.008	0.005	0.007	3.460	0.004	0.003	0.003	0.004	0.003	0.004	32.849
DT-149	0.017	0.002	0.002	0.002	0.074	0.004	0.004	0.003	0.002	0.003	0.443	0.003	2.397	0.023	0.002	0.002	0.003	23.095	1.825	0.010	27.919
DT-42	0.017	23.095	0.130	0.157	0.002	0.143	0.007	0.015	0.005	0.035	0.002	0.008	0.002	0.002	0.072	2.293	1.374	0.002	0.002	0.003	27.368
DT-102	0.002	0.044	0.655	0.047	0.002	23.095	0.047	0.017	0.016	0.361	0.002	0.081	0.003	0.003	0.854	0.140	0.047	0.003	0.002	0.004	25.427
DQ-342	0.003	0.005	0.004	0.008	21.859	0.003	0.568	0.006	0.014	0.009	0.017	0.003	0.006	0.008	2.378	0.002	0.002	0.003	0.004	0.011	24.911
DT-66	0.006	0.013	0.007	0.005	0.010	0.024	0.037	0.014	0.004	0.228	0.017	0.037	0.024	0.008	0.548	23.095	0.060	0.010	0.002	0.004	24.153
DQ-277	0.097	0.006	0.147	0.004	0.003	0.351	0.057	23.095	0.008	0.046	0.002	0.007	0.003	0.005	0.103	0.074	0.036	0.013	0.003	0.007	24.066
DA-251	0.042	0.010	0.006	0.006	0.325	0.079	0.449	0.004	0.005	0.003	0.003	0.002	0.004	0.003	0.004	0.005	0.014	23.095	0.003	0.004	24.065
DT-54	0.005	0.005	0.034	0.008	0.090	0.012	0.006	0.071	0.045	0.007	0.012	0.005	0.038	0.007	0.006	23.095	0.011	0.401	0.004	0.103	23.963
DQ-405	0.043	0.025	0.008	0.008	0.469	0.106	0.007	0.031	0.003	0.007	0.005	0.005	0.008	0.003	0.006	0.007	0.058	0.018	0.006	23.095	23.917
DQ-339	0.003	0.005	0.002	0.002	0.004	0.004	0.014	0.013	0.122	0.004	23.095	0.004	0.003	0.003	0.002	0.574	0.002	0.003	0.008	23.869	
DT-109	0.003	0.005	0.005	0.002	23.095	0.002	0.030	0.004	0.028	0.010	0.585	0.005	0.024	0.029	0.002	0.006	0.003	0.004	0.009	0.006	23.856
DA-258	0.003	0.004	0.016	0.014	0.004	0.005	0.005	0.004	23.095	0.006	0.010	0.008	0.006	0.456	0.007	0.008	0.005	0.006	0.005	0.003	23.668
DA-265	0.042	0.007	0.003	23.095	0.006	0.005	0.004	0.016	0.139	0.006	0.005	0.004	0.004	0.006	0.007	0.004	0.004	0.003	0.003	0.004	23.366
DA-225	0.007	0.003	0.003	0.004	0.030	0.004	0.003	0.004	0.017	0.005	0.024	0.004	0.116	0.012	0.004	0.003	0.003	0.003	0.008	0.004	23.348
DT-45	23.095	0.004	0.003	0.005	0.003	0.003	0.003	0.004	0.003	0.003	0.003	0.003	0.003	0.003	0.003	0.003	0.003	0.005	0.137	0.004	23.289

**Table 6-2 : Promising sampling Points Based on the Sum of Probabilistic Intensity of Anomalies**

Sample No	Au	Fe	W	As	Sb	Bi	Hg	Cu	Pb	Ni	Mo	Sn	Ag	Zn	Co	Cr	V	Mn	Sr	Ba	Sum(1/P.N)
DT-90	0.002	0.005	0.004	0.007	0.009	0.005	23.095	0.007	0.005	0.004	0.00	0.030	0.006	0.012	0.008	0.005	0.005	0.005	0.006	23.231	
DA-259	0.003	0.002	0.003	23.095	0.002	0.004	0.003	0.003	0.004	0.004	0.00	0.005	0.005	0.006	0.004	0.005	0.002	0.003	0.008	0.002	23.167
DT-22	0.005	0.002	0.003	0.005	0.003	0.003	0.003	0.002	0.002	0.002	0.007	0.026	0.006	0.022	0.003	0.002	0.002	0.003	20.617	0.003	20.721
DT-116	0.003	0.005	0.029	0.002	0.002	0.272	0.005	0.010	0.003	0.003	0.002	0.004	0.005	0.002	0.003	0.007	0.008	0.019	0.044	19.941	20.369
DT-27	0.003	0.003	0.003	0.003	0.012	0.004	0.005	0.004	0.004	0.006	0.018	0.005	0.049	0.013	0.006	0.005	0.044	15.689	0.493	0.009	16.378
DT-30	0.005	0.002	0.002	0.003	0.003	0.002	0.003	0.002	0.006	0.003	0.187	0.017	0.007	1.028	0.003	0.002	0.002	0.003	13.545	0.004	14.829
DA-263	0.022	13.272	0.003	0.047	0.008	0.014	0.003	0.003	0.010	0.003	0.004	0.003	0.004	0.004	0.003	0.010	0.009	0.006	0.007	0.332	13.766
DT-107	0.017	0.007	0.066	0.008	0.007	0.005	0.008	0.048	9.973	0.036	0.004	0.012	0.019	0.021	0.018	0.040	0.032	0.013	0.003	0.006	10.343
DT-153	0.005	0.002	0.002	0.002	0.011	0.002	0.004	0.002	0.002	0.002	0.027	0.002	0.164	0.004	0.002	0.002	0.002	0.003	10.095	0.005	10.343
DT-115	0.003	0.006	0.014	0.002	0.003	0.272	0.007	0.023	0.003	0.011	0.004	0.006	0.010	0.003	0.005	0.005	0.009	0.017	0.025	8.137	8.566
DT-15	0.005	0.003	0.004	0.011	0.011	0.004	0.049	0.005	0.005	0.003	0.006	0.005	0.007	0.007	0.003	0.003	0.006	0.095	7.826	8.059	
DA-210	0.003	0.006	0.005	5.425	1.156	0.014	0.037	0.003	0.004	0.003	0.008	0.003	0.003	0.017	0.004	0.009	0.003	0.004	0.006	0.831	7.545
DQ-434	0.066	0.188	0.010	0.007	0.008	0.024	0.015	5.840	0.031	0.302	0.003	0.013	0.094	0.010	0.168	0.015	0.062	0.029	0.002	0.012	6.902
DQ-389	0.004	0.012	0.060	0.005	0.153	6.210	0.020	0.005	0.003	0.004	0.002	0.002	0.003	0.002	0.004	0.008	0.034	0.024	0.002	0.009	6.565
DT-31	0.005	0.057	0.055	0.007	0.005	6.210	0.008	0.005	0.003	0.005	0.002	0.005	0.003	0.002	0.006	0.055	0.018	0.005	0.005	0.004	6.483
DT-43	0.013	0.004	0.007	0.004	0.021	0.013	0.004	0.005	1.530	0.005	0.005	0.003	0.006	4.336	0.005	0.003	0.009	0.035	0.005	0.024	6.037
DA-178	0.003	0.005	0.013	0.005	0.004	0.006	0.003	0.002	0.006	0.002	0.003	0.004	0.002	0.002	0.004	0.005	0.003	0.012	5.353	5.440	
DA-222	0.006	0.002	0.002	0.004	0.003	0.002	0.002	0.002	0.011	0.003	0.019	0.003	0.005	5.115	0.003	0.002	0.002	0.002	0.005	0.002	5.188
DQ-439	0.005	0.006	0.011	0.323	0.005	0.005	3.826	0.003	0.018	0.004	0.008	0.008	0.139	0.010	0.004	0.004	0.004	0.003	0.007	0.002	4.392
DT-104	0.002	0.011	3.747	0.017	0.004	0.084	0.125	0.022	0.013	0.087	0.004	0.081	0.005	0.054	0.007	0.008	0.004	0.003	0.008	4.291	
DT-155	0.002	0.002	0.002	0.004	0.002	0.003	0.003	0.002	0.002	0.002	0.707	0.004	1.755	0.015	0.002	0.002	0.003	0.002	1.641	0.003	4.159
DA-197	0.005	0.004	0.003	0.009	0.003	0.003	0.005	0.006	3.526	0.006	0.007	0.014	0.006	0.455	0.004	0.004	0.003	0.002	0.003	0.002	4.070
DQ-431	0.026	0.856	0.103	0.016	0.010	0.194	0.048	0.183	1.620	0.137	0.007	0.025	0.032	0.037	0.097	0.020	0.308	0.144	0.003	0.033	3.899
DA-203	0.005	0.086	0.026	0.005	0.014	0.108	0.007	0.117	0.004	0.052	0.006	0.006	0.005	0.004	0.034	0.025	2.739	0.081	0.007	0.033	3.360
DT-158	1.566	0.005	0.003	0.003	1.422	0.002	0.014	0.003	0.018	0.002	0.091	0.005	0.008	0.007	0.003	0.004	0.003	0.002	0.004	0.007	3.171
DT-23	0.006	0.005	0.006	0.004	0.030	0.008	0.024	0.003	0.005	0.005	0.007	0.006	0.015	0.015	0.004	0.005	0.019	1.461	1.451	0.006	3.084
DT-146	0.002	0.002	0.002	0.003	0.084	0.002	0.007	0.003	0.002	0.004	0.243	0.004	0.041	0.067	0.003	0.002	0.002	0.008	0.021	2.307	2.812
DQ-299	0.005	0.005	0.010	0.005	0.003	0.005	0.012	0.010	0.024	0.009	0.005	0.006	0.033	0.005	0.006	0.013	2.519	0.067	0.003	0.012	2.754
DT-126	0.042	0.002	0.002	0.014	0.003	0.004	0.002	0.002	0.003	0.443	0.003	0.856	0.003	0.002	0.002	0.002	0.004	1.221	0.022	2.634	
DT-94	0.003	0.010	0.009	0.010	0.005	0.656	0.203	0.157	0.053	0.215	0.006	0.523	0.008	0.12	0.581	0.008	0.025	0.006	0.004	0.009	2.502
DQ-355	0.003	0.003	0.003	0.005	0.002	0.002	0.003	0.016	0.008	1.171	0.205	0.519	0.323	0.006	0.003	0.003	0.014	0.008	2.302		
DT-148	0.017	0.002	0.002	0.014	0.004	0.007	0.003	0.002	0.003	0.052	0.003	0.331	0.009	0.002	0.003	0.008	1.419	0.396	0.011	2.291	
DQ-400	0.016	1.813	0.004	0.007	0.268	0.003	0.004	0.005	0.003	0.004	0.003	0.003	0.002	0.005	0.014	0.027	0.005	0.003	0.004	2.197	
DT-334	0.013	0.014	0.006	1.223	0.006	0.009	0.069	0.007	0.021	0.010	0.042	0.672	0.022	0.014	0.009	0.003	0.024	0.003	0.008	0.002	2.176

#### ۴- محاسبه ضریب غنی شدگی بر اساس آنالیز نمونه ها

محاسبه حد آستانه ای و جداسازی مقدار زمینه از مسائلی است که راههای گوناگونی توسط محققان برای آن ارائه شده است. از ساده ترین روش های تک متغیره برای این امر استفاده از لگاریتم طبیعی اعداد است. یکی از روش های بسیار معمول در این زمینه، محاسبه ضرایب غنی شدگی به وسیله حذف اثر سنگ بالادست می باشد که در مورد آن پیشتر صحبت به میان رفت. در واقع اگر محل برداشت نمونه به زون میتلایز نزدیک باشد مسئله محاسبه غنی شدگی بخودی خود متفقی است. اما در حالت کلی ترکیبات سنگ های میزبان به همراه اثرات کانی زایی در مسیر رودخانه رسوب می کند و رسوباتی که مورد آنالیز قرار می گیرد منعکس کننده ترکیبات سنگ های منطقه ای به همراه اثرات کانی زایی می باشد. از آنجا که برای هر نمونه بیست عنصر مورد آنالیز قرار می گیرد لذا روش های تک متغیره از اعتبار کافی در مقابل روش های چند متغیره برای این سری اعداد برخوردار نمی باشند. از لحاظ علمی از آنجا که یک تعدادی از عناصر در ارتباط با ترکیبات سنگ های منطقه می باشند لذا با تغییر واحد های سنگی، مقدار تمرکز این عناصر تغییر می کند. با حذف اثرات این عناصر به صورت عام در نمونه ها، عملا می توان تاثیرات عامل های لیتولوژی را در نمونه ها حذف کرد و میزان تاثیر کانی زایی را در نمونه ها محاسبه کرد. با در نظر گرفتن روند تغییرات این عناصر در سنگ های مختلف از جمله روش های مؤثر چند متغیره جهت حذف اثر این عناصر، روش های تقلیل بعد می باشد. با توجه به واریانس زیاد این عناصر در جامعه نمونه ها، مقادیر ویژه آنها عمدتاً جزو مقادیر اول تا سوم می باشد و لذا در روش تجزیه به عامل های اصلی<sup>۱</sup> اثرات این عناصر در فاکتور های اول تا سوم ظهور پیدا می کند و با حذف اثر این سه فاکتور در کل جامعه نمونه برداری شده آنچه باقی می ماند، میزان غنی شدگی نسبت به هر عنصر می باشد و اثر لیتولوژی در بین نمونه ها حذف می گردد.<sup>۲</sup>

این عمل برای نمونه های برداشته شده در برگه ۱:۱۰۰،۰۰۰ دامغان انجام گرفته است. برای این منظور با توجه به روش تجزیه به عامل های اصلی (PCA) داده های خام نرمال شده و سعی گردیده که جامعه ای تا حد امکان نرمال جهت آنالیز آماده شود. سپس جامعه نرمال توسط نرم افزار SPSS مورد آنالیز PCA قرار گرفت. جهت حذف اثر بعد از ماتریس همبستگی جهت تعیین ضرایب استفاده گردیده است و تعداد فاکتور ها به اندازه تعداد عناصر تعیین گردیده است. بدین ترتیب عناصری که بیشترین واریانس را داشته باشند در فاکتور های ابتدایی تاثیرات خود را

1- Principle Component Analysis  
2- Computer & Geosciences Vol 21 .Nol pp 1995

نشان می دهد. با اعمال ضرایب بدست آمده در اعداد خام و محاسبه ماتریس عوامل، تابع آنالیز PCA بدست می آید. مرحله بعدی حذف اثر فاکتورهای لیتوژیکی می باشد برای این هدف لازم است که فاکتور های اول تا پنجم با روش تخمین شبکه ای بصورت نقشه نمایش داده شوند تا مشخص شود کدام فاکتورها می توانند در مجموع تغییرات سنگ های منطقه را نمایش دهند. بعبارت دیگر با رسم فاکتورهای مختلف، سعی در شیوه سازی نقشه زمین شناسی منطقه می شود و بدین ترتیب، فاکتورهایی که در ارتباط با ترکیبات سنگ های منطقه می باشند شناسایی می شود. مرحله آخر حذف اثر فاکتورهای مشخص شده به عنوان عامل های لیتوژیکی از کل جامعه می باشد. برای این منظور عکس ترانهاده ماتریس ضرایب محاسبه شده و فاکتورهای لیتوژیکی در آن بصورت سطرهای مشخص حذف می گردد. همچنین این فاکتورها باید از ستون های ماتریس عامل ها نیز حذف گردد. با ضرب ماتریس عامل هایی که ستون های ماتریس حاصل می شود که تعداد ستون های آن به تعداد عناصر مورد آنالیز بوده و تعداد سطرهای آن، برابر تعداد نمونه ها می باشد. این ماتریس که ماتریس نهایی می باشد، نشانگر میزان غنی شدگی نمونه ها نسبت به عناصر بوده و در آن اثر عامل های لیتوژیکی حذف شده است. لذا برای تعیین میزان غنی شدگی نمونه ها، اثر فاکتورهای لیتوژیکی حذف گردیده است. و برای تمامی عناصر، ضرایب نهایی رسم و مقادیر بالای ۹۹ درصد آنها به روی یکدیگر منطبق گردیده و به عنوان یکی از نقشه های نهایی جهت کنترل ناهنجاری های زئوژیمیایی مورد استفاده قرار گرفته است. نقشه توزیع ضرایب غنی شدگی به روش PCA این آنالیز را نشان می دهد.

##### ۵- معرفی متغیرهای نک عنصری و چند عنصری و رسم نقشه ها

متغیرهای نک عنصری و چند عنصری که بتواند پتانسیل های کانساری را در این منطقه به طور مناسب تری منعکس نمایند. از طریق بکارگیری روش آنالیز فاکتوری و رسم موقعیت متغیرها در مختصات فاکتوری معرفی می شوند. در چنین مختصاتی، متغیرهایی که بار فاکتورهای آنها نزدیک به صفر می باشد بی اهمیت بوده و هر چه فاصله آنها از مبدا مختصات ( $F_j = 0$  ,  $F_i = 0$ ) بیشتر باشد، پتانسیل عنصر از نظر کانی سازی می تواند با اهمیت تلقی شود. البته این امر پس از ختی سازی مولفه های سنتزنتیک(بطور عام) از طریق اثر دادن سنگ بالا دست، صادق است. در این صورت چنانچه مجموعه ای از متغیرها در امتداد معینی از مبدا دور شده باشند، می توانند به عنوان متغیرهایی که ارتباط پاراژنزی با یکدیگر دارند، به حساب آیند. بنابراین با استفاده از این روش می توان با تغییر محورهای مختصات(فاکتورهای

مختلف) موقعیت عناصر را واضح تر مورد مطالعه قرار داد. در مطالعه حاضر، یک مدل پنج فاکتوری می توانسته است بیشتر از ۹۵٪ از تغییرپذیری را توجیه کند.

اشکال ۱-۶ تا ۱۳-۶ وضعیت متغیرهای مختلف را در مختصات‌های مختلف معرفی می‌کند. مطالعه این اشکال معرف آن است که:

۱- عناصری که به طور نسبی امتیازات فاکتوری قابل ملاحظه‌ای از خود نشان می دهند عبارتند از: Ag, Sr, Mo. بقیه عناصر نسبت به عناصر فوق دارای امتیازات کمتری هستند که دلیل آن را می‌توان در پیچیدگی زمین‌شناسی این برگ و عدم حذف اثر فاکتورهای لیتلولژیکی، در نمونه‌ها دانست. در ضمن آنومالیهای S<sub>2</sub> می‌تواند بر اثر وجود لایه‌های گچ در منطقه ایجاد شده باشد.

۲- فاکتور دوم عمدتاً معرف آنومالی‌های Mo می‌باشد.

۳- فاکتور سوم عمدتاً نشانگر Sb,Ag می‌باشد بقیه عناصر در این فاکتور امتیازهای نزدیک به یکدیگر پیدا کرده‌اند. و فاکتور چهارم نسبت به عناصر Sn, Ni مقادیر حدی نشان می‌دهد و در فاکتور پنجم نیز عناصر Cr,Mo مقادیر حدی را از خود نشان می‌دهند.

۴- در اکثر فاکتورها Ag,Sb خود را جدا کرده‌اند و لذا با توجه به واحدهای منطقه، می‌توان آنومالی‌های این عناصر را با اهمیت و در خور توجه معرفی کرد.

۵- قدر مسلم فاکتورهای او ۲ عمدتاً متأثر از تداخل‌های لیتلولژیکی می‌باشد در جدول ۳-۶ نمونه‌های پرپتانسیل تعیین شده به روش آنالیز تطبیقی بر اساس امتیازات فاکتوری محاسبه شده ارائه شده است. در این جدول بر اساس فاصله اقلیدسی محاسبه شده در فضای پنج فاکتوری، ۱۵ نمونه که کمترین فاصله را نسبت به هر متغیر داشته‌اند به عنوان پرپتانسیل‌ترین نمونه معرفی شده‌اند. علاوه بر نتایج فوق مقدار  $\frac{1}{PN}$  و  $Ei$  متناظر هر نمونه و همچنین مقدار مجموع  $\frac{1}{PN}$  به همراه پارامترهای مشاهده شده در محل هر نمونه ارائه شده است.

## ۶- ترسیم نقشه‌ها

به منظور انجام فاز کنترل آنومالی‌ها اقدام به تهیه نقشه‌تک متغیره توزیع کلیه متغیرهای ژئوشیمیابی با استفاده از روش تخمین شبکه‌ای شده است. برای این منظور علاوه بر توزیع داده‌های خام، توزیع ضرایب غنی‌شدگی بر اساس حذف اثر سنگ بالادست بصورت کلی و با جدا سازی و توزیع ضرایب غنی‌شدگی بر اساس عناصر معرف لیتلولژی (PCA)، محاسبه احتمال رخداد هر نمونه و آنالیز ویژگی فاکتورهای نمونه‌ها رسم شده و برای هر کدام کلیه مناطق پرپتانسیل که معادل یک درصد بالای فراوانی هر متغیر بوده است در یک نقشه کنار

یکدیگر قرار گرفته‌اند. تا پرپتانسیل‌ترین مناطق بر اساس داده‌های شاخص غنی‌شدگی و غنی‌شدگی بر اساس PCA تک نک متغیرها بدست آید.

علاوه بر نقشه فوق، از دو نقشه دیگر در فاز کنترل آنومالی‌ها استفاده گردیده است. نقشه اول مربوط به مجموع مقادیر  $\frac{1}{PN}$  محاسبه شده برای هر نمونه می‌باشد و نقشه دوم مربوط به نتایج آنالیز ویژگی امتیازات فاکتوری بدست آمده برای هر نمونه است.

در اشکال ۱۴-۶ الی ۱۸-۶ نقشه‌های به کار رفته در فاز کنترل آنومالی مشاهده می‌گردد که هر یک بر اساس ۱٪ بالای عناصر در هر روش می‌باشند.

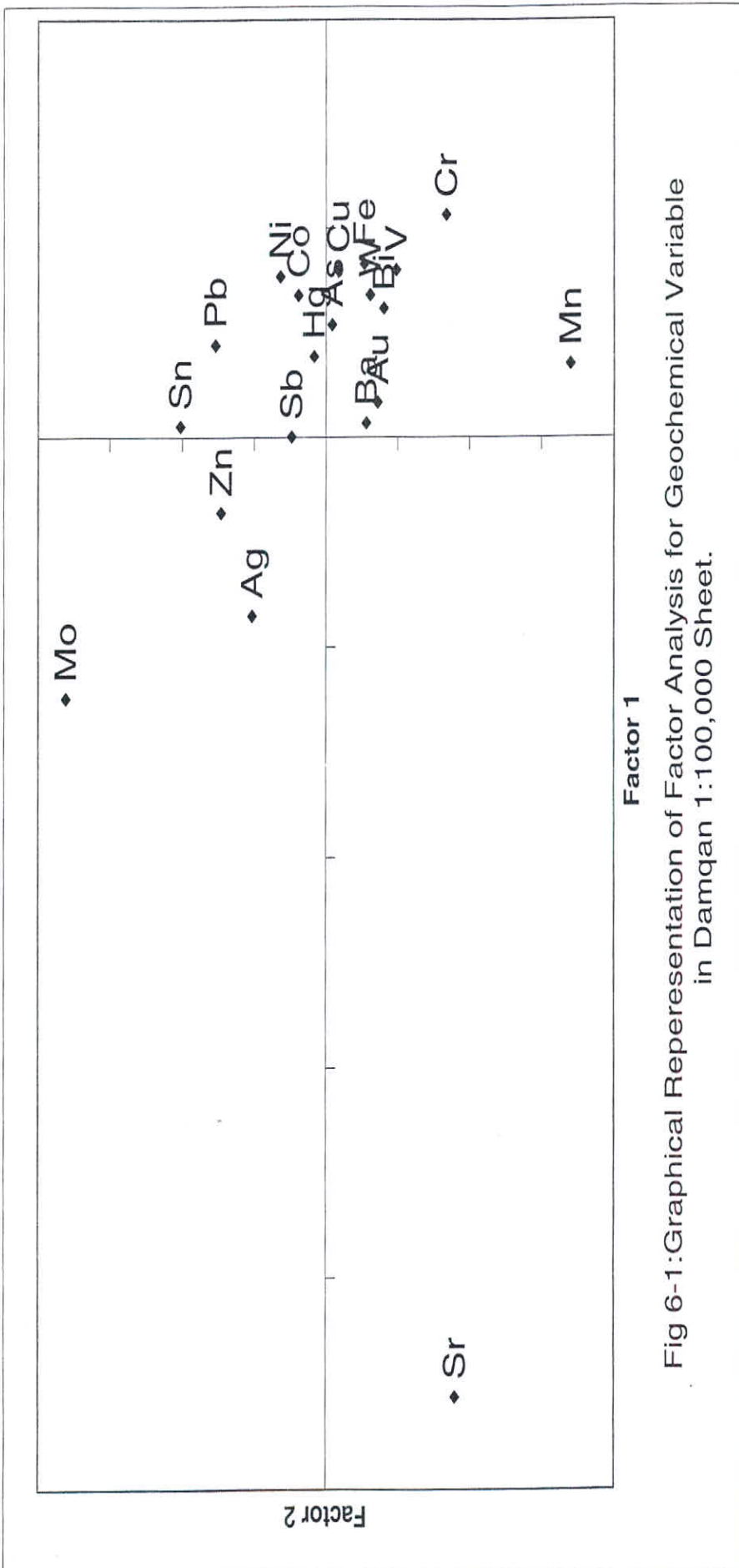


Fig 6-1: Graphical Representation of Factor Analysis for Geochemical Variable in Damqan 1:100,000 Sheet.

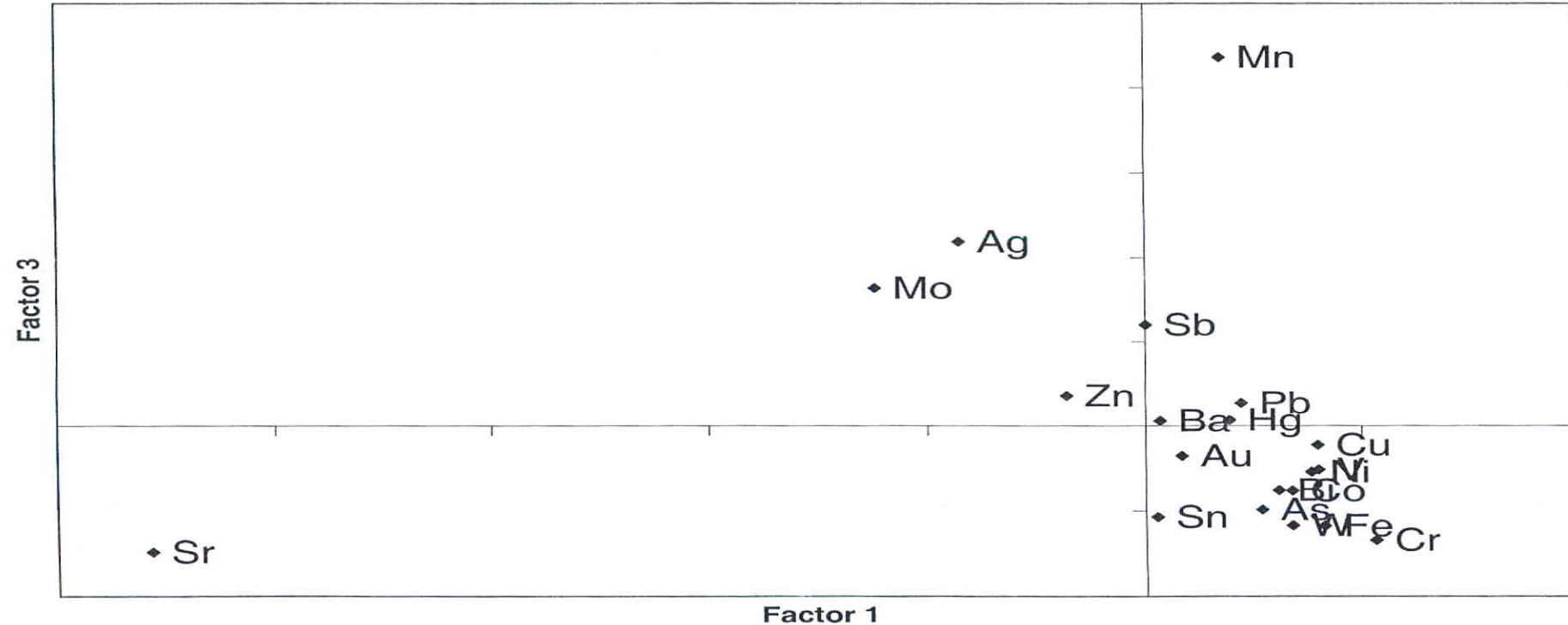
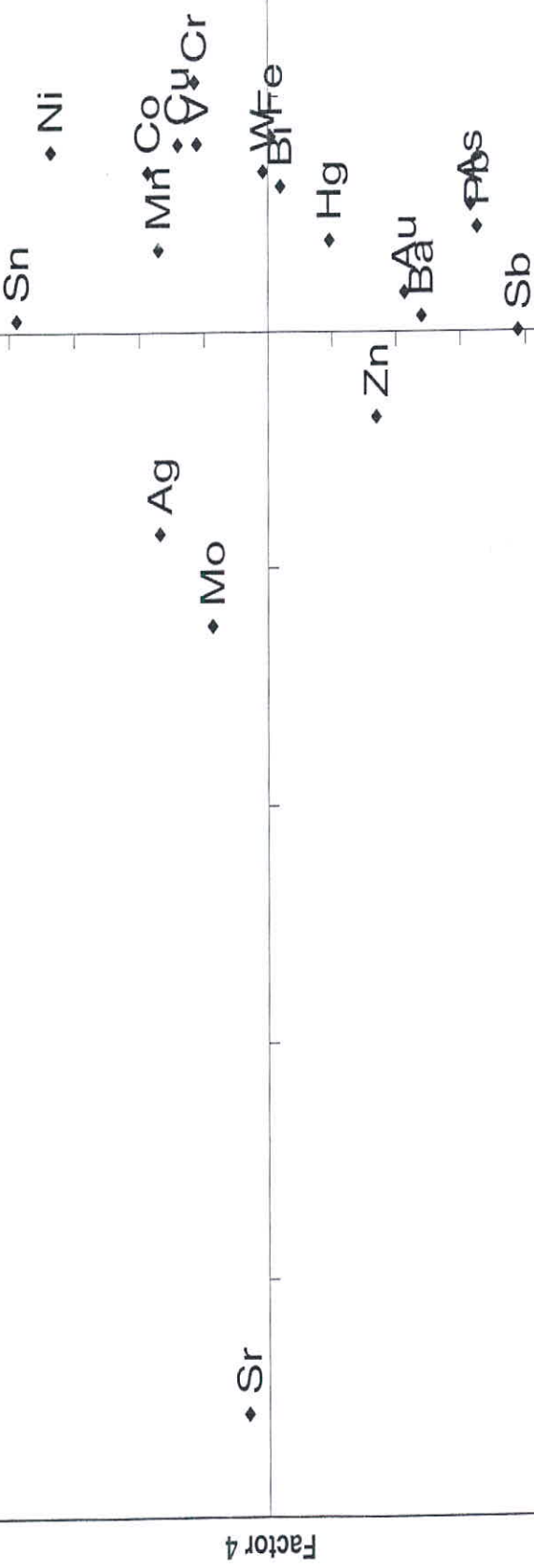
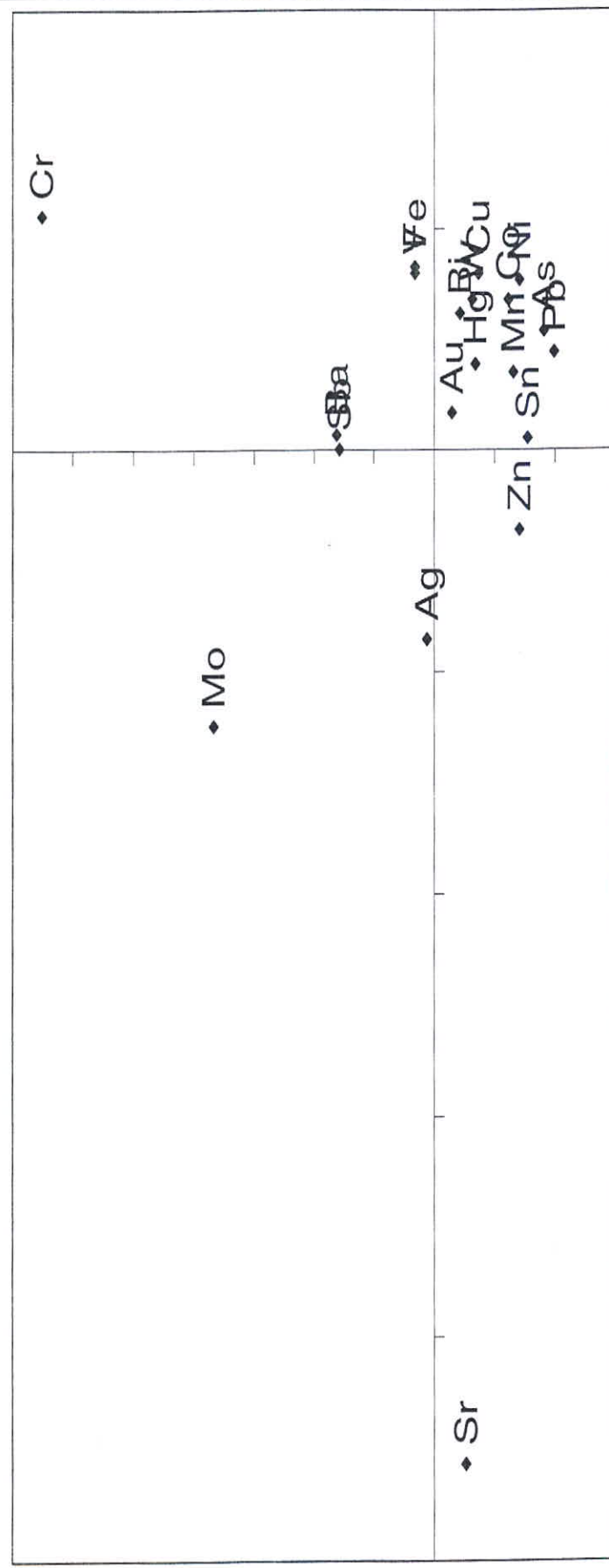


Fig 6-2 :Graphical Representation of Factor Analysis for Geochemical Variable in Damqan 1:100,000 Sheet.



Factor 1

Fig 6-3 :Graphical Representation of Factor Analysis for Geochemical Variable in Damqan 1:100,000 Sheet.



**Factor 1**

Fig 6-4 :Graphical Representation of Factor Analysis for Geochemical Variable in Damqan 1:100,000 Sheet.

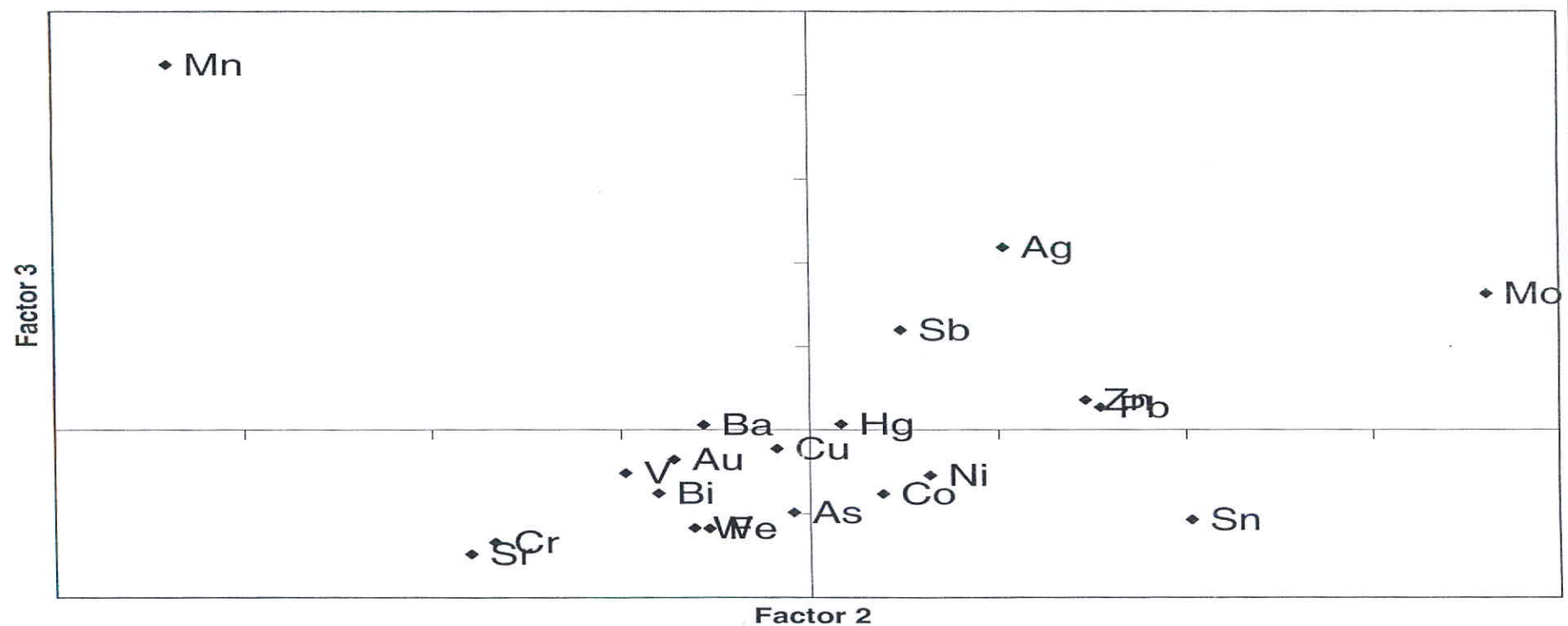


Fig 6-5 :Graphical Representation of Factor Analysis for Geochemical Variable in Damqan 1:100,000 Sheet.

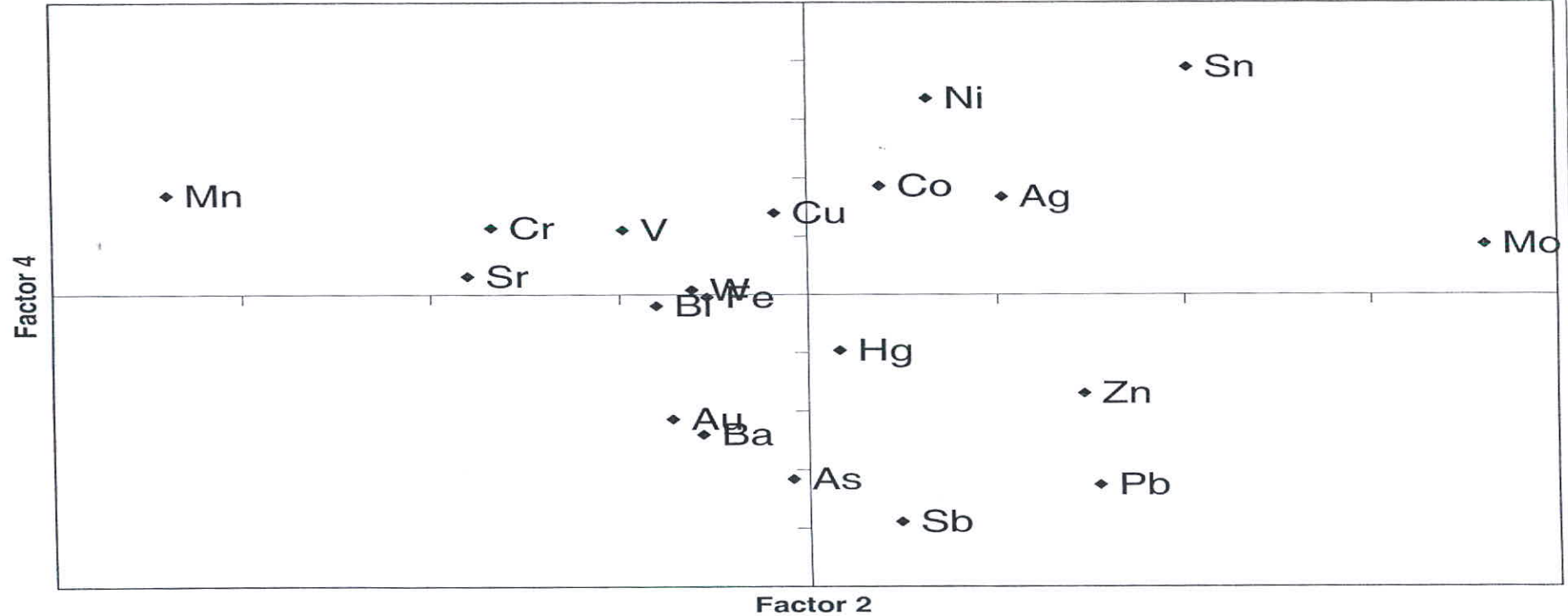


Fig 6-6 :Graphical Reperesentation of Factor Analysis for Geochemical Variable in Damqan 1:100,000 Sheet.

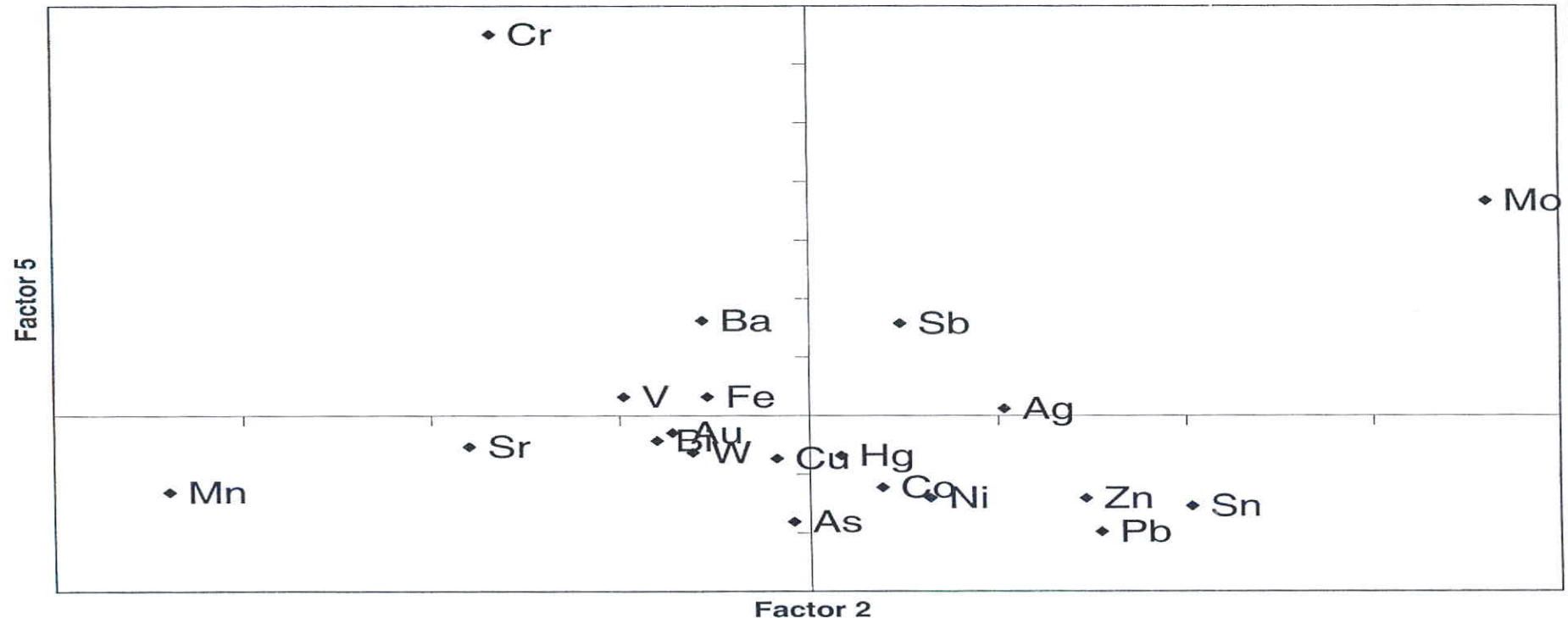


Fig 6-7 :Graphical Representation of Factor Analysis for Geochemical Variable in Damqan 1:100,000 Sheet.

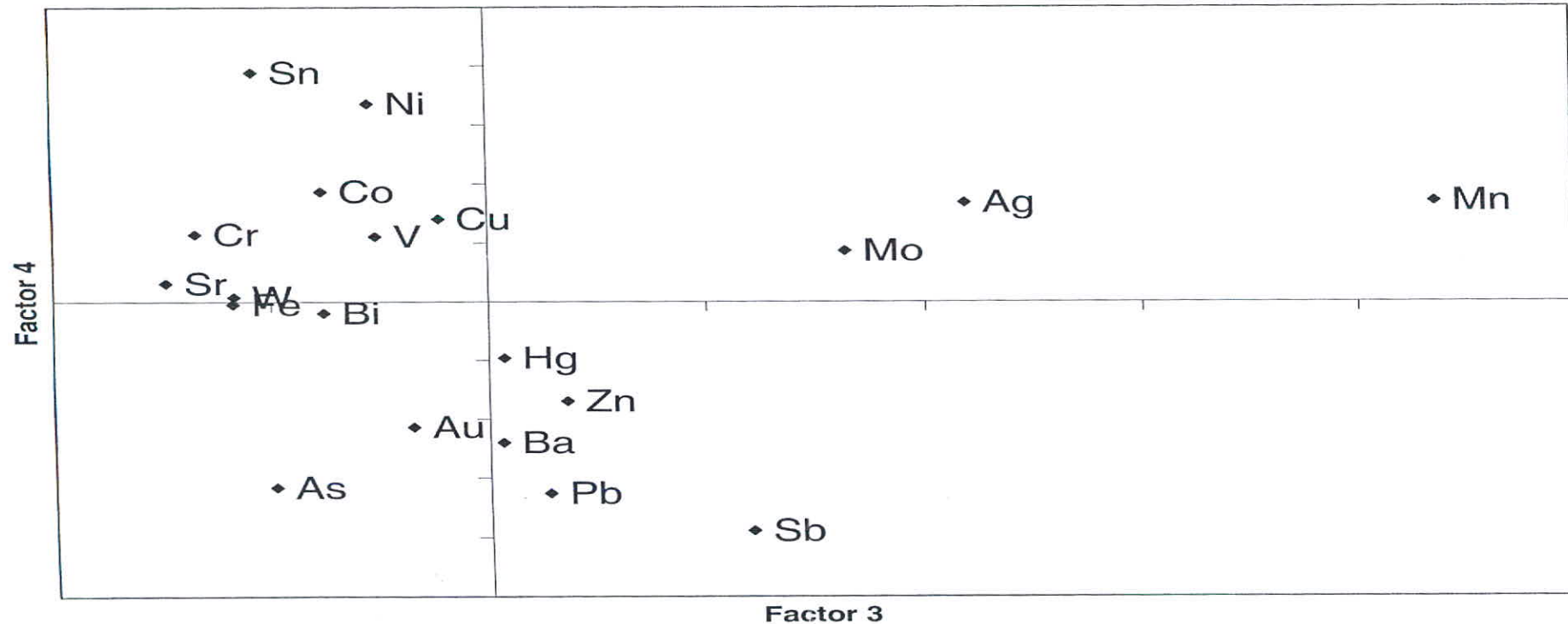


Fig 6-8 :Graphical Representation of Factor Analysis for Geochemical Variable in Damqan 1:100,000 Sheet.

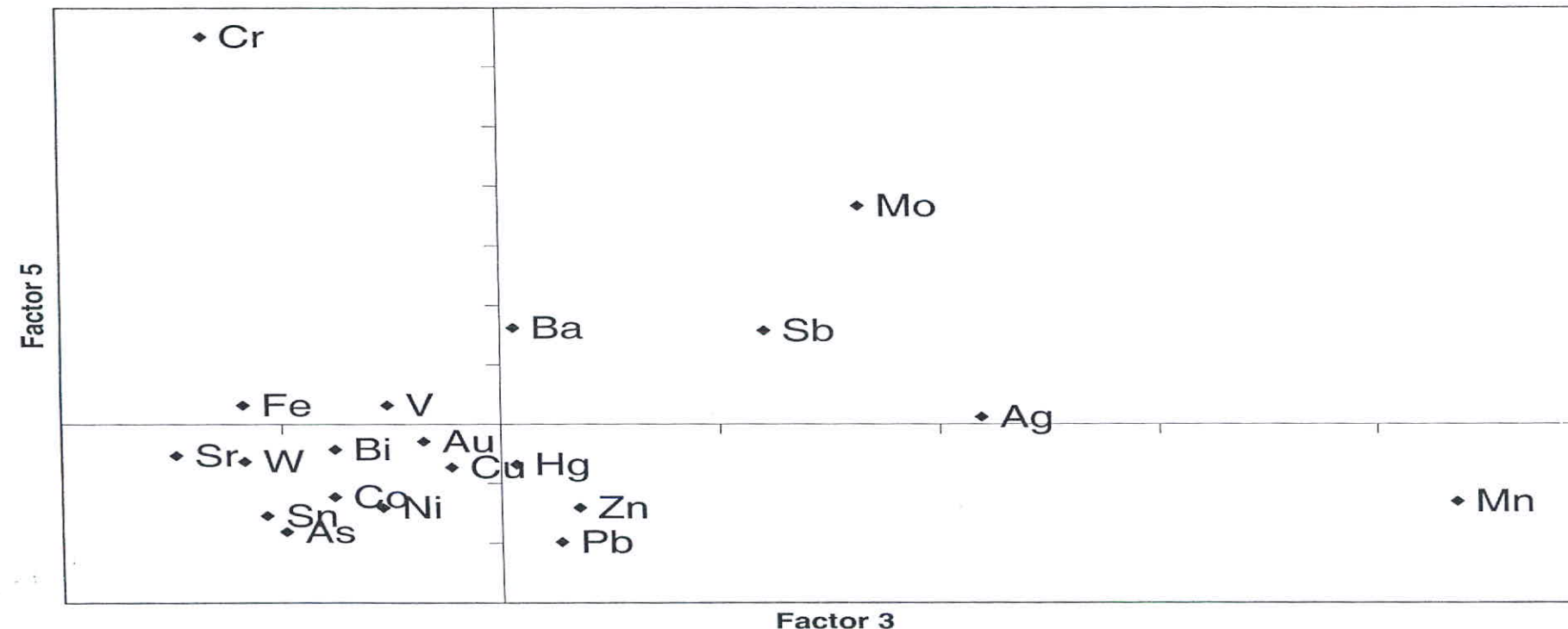
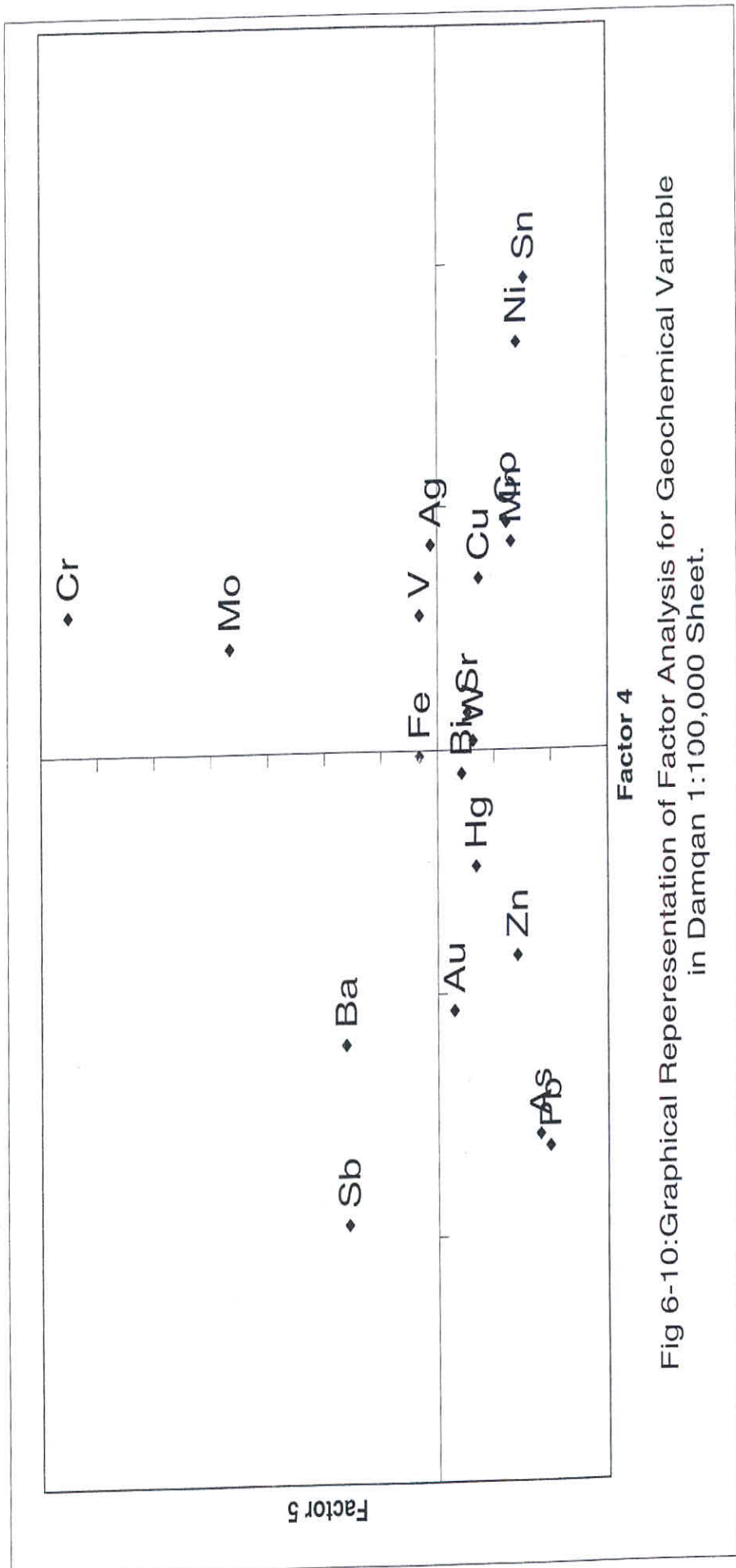
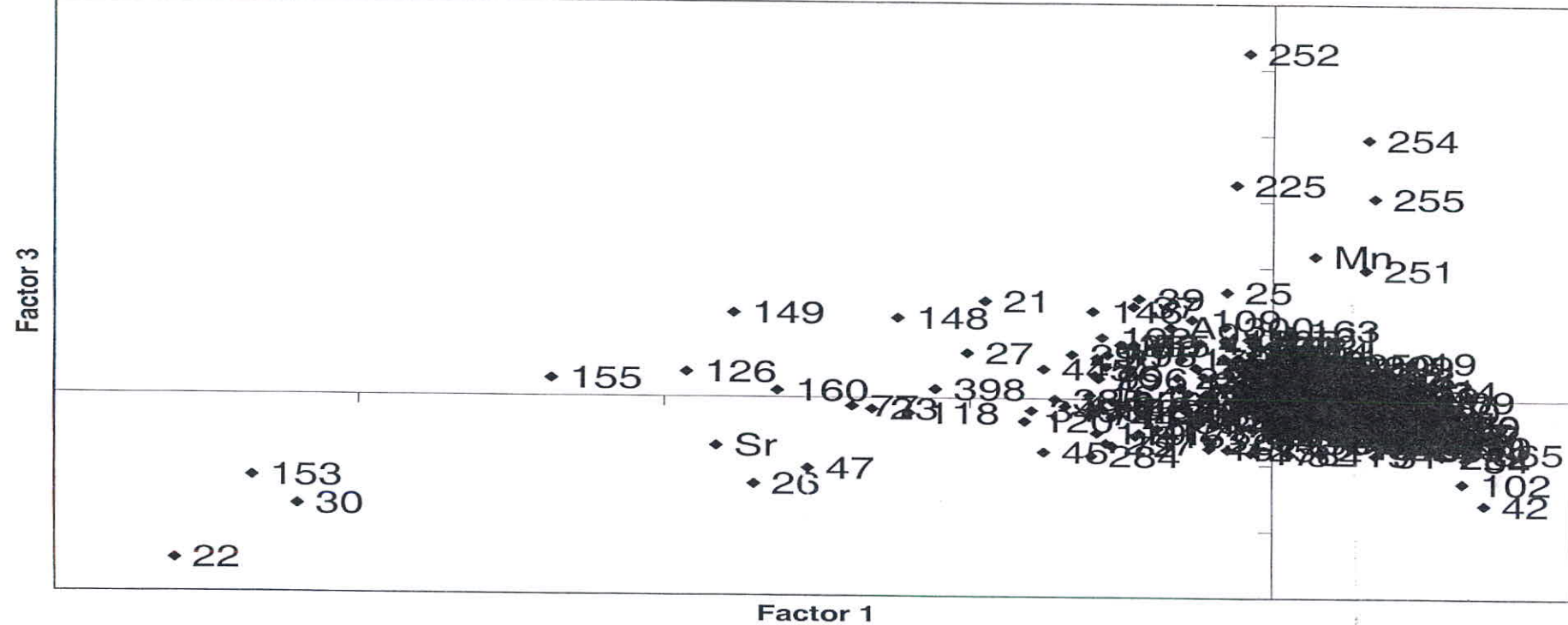


Fig 6-9 :Graphical Representation of Factor Analysis for Geochemical Variable  
in Damqan 1:100,000 Sheet.



Factor 4

Fig 6-10: Graphical Representation of Factor Analysis for Geochemical Variable in Damqan 1:100,000 Sheet.



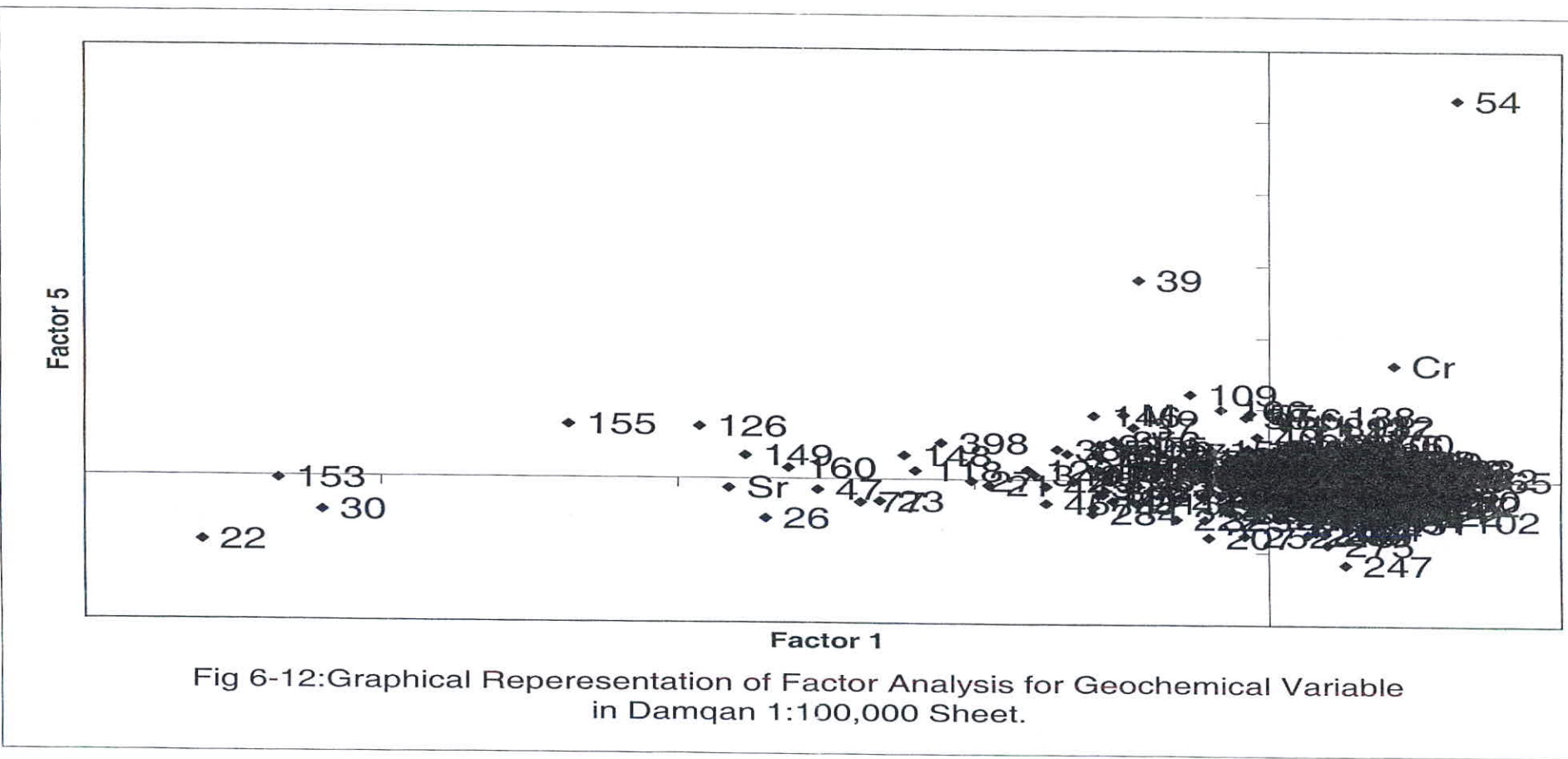


Fig 6-12: Graphical Representation of Factor Analysis for Geochemical Variable in Damqan 1:100,000 Sheet.

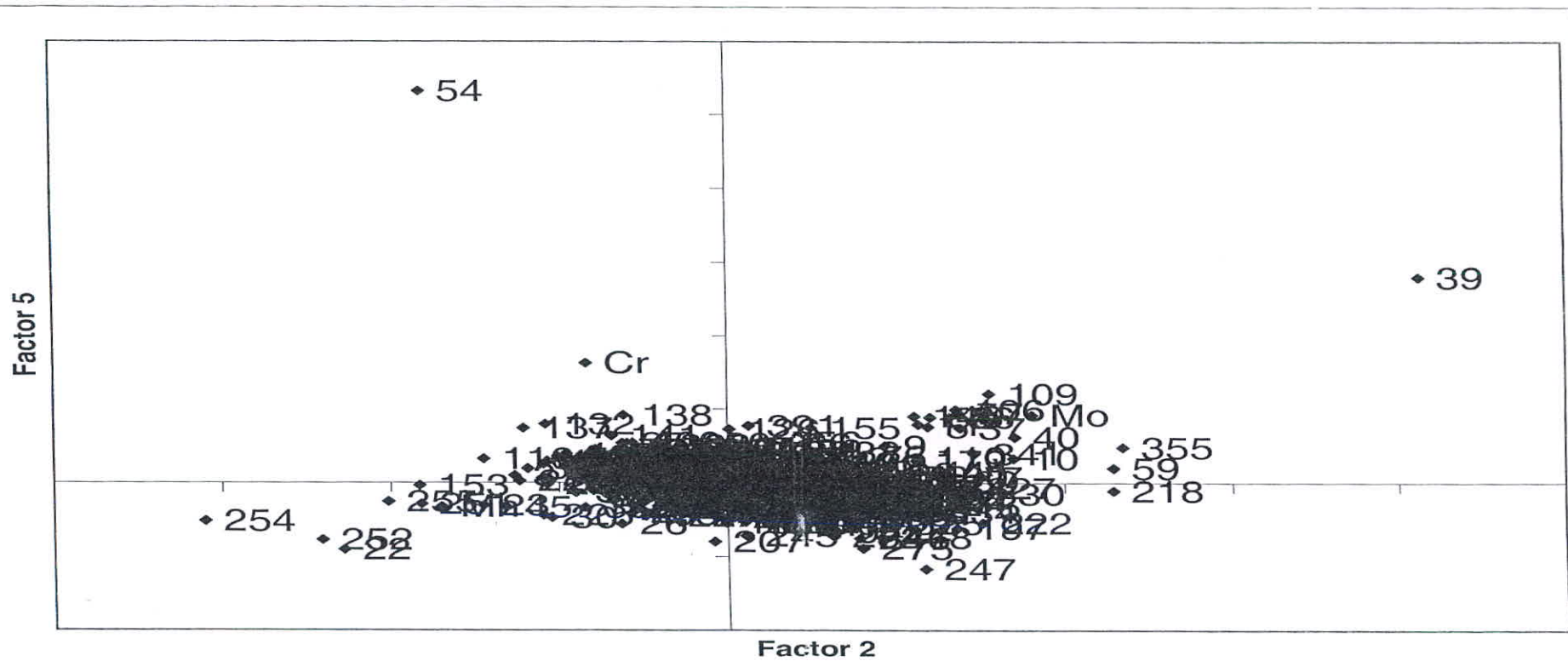


Fig 6-13: Graphical Representation of Factor Analysis for Geochemical Variable in Damqan 1:100,000 Sheet.

Table 6-3 :Comparision Between Anomalus Samples Obtained From Two Methods

Factor Element	Anomaly	El	1/PN	Sum(1/PN)	Paragenesis
Au					
DT-128		1.6			
DQ-401		1.7			
DT-147		1.8			
DQ-306	Au(1)	2.2	1.5	1.7	Au-Sn
DA-177	Au(2)	1.9			Au
DQ-423	Au(1)	2.0			
DA-250	Au(2)	1.9			
DQ-435		1.3			
DT-444		1.6			
DT-81		1.4			
DA-235		1.6			W
DT-56		1.4			
DQ-369		1.4			
DQ-382		1.4			
DQ-386		1.2			
Fe					
DA-216		1.3			
DA-212	Fe(1)	1.5			Ba-Hg-As-Sb-Fe-V
DA-217	Fe(1)	1.7			
DQ-393		1.3			
DT-63		1.2			
DQ-314		1.2			
DQ-329		1.3			
DT-28		1.1			
DQ-383		1.2			
DQ-363		1.3			
DT-53		1.3			
DT-154	Fe(2)	1.2			
DT-81		1.1			
DT-62	Fe(1)	1.4			Fe-Ni-Cr
DQ-409		1.5			
W					
DT-1	W(1)	1.6			
DT-2		1.4			
DQ-386		1.3			
DQ-383		1.4			
DT-28		1.2			
DT-103		1.4			
DQ-382		1.5			
DQ-384		1.3			
DA-235	W(2)	1.5			W
DT-53		1.4			
DT-89	W(1)	1.3			Hg-Ni-Bi-Co-Sn-V
DQ-363		1.5			
DT-78		1.4			Cr
DQ-388	W(1)	1.5			
DQ-422		1.6			

Table 6-3 :Comparision Between Anomalus Samples Obtained From Two Methods

Factor Element	Anomaly	EI	1/PN	Sum(1/PN)	Paragenesis
As					
DA-265		2.3	23.1	23.4	
DT-129		1.7	1.1	1.5	
DQ-327	As(1)	1.5			
DQ-396		1.4			
DA-249		2.2	23.1	46.3	Zn-As-Au-Mn-Ag-Hg-Pb
DD-171		1.7			Bi
DQ-314	As(2)	1.5			
DQ-386		1.2			
DA-235	As(2)	1.5			W
DT-2		1.3			
DQ-293		1.3			
DQ-388		1.4			
DT-1		1.4			
DA-187		1.2			
DQ-435		1.2			
Sb					
DA-191	Sb(2)	2.3	1.2	1.3	Ba-Hg-As-Sb-Fe
DQ-391		2.1			Cr
DQ-342	Sb(1)	3.0	21.9	24.9	
DT-157	Sb(2)	2.3		1.1	
DT-34		1.7			
DQ-394		1.5			
DD-173		1.7			
DA-179		2.0			Hg
DA-210	Sb(1)	2.3	1.2	7.5	Ba-Hg-As-Sb-Fe
DA-264		1.5			
DA-190		1.9			
DT-18		1.5			
DT-106		2.4	1.7	2.0	
DA-175		2.0			
DT-460		3.6	23.1	47.1	
Bi					
DT-28		1.4			
DT-89	Bi(2)	1.3			Hg-Ni-Bi-Co-Sn-V
DQ-393		1.3			
DQ-314		1.4			
DT-129	Bi(2)	1.6		1.5	
DT-154	Bi(1)	1.5			
DT-81		1.2			
DQ-329		1.4			
DQ-381	Bi(1)	1.4			
DT-31	Bi(1)	1.9	6.2	6.5	Sr
DQ-386		1.1			
DQ-383		1.2			
DQ-409		1.3			
DA-235		1.4			W
DT-1		1.3			

Table 6-3 :Comparision Between Anomalus Samples Obtained From Two Methods

Factor Element	Anomaly	EI	1/PN	Sum(1/PN)	Paragenesis
Hg					
DT-90	Hg(1)	3.1	23.1	23.2	Co-Cu-Ni-V
DQ-296	Hg(2)	1.9			
DT-18		1.7			
DT-91	Hg(2)	1.9			
DA-180		1.6			
DT-75	Hg(1)	1.6			Ba
DD-173		1.5			
DD-166		1.4			
DA-194		1.5			
DA-235		1.6			W
DT-93		1.5			
DQ-329		1.6			
DT-53		1.7			
DT-46		1.6			
DT-50		1.7			Bi
Cu					
DT-4	CU(1)	1.5			
DQ-384		1.4			
DQ-329		1.6			
DQ-383		1.5			
DT-143		2.0			
DQ-381	CU(i)	1.6			
DT-92	CU(1)	1.5			Co-Ni-W
DQ-434		2.3	5.8	6.9	Cu
DA-180	CU(2)	1.6			
DT-95	CU(2)	1.6			
DQ-316		1.4			
DQ-431		1.8		3.9	Fe
DQ-294		1.8			
DT-99		1.3			
DT-97	CU(1)	1.8		1.6	Co-Cu-Ni-V-Hg
Pb					
DA-248	Pb(1)	3.5	23.1	36.8	Zn-As-Au-Mn-Ag-Hg-Pb
DA-258	Pb(2)	2.6	23.1	23.7	As-Hg-Mn-Pb-Sb-Zn-V
DA-197	Pb(1)	2.1	3.5	4.1	Pb-Zn
DT-107		2.2	10.0	10.3	
DQ-291		2.0	1.1	1.3	
DA-246	Pb(1)	4.1	23.1	46.3	Zn-As-Au-Mn-Ag-Hg-Pb
DA-249	Pb(2)	2.3	23.1	46.3	Zn-As-Au-Mn-Ag-Hg-Pb
DT-43		2.0	1.5	6.0	
DA-276		1.6			
DA-247	Pb(1)	6.2	23.1	49.4	Zn-As-Au-Mn-Ag-Hg-Pb
DA-177		1.8			Au
DQ-431		2.0	1.6	3.9	Fe
DA-234		2.0		47.3	
DT-87		1.3			
DT-131		1.3			

Table 6-3 :Comparision Between Anomalus Samples Obtained From Two Methods

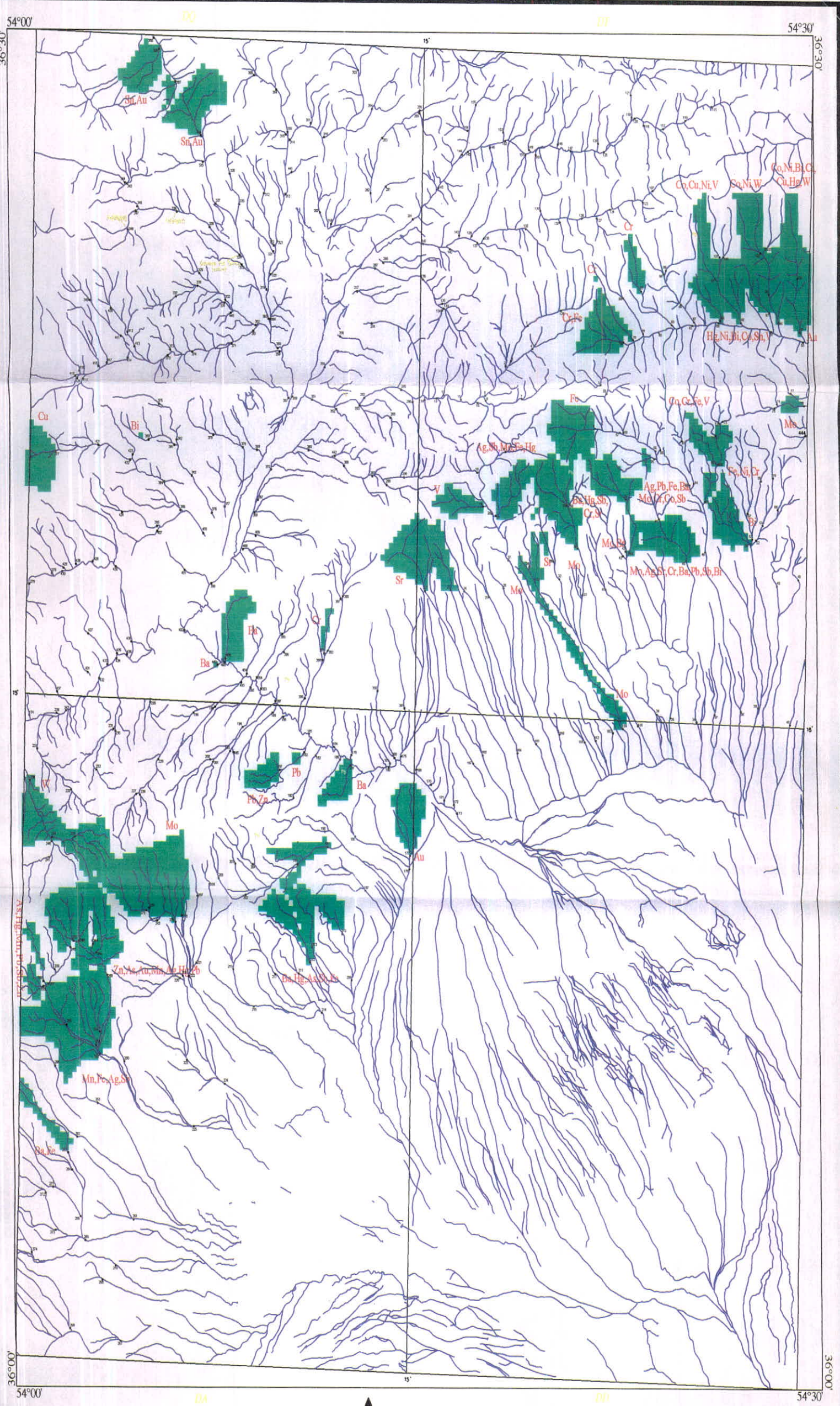
Factor Element	Anomaly	EI	1/PN	Sum(1/PN)	Paragenesis
Ni					
DT-97	Ni(1)	2.5		1.6	Co-Cu-Ni-V-Hg
DT-95	Ni(1)	2.2			
DT-96	Ni(1)	2.4		1.5	Co-Ni-W
DT-55	Ni(1)	2.4		1.7	
DT-143		2.0			
DT-103		1.7			
DT-67		1.8			
DT-82		1.3			
DT-99		1.7			
DT-80		1.5			
DT-63		1.5			
DT-100		1.6			
DT-78		1.7			Cr
DT-150		2.4		1.9	Mo
DT-94	Ni(2)	2.2		2.5	Co-Ni-Bi-Cr-Cu-Hg-W
Mo					
DT-37		2.8			Mo
DQ-355		3.4	1.2	2.3	Mo
DT-10	Mo(1)	2.5			
DT-7	Mo(2)	2.4			
DA-196		2.1			
DT-78	Mo(1)	2.4			Mo
DT-60	Mo(2)	2.3			
DQ-330		2.6			
DT-157	Mo(2)	2.3		1.1	
DA-179		2.3			Hg
DT-106		2.4		2.0	
DD-164		1.9			
DT-146		2.7		2.8	Ba
DQ-428		1.8			
DQ-341		2.0			
Sn					
DQ-353	Sn(2)	2.3			
DQ-427	Sn(1)	2.9	1.1	1.3	
DQ-324		2.1			
DQ-334	Sn(1)	2.7		2.2	
DT-100		2.0			
DQ-325	Sn(2)	2.4			
DQ-305		2.2			
DQ-352		1.8			
DQ-335	Sn(1)	2.3			
DQ-373		1.7			
DQ-336		1.8			
DT-94	Sn(2)	2.6		2.5	Co-Ni-Bi-Cr-Cu-Hg-W
DT-51		1.9			
DT-60	Sn(2)	2.3			
DQ-372		2.1		1.2	

Table 6-3 :Comparision Between Anomalus Samples Obtained From Two Methods

Factor Element	Anomaly	EI	1/PN	Sum(1/PN)	Paragenesis
Cr					
DT-66	Cr(1)	2.2	23.1	24.2	
DQ-282	Cr(1)	1.8		1.2	
DT-62	Cr(2)	1.7			Fe-Ni-Cr
DQ-283	Cr(1)	1.7		1.0	
DT-79	Cr(2)	1.7			Cr-Fe
DT-144		1.5			
DA-236		1.7		1.7	
DT-154	Cr(2)	1.4			
DQ-396		1.3			
DQ-390		1.3			
DT-49		1.5			
DQ-391	Cr(1)	1.5			Cr
DQ-314		1.3			
DT-31		1.5		6.5	Sr
DT-78		1.4			Cr
V					
DA-203		1.9	2.7	3.4	
DA-212		1.5			Ba-Hg-As-Sb-Fe-V
DT-6	V(1)	1.6			Fe
DA-216		1.2			
DQ-329		1.4			
DQ-409		1.3			
DT-154	V(1)	1.4			
DT-19	V(1)	2.7	23.1	37.7	V
DT-63		1.4			
DQ-393		1.2			
DQ-299		1.9	2.5	2.8	
DQ-383		1.3			
DQ-314		1.4			
DT-62	V(2)	1.5			Fe-Ni-Cr
DQ-363		1.6			
Mn					
DA-255	Mn(1)	6.9	23.1	56.8	Mn-Fe-Ag-Sb-V-Cu-Au
DA-225	Mn(1)	4.9	23.1	23.3	
DA-251	Mn(1)	4.0	23.1	24.1	Mn-Fe-Ag-Sb-V-Cu-Au
DA-254	Mn(1)	9.7	23.1	47.6	Mn-Fe-Ag-Sb-V-Cu-Au
DT-25	Mn(1)	3.5	23.1	47.1	
DD-163		2.1			
DA-252		11.2	23.1	46.8	Mn-Fe-Ag-Sb-V-Cu-Au
DD-161		1.8			
DA-260	Mn(2)	1.8			
DD-162		1.7			
DT-19	Mn(2)	2.5	13.9	37.7	V
DD-167		1.7			
DA-250		1.8			
DQ-311		1.6			
DD-168		1.5			

Table 6-3 :Comparision Between Anomalus Samples Obtained From Two Methods

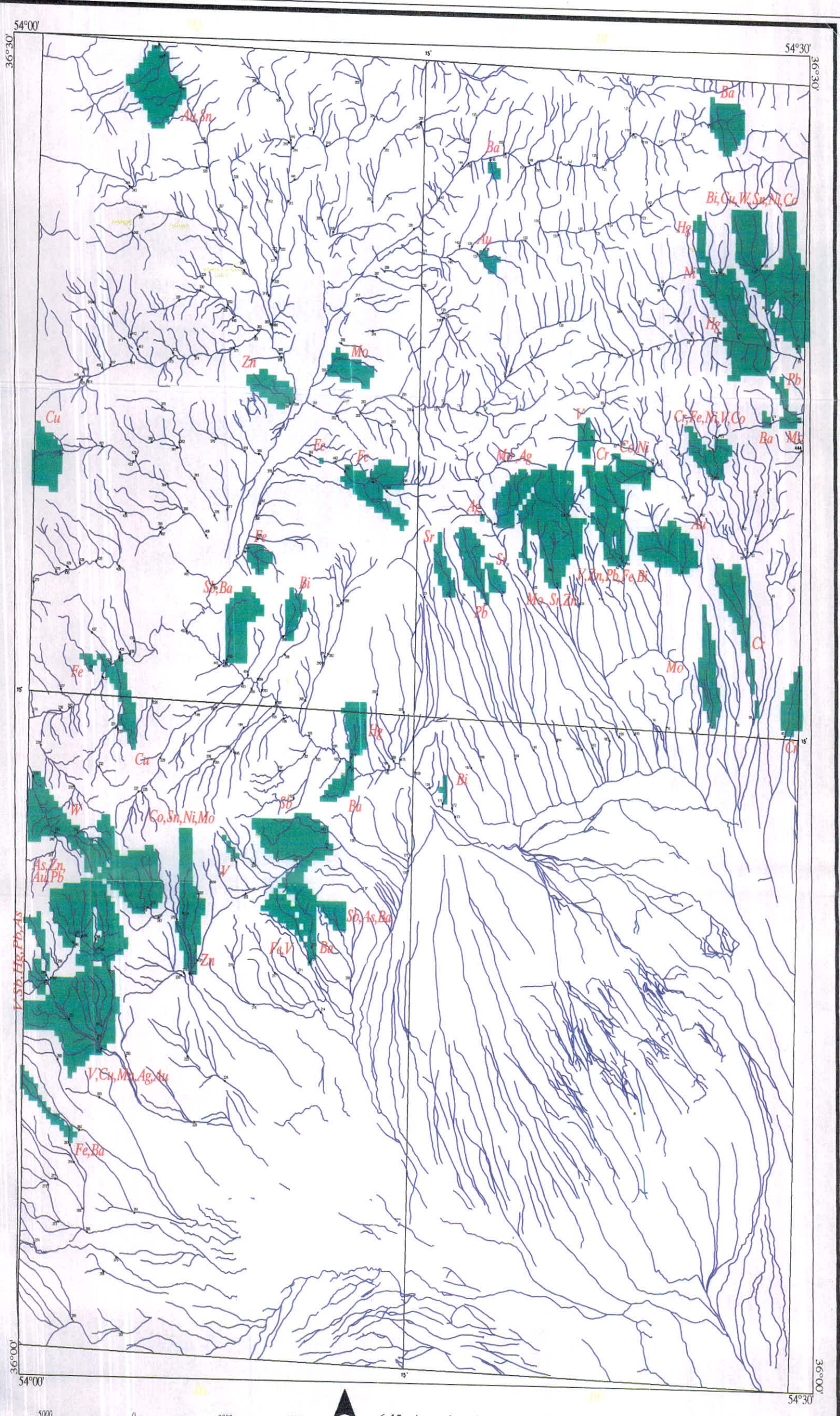
Factor Element	Anomaly	EI	1/PN	Sum(1/PN)	Paragenesis
Sr					
DD-160		5.5		1.2	
DT-23	Sr(1)	6.4	1.5	3.1	
DT-126		6.1	1.2	2.6	
DT-155		6.6	1.6	4.2	
DT-149		6.8	1.8	27.9	
DT-30	Sr(1)	12.9	13.5	14.8	Ba-Hg-Sb-Cr-Sr
DT-153	Sr(2)	11.7	10.1	10.3	
DT-27		4.6		16.4	
DT-148		4.4		2.3	
DT-21		4.8		39.7	Ag-Sb-Mo-Fe-Hg
DT-29	Sr(2)	3.4		2.0	Sr
DA-257		3.0			
DT-74		2.6			
DT-22	Sr(1)	15.0	20.6	20.7	
DQ-348		2.9			
Ba					
DQ-405	Ba(1)	3.0	23.1	23.9	
DA-213	Ba(1)	2.2	1.1	1.4	Ba-Hg-As-Sb-Fe
DT-115		2.7	8.1	8.6	Ba
DA-264		1.6			
DA-187	Ba(2)	1.5			
DA-188	Ba(2)	1.6			
DQ-310		1.9			
DT-14		1.6			
DT-3		1.6			
DQ-303		1.4			
DQ-311		1.4			
DA-263	Ba(1)	2.0		13.8	Ba-Fe
DQ-369		1.3			
DT-18		1.3			
DT-44	Ba(1)	1.6			Mo-Ba



6-14 : Anomalous Area of Silt Samples Raw Data in Damghan 1:100,000 Sheet

5000 0 5000 10000 m

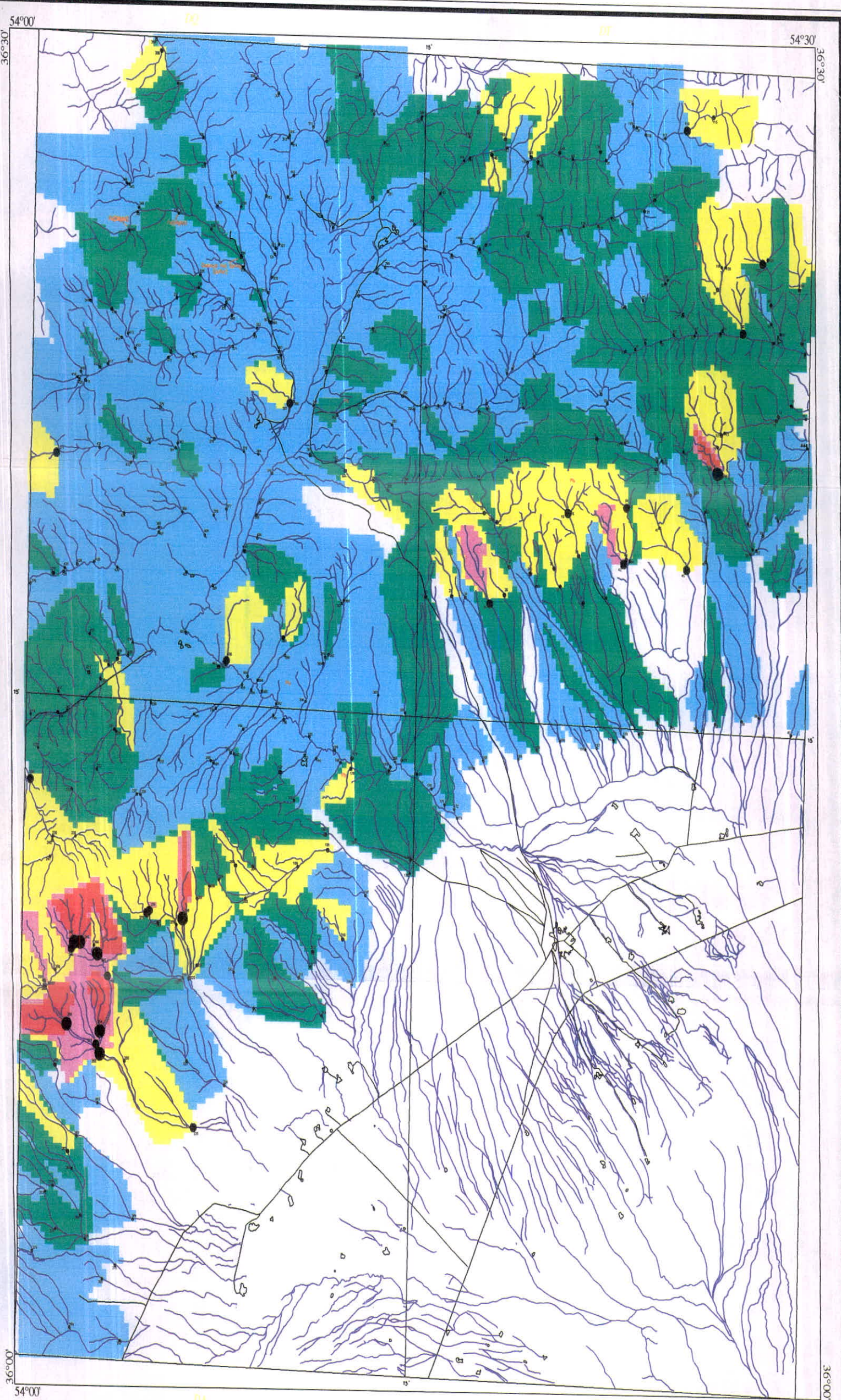




**6-15 : Anomalous Area of Enrichment Index of Silt Samples in Damqan 1:100,000 Sheet**



6-16 : Anomalous Area of Enrichment Index Based on PCA Methode in Damgan 1:100,000 Sheet



### LEGEND

Geochemical Sample	1.0	22.0	Min. 50 %
Drainage	50 %	84 %	84 %
Road	22.0	44.0	97.5 %
Populated Area	44.0	Max.	99 %
Unit of Anomaly Area (250 * 250 m)			Max.



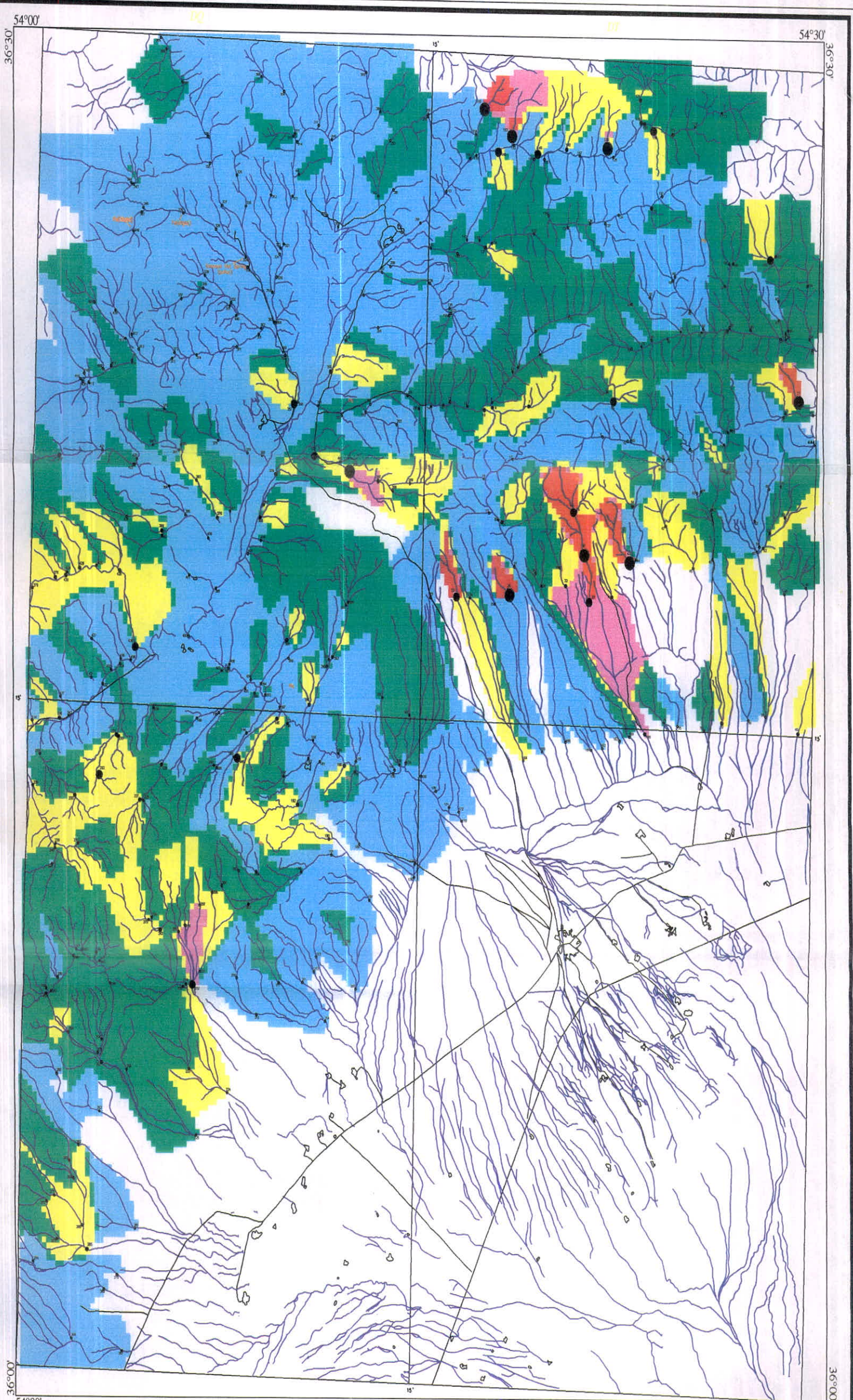
5000 0 5000 10000 m

MINISTRY OF INDUSTRY & MINES & METALS  
GEOLOGICAL SURVEY AND MINERAL  
EXPLORATION OF IRAN

Regional Geochemical & Heavy Mineral  
Exploration in Damghan 1/100,000 Sheet

Fig 6 - 17 : Grid Estimation Map of  
Probability of Occurrence

Date: March 2001



### LEGEND

Geochemical Sample		Min. • $X + 2 \cdot S$	Min. ■ 50 %
Drainage		50 % ■ 84 %	50 % ■ 84 %
Road		$X + 2 \cdot S$ ● $X + 3 \cdot S$	84 % ■ 97.5 %
Populated Area		$X + 3 \cdot S$ ● Max.	97.5 % ■ 99 %
Unit of Anomaly Area (250 * 250 m)			99 % ■ Max.



5000 0 5000 10000 m

MINISTRY OF INDUSTRY & MINES & METALS  
GEOLOGICAL SURVEY AND MINERAL  
EXPLORATION OF IRAN  
  
Regional Geochemical & Heavy Mineral  
Exploration in Damghan 1/100,000 Sheet  
  
Fig 6-18 : Grid Estimation Map of Characteristic  
Analysis of Correspondence Factors  
  
Date: March 2001

## فصل هفتم

### فاز کنترل آنومالیهای ژئوشیمیابی

#### ۱- مقدمه

در بررسیهای اکتشافی در مقیاس ناحیه‌ای که به منظور کشف هاله‌های ثانویه کانسارها انجام می‌پذیرد، معمولاً ابتدا منطقه وسیعی تحت پوشش اکتشاف ژئوشیمیابی قرار می‌گیرد. این عملیات منجر به کشف آنومالی‌های ظاهری در محیط‌های ثانوی می‌گردد. از آنجا که در روش‌های ژئوشیمیابی هر عنصر مستقیماً مورد اندازه‌گیری قرار می‌گیرد، توجهی به فاز پیدایش آن نمی‌شود. از این رو هاله‌های ثانوی کشف شده نمی‌توانند همیشه معرف کانی سازی باشند. بنابراین برای تمیز آنومالی واقعی که در ارتباط با پدیده‌های کانی سازی می‌باشد، از انواع دیگر که معمولاً در ارتباط با پدیده‌های سنگ‌زایی هستند باید از روش‌های متعددی استفاده کرد که شامل بررسی مناطق دگرگان شده، زون میزبانیه احتمالی، سیستم‌های پلمبینگ و بالاخره مطالعه نمونه‌های کانی سنگین در محدوده آنومالی‌های مقدماتی است. در بین روش‌های مختلف فوق مطالعات کانی سنگین به عنوان روشی که در آن فاز پیدایش یک عنصر مورد مطالعه قرار می‌گیرد، می‌تواند مفید واقع شود. بدیهی است پیدایش یک عنصر در فازهای مختلف ارزش متفاوتی دارد و برای بی‌بردن به ارزش‌های متفاوت پیدایش یک عنصر، نیاز به تمیز فاز پیدایش آن است. با توجه به نتایجی که از آنالیز کانیهای سنگین بدست می‌آید، می‌توان هاله‌های ثانوی را به دو نوع تقسیم نمود:

#### ۱- هاله‌های ثانوی مرتبط با کانی سازی

#### ۲- هاله‌های ثانوی مرتبط با پدیده‌های سنگ‌زایی

در حالت اول کانی‌های مستقل یک عنصر معمولاً در جزء سنگین (تصویر فاز مستقل) یافت می‌شود. حال آنکه در حالت دوم پیدایش یک عنصر معمولاً به صورت ترکیب محلول جامد در ساختمان شبکه همراه با عناصر دیگر است. البته این حالت ممکن است استثناء نیز داشته باشد. بدیهی است که تحرک یک ذره کانی سنگین نسبت به تحرک یک یون بسیار کمتر است. لذا هاله‌های ژئوشیمیابی ثانوی می‌تواند بمراتب بزرگتر از هاله کانی سنگین مربوط به همان عنصر باشد. بدین لحاظ برداشت نمونه‌های کانی سنگین در محدوده هاله‌های ژئوشیمیابی، می‌تواند مفید واقع شود. در این پژوهه برداشت نمونه‌های کانی سنگین مربوط به روشی برای کنترل آنومالی‌ها و جدایکردن انواع مرتبط با کانی سازی از سایر انواع، صورت پذیرفته است.

۲- تغییرات شیمیایی که در ناحیه منبع رخ می دهد : بعضی از کانیها در مقابل فرسایش شیمیایی مقاوم و بعضی نامقاومند این امر در خردشدن کانی ها و مسافت حمل و نقل آنها بسیار مؤثر است.

۳- خواص مکانیکی کانیها و تغییرات مکانیکی در محیط انتقال و رسوب گذاری : بعضی از کانیها در مقابل فرسایش مکانیکی مقاوم و بعضی نامقاوم بوده و خرد می شوند. تعدادی از این عوامل بستگی به شرایط آب و هوایی و ژئومورفولوژی محیط دارد. بدین جهت مسافتهاي حمل و نقل گزارش شده برای کانیهای مختلف متفاوت می باشد. برای مثال در مورد طلا و ولframیت هاله های بطول چند ده کیلومتر ثبت گردیده است. در مواردی که رخنمون منبع کوچک باشد، این فواصل ممکن است تا چند کیلومتر کاهش یابد. در چنین مواردی ممکن است مقدار بعضی از کانیهای سنگین در رسوبات در یک کیلومتر اول مسیر تا ۹۰ درصد کاهش یابد. بنابراین بهتر است محل نمونه های کانی سنگین نسبت به منبع احتمالی آن چندان دور نباشد. در این پروژه انتخاب محل نمونه های کانی سنگین به نحوی صورت گرفته است که حتی الامکان کانی سازیهای احتمالی موجود در منطقه در این نمونه ها منعکس گرددند.

#### ۴- نمونه برداری کانی سنگین، زون میزالیزه و آلتره احتمالی

برای برگه ۱۱: دامغان ، در محدوده آنژمالی های ژئوشیمیایی اقدام به برداشت و مطالعه ۱۰۵ نمونه کانی سنگین در محدوده آنژمالیهای مقدماتی گردیده است. نقشه شماره ۱ محل نمونه های کانی سنگین را برای برگه ۱۱: دامغان نشان می دهد. داده های خام کانی سنگین (تبديل شده به ppm) بر روی لوح فشرده <sup>۱</sup> همراه گزارش آورده شده است. همچنین در محدوده این برگه اقدام به برداشت ۴۹ نمونه از زون های میزالیزه گردیده است. نمونه ها از رگه های سیلیسی زون های آلتره و زون های میزالیزه مشاهده شده در محدوده مطالعه برداشت گردیده است. این نمونه ها جهت شناخت نوع میزالیزاسیون احتمالی و بیشتر میزان غنی شدگی عناصر مختلف در زون های آلتره و خرد شده برداشت گردیده است . نقشه شماره ۱ محل این نمونه ها را نیز نشان می دهد.

#### ۱-۴- نکاتی در مورد محل، چگالی و وزن نمونه های کانی سنگین

برای اکتشافات ناحیه ای (کوچک مقیاس) که در آن برداشت کانی سنگین به عنوان یک روش اکتشافی مستقل استفاده می شود رودخانه های بزرگ با حوضه آبریز وسیع مناسب تر هستند، زیرا محدودیت تعداد نمونه در آنها بر طرف می گردد. ولی در این پروژه با توجه به اینکه برداشت نمونه های کانی سنگین جهت کنترل آنومالی های ژئوشیمیابی صورت گرفته است، این نمونه ها حوضه های آبریز کوچکی را پوشش می دهند.

هر نمونه کانی سنگین از چند محل که احتمال تمرکز کانی سنگین در آن بیشتر بوده (تله کانی سنگین) برداشت شده است. در چنین مکان هایی ذرات شن و یا ماسه بیشتر حضور دارند. در مناطقی که نسبتاً مرتفع و برف گیر و در نتیجه فرسایش شیمیابی شدیدتر بوده، پیدایش چنین محل هایی کمتر بوده و در نتیجه نمونه های کانی سنگین با وزن بیشتر از بخش ماسه ای - سیلتی - رسی برداشت گردیده است.

چگالی نمونه برداری کانی سنگین، علاوه بر سقف بودجه، عمدتاً تابع مساحتی است که باید با استفاده از این روش تحت ارزیابی قرار گیرد. از آنجا که در این پروژه مناطق تحت بررسی کانی سنگین محدود به زون های آنومالی ژئوشیمیابی مقدماتی بوده است، بزرگی هاله پراکندگی ژئوشیمیابی از قبل مشخص شده و در نتیجه نمونه های کانی سنگین متعلق به هر برگه  $1:50,000$  در چنین زون هایی تقسیم شده است. در این تقسیم بندی فرض بر آن بوده است که برای هر حوضه آبریز با مساحت یک یا چند کیلومتر مربع، یک یا دو نمونه کافی بوده است. علاوه بر موارد فوق، شدت آنومالی های ژئوشیمیابی و نیز تعداد عناصر در پاراژنر ژئوشیمیابی نیز در این تقسیم بندی مؤثر واقع شده است. تحت شرایط یکسان از مساحت حوضه های آبریز، اولویت بیشتر به حوضه های آبریزی داده شده است که شدت آنومالی ژئوشیمیابی آن بیشتر بوده و یا تعداد عناصر در پاراژنر ژئوشیمیابی بیشتر بوده است. وزن نمونه کانی سنگین بسته به هدف مورد نظر تغییر می کند. در این پروژه در شرایط مساعد آن مقدار از رسوب رودخانه برداشت گردیده که پس از الک کردن حدود  $5\text{ لیتر از جزء } 20\text{-مش حاصل شده است. این الک کردن اولیه در روی زمین موجب کاهش وزن نمونه و سهولت حمل و نقل آن می گردد.}$

#### ۲-۴- معرفی مناطق آنومال و نمونه های برداشت شده کانی سنگین و میزالیزه

در بخش حاضر به تشریح مناطق آنومال ژئوشیمیابی در برگه  $1:100,000$  ادامگان می پردازیم و در هر آنومالی در صورتی که نمونه میزالیزه یا کانی سنگین و... برداشت شده باشد، شماره و مشخصات لازم نمونه ها ارائه گردیده است، و در صورتی که آنومالی مربوطه در فاز کنترل

آنومالی‌ها، کنترل شده باشد، خلاصه‌ای از مشاهدات صحرایی که در مدل سازی آنومالی‌ها بکار رفته است، ارائه شده است. لازم به ذکر است که مختصات جهانی نمونه‌های برداشت شده در جدول ضمیمه (بر روی CD) آورده شده است.

#### آنومالی شماره ۱

این آنومالی در برگه ۱:۵۰،۰۰۰ امیرآباد در محدوده دره آکسی و دره کاوی در میان واحدهای سنگی شامل شیل، ماسه‌سنگ، زغالسنگ همراه با بقایای گیاهی، توف، جریان‌های گدازه‌ای و سنگ‌آهک نومولیتی واقع گردیده است. نمونه‌های ۲۴۷ ۲۴۶ ۲۴۹ ۲۵۸ ۲۵۲ ۲۴۰ ۲۵۱ ۲۵۹ ۲۵۴ ۲۵۵ از این منطقه برداشت شده‌اند نسبت به عناصر Mn, Zn, Pb, As, Hg, Fe, Ag, Sb, V, Cu, Au شماره‌های ۱۰۰۱ ۲۵۲ ۲۵۱ ۲۵۴ ۲۴۸ ۲۴۷ ۲۴۵ ۲۴۶ ۲۴۴ ۲۴۹ ۲۵۸ ۲۵۹ ۱۰۰۱ ۲۵۱ ۲۵۹ ۲۵۴ ۲۵۵ از این منطقه برداشت شده است نسبت به عناصر ۱۰۰۲ جهت بررسی بیشتر این منطقه برداشت شده است که با مطالعه این نمونه‌ها مقادیر معتبرابه از کانی‌های روتیل، اسکروپلیت، استارولیت، زیرکن، ایلمنیت، مس‌آزاد، آناتاز، سروزیت، دسکلوزیت، میمتیت، پیرومورفیت، استولزیت، وانادیت، ولفنت، ژاروسیت، پیرولوزیت، شلیت، بروکیت، زوئیزیت، تورمالین، گالن، مالاکیت و مارتیت در این نمونه‌ها موجود بوده است. نمونه‌های کانی‌سنگین ۲۵۱ ۲۴۶ ۱۰۰۱ و ۱۰۰۲ مقادیر قابل ملاحظه‌ای طلا به همراه داشته‌اند.

#### آنومالی شماره ۲

محدوده این آنومالی در برگه ۱:۵۰،۰۰۰ امیرآباد در شمال مزرعه فیروزآبادی در میان واحدهای سنگی شامل سنگ‌آهک با لایه‌بندی، شیل، ماسه‌سنگ و دولومیت قرار گرفته است. نمونه‌های ژئوشیمی با شماره‌های ۲۳۴ ۲۲۲ ۲۱۸ ۲۲۶ ۲۴۳ ۲۷۵ که از این محدوده برداشت شده‌اند نسبت به عناصر Co, Sn, Mo, Ni آنومال بوده‌اند. نمونه‌های کانی‌سنگین با شماره‌های ۲۲۲ ۲۱۸ ۲۳۴ ۲۷۵ از این منطقه برداشت شده‌اند که حاوی مقادیر قابل ملاحظه‌ای از کانی‌های طلا، پیرومورفیت، پیرولوزیت، باریت، میمتیت، شلیت، دسکلوزیت، سلسیت و بیوتیت می‌باشد. نمونه‌های کانی‌سنگین ۲۲۲ ۲۷۵ ۲۷۶ مقادیر قابل توجهی طلا به همراه داشته است. نمونه‌های مینرالیزه ۲۳۴-M3, ۲۳۴-M2, ۲۳۴-M1 از این منطقه برداشت شده‌اند که نسبت به عناصر Pb, Zn آنومال بوده‌اند.

### آنومالی شماره ۳

این آنومالی در برگه ۱۵۰،۰۰۰ امیرآباد در ناحیه شمال باخته حاجی‌آباد در میان واحدهای سنگی شامل ماسه‌سنگ قرمز،شیل،دولومیت و سنگ‌آهک واقع شده است. نمونه‌های ژئوشیمی با شماره‌های ۲۱۴، ۲۱۲، ۲۱۱، ۲۱۷، ۲۱۳، ۲۱۰ از این محدوده برداشت شده که نسبت به عناصر V, Sb, As, Hg, Ba و آنومال می‌باشد. نمونه‌های کانی سنگین به شماره‌های ۲۱۴، ۲۱۷، ۲۱۲، ۲۱۱، ۲۱۳ و ۲۱۰ نیز مطابق آنالیز گزارش شده حاوی مقادیر معنابهی از کانی‌های آندالزیت، اپیدوت، زوئیزیت، پیریت‌اکسیده، کلریت، سینابر، باریت، ملاکیت، هماتیت، مگنتیت، روتیل و کانی‌های آلترا می‌باشد.

### آنومالی شماره ۴

محدوده این آنومالی در برگه ۱۵۰،۰۰۰ امیرآباد در حوالی منطقه اسپری‌زیان در میان واحدهای سنگی کنگلومرا، توف، شیلهای توفی، دولومیتی، ماسه‌سنگی و سنگ‌آهک واقع گردیده است. نمونه‌های ژئوشیمی با شماره‌های ۱۷۶، ۱۷۷، ۱۸۷، ۱۸۸، ۱۹۰ و ۱۹۱ از این منطقه برداشت گردید که نسبت به عناصر Ba, Hg, As, Sb, Fe و Au غنی‌شدنی نشان می‌دهند. نمونه‌های کانی‌سنگین با شماره‌های ۱۷۶، ۱۸۷، ۱۹۰، ۱۹۱ و ۱۰۰۴ و همچنین نمونه‌های مینرالیزه M1-190 و M2-190 جهت بررسی‌های بیشتر از این محدوده برداشت شده‌اند. در نتایج آنالیز نمونه‌های کانی‌سنگین مشخص شد که نسبت به کانی‌های بروکیت، باریت، سلسیت، الیزیست، آناتاز، گوتیت، مگنتیت، پیریت اکسیده، آمفیبول، و کلادونیت دارای مقادیر قابل توجهی می‌باشند. نمونه‌های مینرالیزه نیز نسبت به عناصر As و Hg آنومال می‌باشند.

### آنومالی شماره ۵

این آنومالی در برگه ۱۵۰،۰۰۰ امیرآباد در محدوده جنوب آهوانا در میان واحدهای لیتولوژیکی توف، شیل توفی، جریان‌های گذرازهای، دولومیت، سنگ‌آهک، مارن‌گچ‌دار، کنگلومرا و ماسه‌سنگ واقع شده است. نمونه‌های ژئوشیمی با شماره‌های ۱۷۸، ۱۷۹، ۱۸۰، ۱۸۱، ۱۸۴، ۱۸۰، ۱۸۱، ۱۸۰ و ۱۸۶ محدوده برداشت شده که Ba و Hg در میان این نمونه‌ها آنومالی نشان داده است. نمونه‌های کانی‌سنگین با شماره‌های ۱۷۸، ۱۷۹، ۱۸۰، ۱۰۰۵ و ۱۰۰۶ و نمونه‌های مینرالیزه M-178 و M-180 از این منطقه برداشت شد. نمونه‌های مینرالیزه نسبت به عناصر و اکسیدهای Fe<sub>2</sub>O<sub>3</sub> و B آنومالی نشان داده‌اند و در نتایج آنالیز نمونه‌های کانی‌سنگین مقادیر معنابهی از کانی‌های باریت، الیزیست، پیریت‌اکسیده، کلادونیت، سلسیتین، کوپریت، گوتیت، طلا، لیمونیت،

ملاکیت، مارتیت، اسفالریت و گزنبیوم را شامل می‌گردد که نمونه کانی سنگین 1005 نسبت به طلا مقادیر قابل ملاحظه‌ای را نشان می‌دهد.

#### آنومالی شماره ۶

این آنومالی در برگه ۱:۵۰،۰۰۰ امیرآباد در باختر آهوانا در میان واحدهای سنگی شامل توف، شیل توفی، جریانهای گدازه‌ای و سنگ‌آهک توده‌ای ضخیم لایه واقع شده، دو نمونه ژئوشیمی ۱۸۲ و ۱۹۷ نسبت به عناصر Zn و Pb در این محدوده غنی‌شدگی داشته‌اند. نمونه‌های کانی سنگین ۱۸۲ و ۱۹۷ تنها نسبت به کانی‌های آتره و بروکیت مقادیر قابل ملاحظه‌ای داشته است.

#### آنومالی شماره ۷

این آنومالی در جنوب برگه ۱:۵۰،۰۰۰ قلعه و در جنوب گردنه بشم قرار گرفته واحدهای سنگی این محدوده بیشتر از جنس شیل تیره رنگ، ماسه‌سنگ، زغال‌سنگ با بقایای گیاهی، سنگ‌آهک، توده‌ای و ضخیم لایه، توفهای انوسن، سنگ‌آهکی دولومیتی و ورمیکولیتی و مارنهای ژپس دار واقع شده نمونه‌های ژئوشیمی ۳۸۹، ۳۹۰، ۳۹۱، ۳۹۲، ۳۹۴، ۳۹۶، ۴۰۴، ۴۰۵، ۴۰۶، ۴۰۷ که نسبت به عناصر Ba و Cr آنومال می‌باشند از این منطقه برداشت گردید نمونه‌های کانی سنگین ۳۸۹، ۳۹۱، ۴۰۵ و نمونه‌های میزالیزه ۴۰۶M2، ۳۹۱-M، ۳۸۹-M و ۴۰۶-M1 و ۴۰۶-M3 نیز برداشت شده نمونه‌های کانی سنگین نسبت به کانی‌های الیثیست، پیریت اکسیده، کلادونیت و باریت دارای مقادیر قابل توجهی می‌باشد، و نمونه‌های میزالیزه نسبت به عنصر Ba آنومال می‌باشند.

#### آنومالی شماره ۸

در برگه ۱:۵۰،۰۰۰ طالو در محدوده تموزاع (کوه زنگی) و در میان واحدهای سنگی شامل شیل، ماسه‌سنگ، توف و جریانهای گدازه‌ای، سنگ‌آهک توده‌ای ضخیم لایه و ماسه‌سنگ قرمز واقع گردیده است. نمونه‌های ژئوشیمی ۱۷، ۱۸، ۱۹، ۲۰ و ۲۱ از این محدوده برداشت شده نسبت به عناصر Ag، Sb، Mo، Fe و V آنومالی نشان داده‌اند. نمونه‌های کانی سنگین ۱۸، ۱۹، ۲۰ و ۲۱ و نمونه‌های میزالیزه ۲۱-M2، ۲۱-M1 و ۲۱-M3 در این محل برداشت شده. که مطابق نتایج آنالیز گزارش شده مقادیر کانی‌های مگنتیت، ملاکیت، گالن و باریت در جز کانی سنگین در خور توجه می‌باشد و در نمونه‌های میزالیزه عنصر Zn در حد آنومالی می‌باشد.

## آنومالی شماره ۹

در برگه ۱۰۰، ۱۵۰ طالو در محدوده شیرینند در میان واحدهای سنگی شامل توف، شیل توفی، جریان‌های گدازه‌ای، ماسه‌سنگ، گچ، شیل تیره، و زغال‌سنگ با بقایای گیاهی و سنگ‌آهک توده‌ای ضخیم لایه واقع شده است. نمونه‌های ژئوشیمی با شماره‌های ۲۲، ۲۳، ۲۴ و ۲۵ از این محدوده برداشت شده که نسبت به عنصر Pb آنومالی نشان داده‌اند. نمونه‌های کانی‌سنگین به شماره‌های ۲۲، ۲۳، ۲۴ و ۲۶ نمونه میزالیزه M-24 جهت بررسی بیشتر از محدوده آن آنومالی برداشت گردیده که نمونه‌های کانی‌سنگین نسبت به کانی‌های باریت، سرب‌آزاد، سلسیتین و سروزیت دارای مقادیر قابل توجهی بوده است. ولی نمونه میزالیزه M-24 نسبت به هیچ یک از عناصر آنالیز شده، آنومالی نشان نداده است. در میان نمونه‌های کانی‌سنگین برداشت شده نمونه ۲۲ دارای کانی‌های گالن و سرب طبیعی بوده که آبراهه این نمونه حائز اهمیت ساخته است. نمونه ۲۶ نیز دارای مقدار کمی کانی اسفالریت بوده است.

## آنومالی شماره ۱۰

این آنومالی در برگه ۱۵۰، ۱۰۰ طالو در شمال محمدآباد در میان واحدهای توف، شیل توفی، جریان‌های گدازه‌ای، ماسه‌سنگ و سنگ‌آهک توده‌ای ضخیم لایه واقع شده است. نمونه‌های ژئوشیمی با شماره‌های ۱۵، ۱۶، ۲۸ و ۳۰ از این محل برداشت گردید که نسبت به عناصر Sr, Ba, Hg, Sb, Cr غنی‌شدگی دارند. نمونه‌های کانی‌سنگین با شماره‌های ۱۵، ۱۶، ۲۸، ۲۹ و ۳۰ و نمونه‌های میزالیزه M-15 و M-32 از این محدوده جهت بررسی‌های بیشتر در فاز چک کردن آنومالی‌ها برداشت گردیده‌اند که طبق نتایج آنالیز نمونه‌های کانی‌سنگین این نمونه‌ها نسبت به باریت، گالن، آمفیبول، پیریت‌اکسیده، آپاتیت، سلسیتین، گوتیت، سروزیت، کروکوئیت، میمتیت، مارکاسیت و مالاکیت قابل توجه می‌باشند. و نمونه‌های میزالیزه نسبت به عناصر Zn, Mo غنی‌شدگی نشان داده‌اند.

## آنومالی شماره ۱۱

محدوده این آنومالی در برگه ۱۵۰، ۱۰۰ طالو در حوالی مسکوه واقع گردیده است. واحدهای سنگی این منطقه عبارتند از: سنگ آهک توده‌ای ضخیم لایه، توف، شیل توفی و جریان‌های گدازه‌ای. نمونه‌های ژئوشیمی با شماره‌های ۴۲، ۴۳، ۴۴ و ۵۴ از این محل برداشت

گردیدند که آنومالی عناصر Ag, Ba, Mo را نشان داد. نمونه‌های کانی‌های سنگین 43, 44 و 54 و نمونه‌های میزالیزه 54-M1, 54-M2 و 54-M3 از این محل برداشت شده‌اند که طبق نتایج آزمایشگاه پس از آنالیز این نمونه‌ها، نمونه‌های کانی‌سنگین، نسبت به باریت، پیریت‌اکسیده، شلیت، سروزیت، میمیتیت و گالن دارای مقادیر قابل ملاحظه‌ای بود و نمونه‌های میزالیزه نیز نسبت به عنصر Ba آنومال بوده است.

#### آنومالی شماره ۱۲

این آنومالی در برگه ۱:۵۰،۰۰۰ طالو در شمال باختر طالو در میان واحدهای شیل تیره، ماسه‌سنگ، زغال با بقایای گیاهی، ماسه‌سنگ فرم و سنگ آهک توده‌ای ضخیم لایه و نازک لایه و سنگ آهک مارنی قرار گرفته است. نمونه‌های ژئوشیمی با شماره‌های ۶, ۵۵, ۵۶, ۵۷, ۵۸ و ۶۰ در این ناحیه نسبت به عناصر V, Fe, Ni غنی‌شدگی نشان داده‌اند. نمونه‌های کانی‌سنگین با شماره‌های ۶, ۵۵, ۵۶, ۵۷ و نمونه‌های میزالیزه 58-M3, 58-M2, 58-M1, 57-M1, 6-M2, 6-M1 از این محل برداشت شده‌اند. مطابق نتایج آنالیز کانی‌سنگین، کانی‌های آناتاز، اپیدوت، مگنتیت، مالاکیت، اولبریست، پیریت‌اکسیده، شلیت، اسفالریت، استارولیت، باریت، گالن، فلوریت، ارسنیپیریت و زیرکن در حد آنومالی بوده‌اند. و نمونه‌های میزالیزه نسبت به عنصر Ba و ترکیب اکسیدی  $Fe_2O_3$  آنومال هستند.

#### آنومالی شماره ۱۳

محدوده این آنومالی در برگه ۱:۵۰،۰۰۰ طالو در شمال خاور طالو در میان واحدهای سنگی شیل تیره، ماسه‌سنگ، زغال‌سنگ با بقایای گیاهی، سنگ آهک و آهک مارنی واقع شده است. شماره نمونه‌های ژئوشیمی با شماره‌های ۶۵, ۶۶ و ۶۷ از این محدوده برداشت گردید که نسبت به عناصر Fe, Ni, Cr آنومال می‌باشد. نمونه‌های کانی‌سنگین به شماره‌های ۶۵, ۶۶, ۶۷ و نمونه‌های میزالیزه 65-M1 و 65-M2 از این محدوده برداشت شد. که نمونه‌های کانی‌سنگین نسبت به بروکیت، اپیدوت، ژاروسیت، مگنتیت، مالاکیت، پیریت، اسفالریت، باریت، فلوریت، گالن و زوئیزیت دارای مقادیر قابل توجه است. نمونه‌های میزالیزه برداشت شده نسبت به هیچ یک از عناصر آنالیز شده در این پروژه آنومال نمی‌باشد.

## آنومالی شماره ۱۴

این آنومالی در برگه ۱۵۰،۰۰۰ طالو در خاور مس کوه در میان واحدهای سنگی سنگ آهک توده‌ای و ضخیم لایه، توف، شیل توفی و جریان‌های گدازه‌ای واقع شده است. نمونه‌های رُئوژیمی با شماره‌های ۴۵ و ۴۷ نسبت به عناصر Bi, Mo, Ag, Sr, Cr, Ba, Pb, Sb آنومالی نشان داده‌اند. نمونه‌های کانی سنگین با شماره‌های ۴۵ و ۴۷ از این محدوده برداشت شده‌اند که در آنها مقادیر کانی‌های سلسیتین، سروزیت، باریت و مارکاسیت قابل ملاحظه می‌باشد.

## آنومالی شماره ۱۵

این آنومالی در خاور برگه ۱۵۰،۰۰۰ طالو و در محدوده طزره در میان واحدهای سنگی شامل شیل تیره، ماسه سنگ، زغال سنگ با بقایای گیاهی، سنگ آهک نازک لایه و سنگ آهک مارنی و سنگ آهک توده ای و ضخیم لایه و سنگهای ولکانیکی واقع شده است. نمونه‌های رُئوژیمی ۹۰، ۹۱، ۹۲، ۹۳، ۹۴، ۹۵، ۹۶، ۹۷، ۹۸، ۹۹، ۱۰۰، ۱۰۱، ۱۰۲، ۱۰۳، ۱۰۴ از این محدوده برداشت گردیده که نسبت به عناصر V, Au, Cu, Hg, W, Co, Ni, Bi, Cr, Sn و آنومالی نشان داده‌اند. نمونه‌های کانی سنگین با شماره‌های ۹۰، ۹۱، ۹۲، ۹۳، ۹۴، ۹۵، ۹۶، ۹۷، ۹۸، ۹۹، ۱۰۰، ۱۰۱، ۱۰۲، ۱۰۳ از این محدوده و نمونه‌های مینرالیزه با شماره‌های ۹۶-M, ۱۰۴-M1, ۱۰۴-M2, ۹۴-M, ۹۰-M, ۹۷-M ۱۰۰-M جهت بررسی‌های بیشتر از این محدوده برداشت گردید که در نتایج نمونه‌های کانی سنگین مقادیری گارنت، مارکاسیت، شلتیت، سیدریت، و کانی‌های آتشه شده اسفالریت، آندالوزیت، ارسنپیریت، بروکیت، مارتیت، سلسیتین، میمتیت، گالن، فلوریت و پیرولوزیت مشاهده شده است. اگر چه وجود شیلهای زغالدار در این محدوده ممکن است عامل اصلی ایجاد آنومالی باشد، اما حضور گستره کانی‌های سولفوری (گالن و اسفالریت) در نمونه‌های کانی سنگین آنومالی ارزش آنومالی‌های این محدوده می‌افزاید. در نتایج آنالیز نمونه‌های مینرالیزه مقدار بالای برای عناصر ذکر نشده است.

## آنومالی شماره ۱۶

این آنومالی در برگه ۱۵۰،۰۰۰ طالو در شمال کلمدر در میان واحدهای سنگی شامل شیل تیره، ماسه سنگ، زغال سنگ با بقایای گیاهی، سنگ آهک نازک لایه، سنگ آهک مارنی و سنگهای ولکانیکی واقع گردیده است. نمونه‌های رُئوژیمی با شماره‌های ۷۹، ۸۴ و ۸۵ که نسبت به عنصر Cr آنومالی نشان داده از این محدوده برداشت گردیده است. نمونه‌های کانی

سنگین 79 و 85 نیز از این محل برداشت گردید که حاوی کانیهای ژاروسیت، اسفالریت، گالن، فلوریت و سافیر در حد آنومال می باشد.

#### آنومالی شماره ۱۷

این آنومالی در برگه ۱:۵۰،۰۰۰ طالو و در جنوب کوه سرتنگ در میان واحدهای سنگی شامل سنگ آهک واقع گردیده است. نمونه های ژئوشیمی با شماره های ۱۳۷ و ۱۳۸ که نمونه ۱۳۷ نسبت به عنصر Au از غنی شدگی نسبی برخوردار می باشد. نمونه های کانی سنگین ۱۳۷ و ۱۳۸ از این محدوده برداشت گردید. در نتایج آنالیز این دو نمونه مقادیری از کانی های سرب آزاد، آناتاز، بروکیت، دیپیتاز، ایلمنیت، اسفن، باریت، سروزیت و زیرکن در حد آنومال مشاهده گردیده است.

#### آنومالی شماره ۱۸

این آنومالی در برگه ۱:۵۰،۰۰۰ قلعه در غرب روستای نمکه در میان واحدهای سنگی شامل سنگ آهک، آهک مارتی، شیل، ماسه سنگ، مارن گچ دار، شیل تیره و زغال سنگ همراه با بقایای گیاهی واقع می باشد. نمونه های ژئوشیمی با شماره های ۳۲۸، ۳۴۶، ۳۳۰، ۳۴۷ و ۳۴۸ از این محدوده برداشت گردید که نسبت به عناصر آنالیز شده در این برگه آنومالی نشان نداده است. اما از آنجا که در هنگام برداشت نمونه های سیلت آبراهه ای، قطعات حاوی کانیهای اولیزیست و همایت بمقدار زیاد در آبراهه دیده شده بود لذا اقدام به برداشت نمونه کانی سنگین و بررسی مجدد این آبراهه شده و یک نمونه کانی سنگین به شماره ۳۴۷ و نمونه های مینزالیزه به شماره های ۳۴۷-M1 و ۳۴۷-M2 از این محدوده برداشت گردیده است. که در نتایج آنالیز نمونه های کانی سنگین مقادیر قابل توجهی از کانی های آپاتیت، ژاروسیت، اولیزیست، سیدریت و اسفن مشاهده شده و نمونه های مینزالیزه نسبت به عناصر Fe، B، Sn غنی شدگی نشان داده اند که ممکن است در ارتباط با کانی زایی پنهان تیپ اسکارن باشد.

#### آنومالی شماره ۱۹

این آنومالی در شمال برگه ۱:۵۰،۰۰۰ قلعه در منطقه حاجی کرد در میان واحدهای سنگی شامل سنگ آهک توده ای و ضخیم لایه، ماسه سنگ، کوارتزیت و شیل واقع گردیده است. نمونه های ژئوشیمی با شماره های ۳۰۶، ۳۰۷ و ۳۲۴ که از این محدوده برداشت گردید نسبت به عناصر Sn و Au آنومال می باشند. نمونه های کانی سنگین به شماره های ۳۰۶، ۳۰۷ و

324 و نمونه‌های میزالیزه 306-M1، 306-M2، 306-M3 و 306-M4 از این

منطقه جهت بررسی‌های بیشتر برداشت شد که نمونه‌های کانی سنگین حاوی کانی‌های مارکاسیت، پیریت، گوتیت، اسپینل، آناناتز، هماتیت، لیمونیت، میمیت و اسفالریت بوده است لازم به ذکر است نمونه کانی سنگین 306 حاوی طلا نیز می‌باشد. نمونه‌های میزالیزه حاوی مقادیری از اکسید Fe<sub>2</sub>O<sub>3</sub> در حد آنومال می‌باشند. در مسیر آبراهه‌های شمالی در این محدوده مقادیری سرباره (Slag) مشاهده شده که حکایت از وجود معنکاری قدیمی در این محدوده دارد.

#### ۲۰ آنومالی شماره

این آنومالی در شرق برگه ۱۵۰،۰۰۰ قلعه در منطقه رونجن در میان واحدهای لیتلورزیکی شیل‌تیره، ماسه‌سنگ، زغال‌سنگ با بقاوی‌گاهی، توف و جریانهای گذاره، شیل و گچ واقع شده است. نمونه‌های ژئوشیمی 297، 298 و 299 و 366 نسبت به عنصر Fe غنی‌شده‌گی نسبی برخوردار می‌باشند. نمونه‌های کانی سنگین با شماره‌های 366 و 297 که از این محدوده برداشت شده بود حاوی مقادیر قابل ملاحظه‌ای از کانی‌های باریت، روتبیل، ارسنپیریت، اسپینل، کرومیت و زیرکن می‌باشد.

#### ۲۱ آنومالی شماره

این آنومالی در شرق برگه ۱۵۰،۰۰۰ طالو در جنوب طزره در میان واحدهای سنگی شامل سنگ آهک و دولومیت با لایه‌بندی خوب، ماسه سنگ قرمز، سنگ آهک توده‌ای ضخیم لایه، ماسه‌سنگ، کوارتزیت، شیل و سنگ آهک مارنی واقع شده است. نمونه‌های ژئوشیمی با شماره‌های 74، 75، 76 و 77 در این ناحیه نسبت به عناصر Mo، Pb و Ba آنومال می‌باشند. نمونه‌های کانی سنگین 75 و 77 که از این محدوده برداشت شد حاوی کانی‌های آندالوزیت، چنیت، لوکوکسن، اولیزیست، باریت، مالاکیت، میمیت و فلوریت در حد آنومال می‌باشند. نمونه میزالیزه با شماره M-75 نیز از این محل برداشت شده که نسبت به هیچ عنصری آنومال نمی‌باشد.

## آنومالی شماره ۲۲

این محدوده در شمال برگه ۱:۵۰،۰۰۰ طالو، شمال شرق روستای چهارده واقع است.

سنگهای تشکیل دهنده منطقه شامل: توف، شیلهای سیاه، ماسه سنگ و لایه های ذغال دار (سازند شمشک) و سنگ آهک و آهک مارنی دلیچای و آهک لار است. نمونه های ژئوشیمی به شماره های ۱۴۶، ۱۴۸ نسبت به عناصر Ba, V آنومال می باشد. و نمونه های کانی سنگین به شماره های ۱۴۶، ۱۴۷ از منطقه برداشت شده که در این نمونه ها کانی های اسفالریت، گالن، باریت، سلسین، مالاکیت و سروزیت مشاهده شده است. نمونه های مینزالیزه به شماره های Ba, Zn, Mo ۱۴۶-M1 و ۱۴۴-M1 از این محدوده برداشت گردیده است که نسبت به عناصر آنومال بوده اند.

## آنومالی شماره ۲۳

این محدوده در جنوب کوه گرم کش و در برگه ۱:۵۰،۰۰۰ قلعه واقع است و واحد های سنگی تشکیل دهنده آن شیلهای سیاه، ماسه سنگ و لایه های ذغال دار سازند شمشک و سنگ آهک نازک لایه و آهک مارنی دلیچای و آهک ضخیم لایه لار بهمراه پادگانه های قدیمی می باشد. نمونه ژئوشیمی به شماره ۲۷۷ نسبت به عنصر مس آنومال بوده است. نمونه کانی سنگین به شماره ۲۷۷ که از این محدوده برداشت شده شامل کانیهای لیمونیت، شلتیت، ارسنیپیریت، اسفالریت، گالن، باریت، پیریت و بورنیت می باشد. دو نمونه مینزالیزه به شماره های ۲۷۷-M1, ۲۷۷-M2 نیز از این منطقه برداشت گردید که نسبت به هیچ یک از عناصر آنالیز شده آنومال نبوده است.

## آنومالی شماره ۲۴

این محدوده در برگه ۱:۵۰،۰۰۰ در شمال روستای کلاته در میان واحدهای سنگی شامل توف، شیل، ماسه سنگ، ژپس، شیل تیره، زغال همراه با بقایای گیاهی، سنگ آهک و سنگ آهک مارنی واقع شده است. نمونه ژئوشیمیابی با شماره ۳۵۷ نسبت به عناصر Co, Zn آنومال می باشد. لازم به ذکر است این نمونه ژئوشیمیابی بدلیل شرایط نامساعد جوی در مرحله اول نمونه برداری برداشت نشده و برداشت آن به همراه نمونه های کانی سنگین در زمان برداشت نمونه ها در فاز کنترل آنومالیها صورت گرفته است. نمونه کانی سنگین با شماره ۳۵۷ نسبت به کانیهای هماتیت، پیریت اکسیده، گالن و باریت غنی شدگی نشان داده است.

## آنومالی شماره ۲۵

محدوده مربوطه در برگه ۱: ۵۰،۰۰۰ طالو در شمال دوستای دیوار و در نزدیکی رودخانه آب ترودبار در میان واحد های سنگی شامل سنگ آهک، سنگ آهک مارنی، شیل و ماسه سنگ واقع است. نمونه ژئوشیمی با شماره ۴۶۰ نسبت به عناصر Sb, Hg, As آنومال برد است. لازم به ذکر است به دلیل شرایط نا مساعد جوی در مرحله برداشت نمونه های ژئوشیمیابی (مرحله اول) این نمونه برداشت نشده و در مرحله کنترل آنومالیها بهمراه نمونه های کانی سنگین برداشت گردیده است. نمونه کانی سنگین با شماره H-461 از این محدوده برداشت شده که حاوی مقادیری از کانیهای طلا، هماتیت، پیریت، لیمونیت و سیدریت در حد قابل توجهی می باشد.

## آنومالی شماره ۲۶

این محدوده آنومال در برگه ۱: ۵۰،۰۰۰ طالو در شمال غربی موجن یکی از شاخه های فرعی رودخانه داستان در میان واحد های سنگی شامل سنگ آهک و کنگلومرا واقع شده است. نمونه های ژئوشیمیابی با شماره های ۱۰۵, ۱۰۶ از این منطقه برداشت شده اند که نسبت به هیچ یک از عناصر آنالیز شده آنومالی نشان نداده است. دو نمونه کانی سنگین با شماره ۱۰۵, ۱۰۶ در این منطقه برداشت شد که نسبت به کانیهای هماتیت، لیمونیت، گارنت، اسفالریت، پیریت، پیریت اکسیده، سافیر، فلوریت و مارکاسیت از مقادیر نسبتا خوبی برخوردار بوده اند. در این منطقه نیز به دلایل شرح داده شده در دو محدوده قبل نمونه های ژئوشیمیابی در مرحله آنومالی چکینگ برداشت شده اند.

## ۵- پردازش داده های کانی سنگین

### ۱- رسم هیستوگرام

در جوامع کانی سنگین مورد مطالعه بعضی متغیرها دارای تعداد مشاهدات بسیار کم (متغیرهایی که دارای یک یا دو مشاهده هستند) بوده و در برخی موارد دیگر دامنه اعداد نزدیک به هم بوده و در پی این امر هیستوگرام این گونه متغیرها به صورت تک ستونی در می آید که از لحاظ آماری ارزش لازم جهت بررسی را دارا نمی باشد، لذا تنها برای متغیرهای فاقد مشکلات فرق اقدام به رسم هیستوگرام شده که می توان آنها را در اشکال ۱-۷ الی ۳۹-۷ مشاهده نمود.

(داده های خام بر روی CD آورده شده است) جهت رسم این هیستوگرام ها از لگاریتم طبیعی مقادیر مشاهده شده استفاده شد. برخی متغیرهای کانی سنگین دارای خصلت دومدی هستند. زیرکن و روتنیل که از کانیهای سنگ سازمی باشند ویژگی دومدی را به خوبی در خود نشان می دهند. که این چند جامعه بودن مرتبط با تغییرات لیتوژئوگی است. باریت، هماتیت، لیمویت و مگنتیت نیز خصلت دومدی را در خود نشان می دهند. این تغییرات مرتبط با وجود مناطق آنومال از این کانیها در برگه می باشد. در برگه ۱۰۰،۰۰۰: ۱ دامغان قسمت شمالی حاوی سازند شمشک و شیلهای ژوراسیک و جنوب آن دارای باندی از توف و خروجی های اثوسن است. کانه های پپروکسن، منیتیت، آمفیبول و... از این خروجی ها حاصل شده اند. در عین حال وجود کانه های مرتبط با کانی سازی های رگه ای در منطقه در نمونه های کانی سنگین، پتانسیل وجود این سیستم را در منطقه تایید می نماید. در عین حال وجود کانه طلا در چندین نمونه در منطقه که عمدها در یک محدوده واقع شده اند، اهمیت منطقه را از لحاظ کانی سازی طلا بالا برد است.

### ۲- آنالیز کلاستر متغیرهای کانی سنگین

یکی از روشهای معمول جهت تعیین روابط پاراژنزی بین متغیرهای مختلف استفاده از آنالیز کلاستر (تحلیل خوشه ای) می باشد. گرچه غله جنبه کیفی در مطالعات کانی سنگین باعث می گردد تا نتوان قصارت نهایی را صرفاً با توجه به دندروغرام انجام داد لذا تا حد امکان بایست به روابط زنگی و محیط های پیدایشی کانی های مختلف توجه کرد. با این وجود ساختارهای معرفی شده بوسیله آنالیز کلاستر می تواند راهنمایی در جهت یافتن روابط پاراژنزی کانیهای

Altered min.

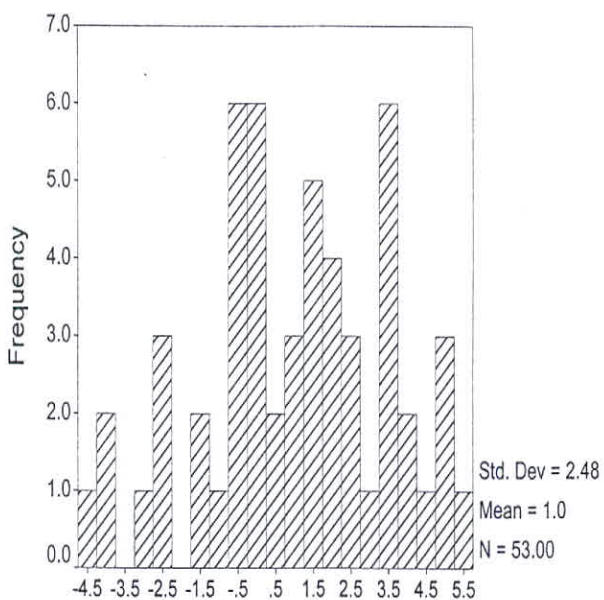


Fig 7-1:Histogram of Heavy Mineral Variable(Ln(Altered min.))

Amphiboles

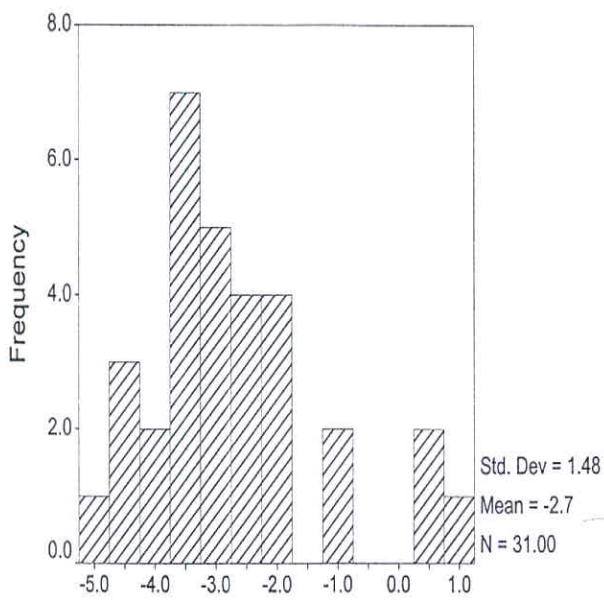


Fig 7-2:Histogram of Heavy Mineral Variable(Ln(Amphiboles))

### ANATASE

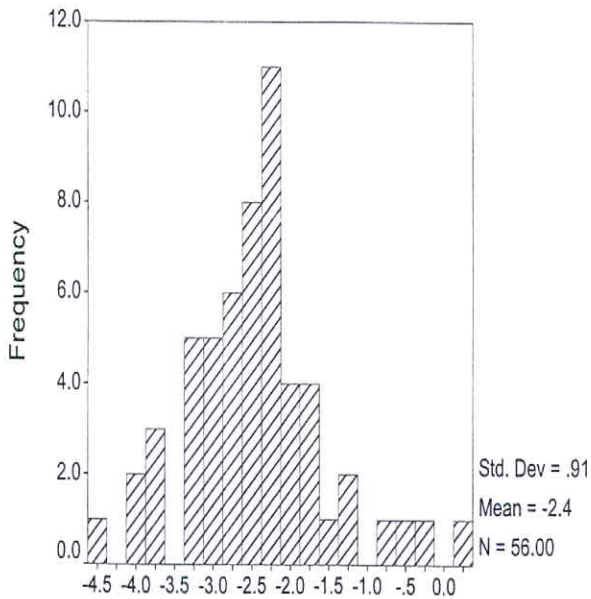


Fig 7-3: Histogram of Heavy Mineral Variable(Ln (ANATASE))

### APATITE

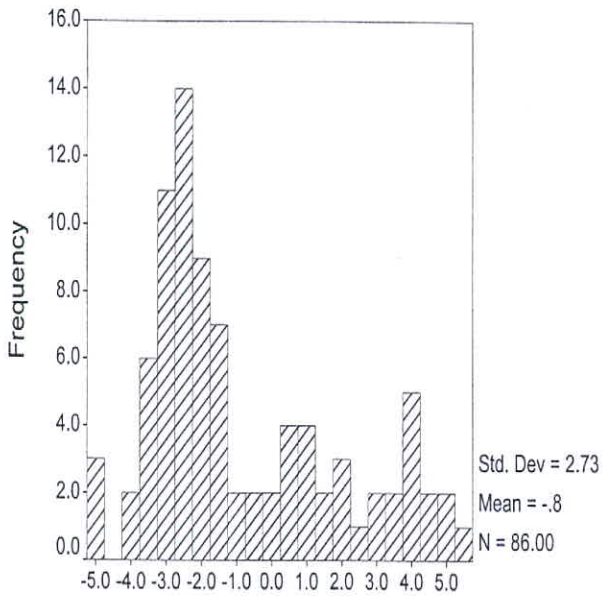


Fig 7-4: Histogram of Heavy Mineral Variable(Ln(APATITE))

### Aragonite

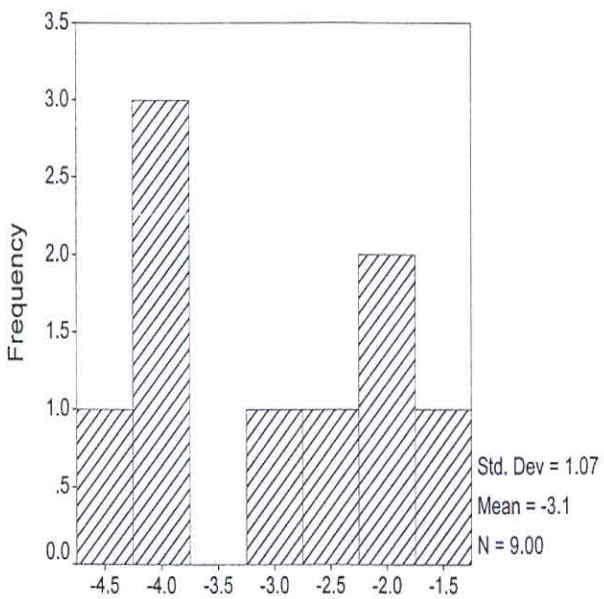


Fig 7-5: Histogram of Heavy Mineral Variable( $\ln(\text{Aragonite})$ )

### Arsenopyrite

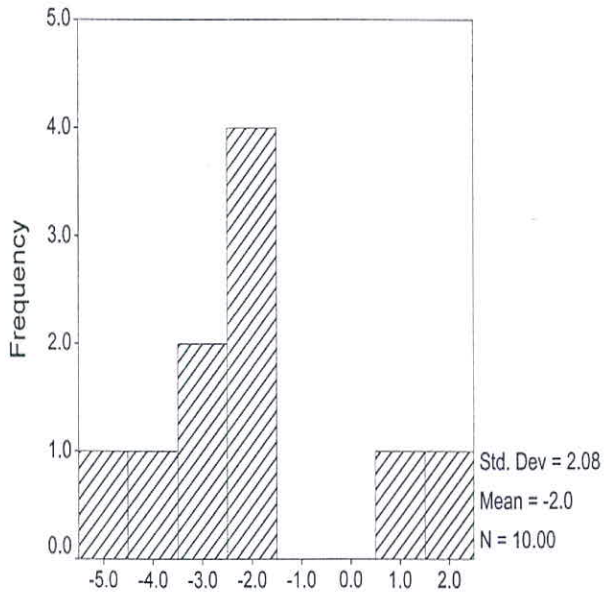


Fig 7-6: Histogram of Heavy Mineral Variable( $\ln(\text{Arsenopyrite})$ )

## BARITE

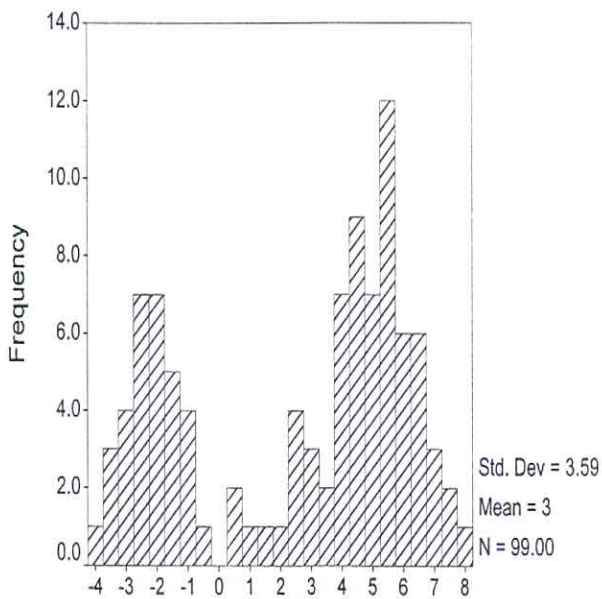


Fig 7-7: Histogram of Heavy Mineral Variable(Ln(BARITE))

## Celestite

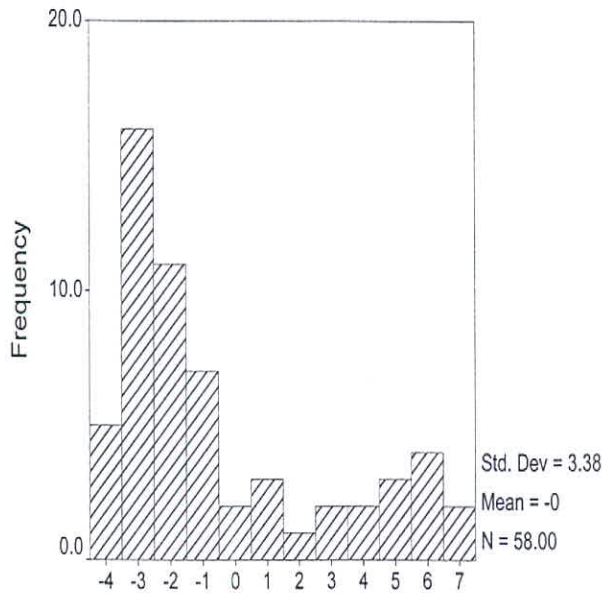


Fig 7-8: Histogram of Heavy Mineral Variable(Ln(Celestite))

### CERUSITE

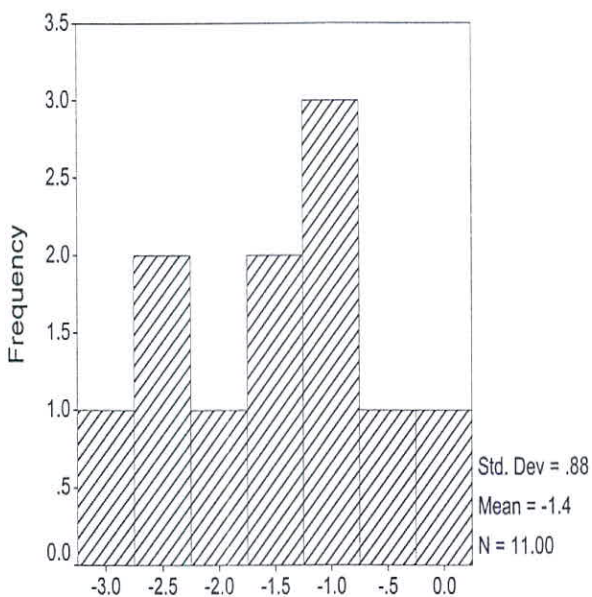


Fig 7-9:Histogram of Heavy Mineral Variable( $\ln(\text{CERUSITE})$ )

### CHLORITE

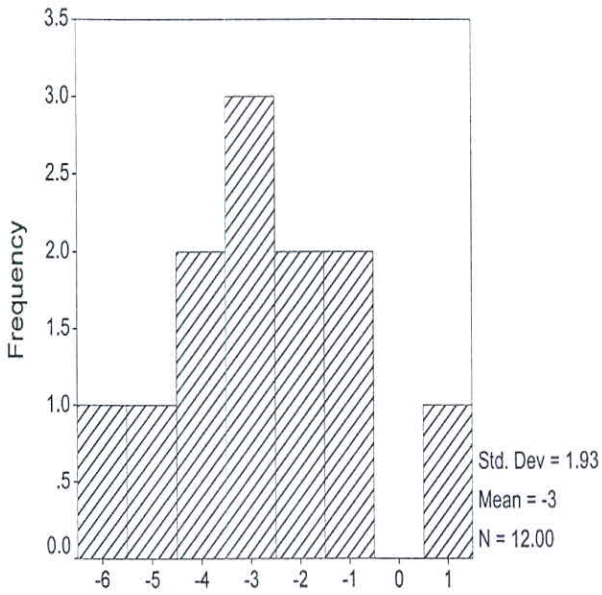


Fig 7-10:Histogram of Heavy Mineral Variable( $\ln(\text{CHLORITE})$ )

### CHROMITE

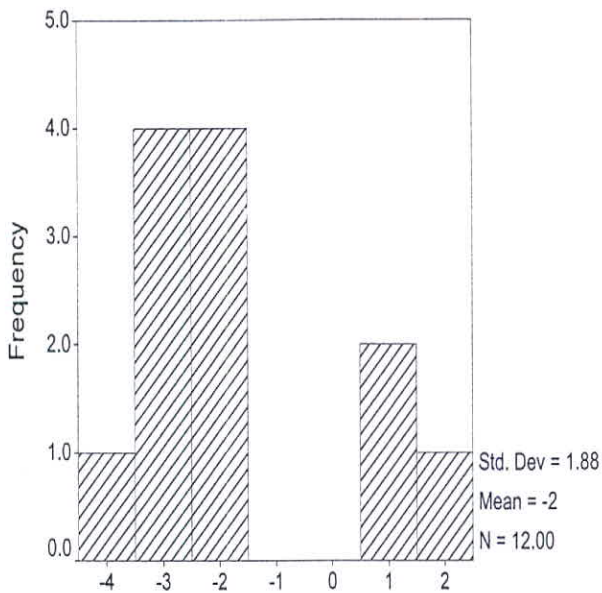


Fig 7-11: Histogram of Heavy Mineral Variable( $\ln(\text{CHROMITE})$ )

### DOLOMITE

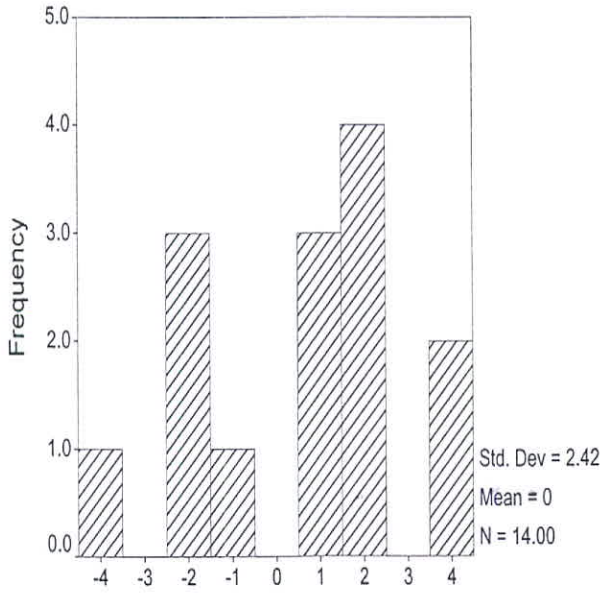
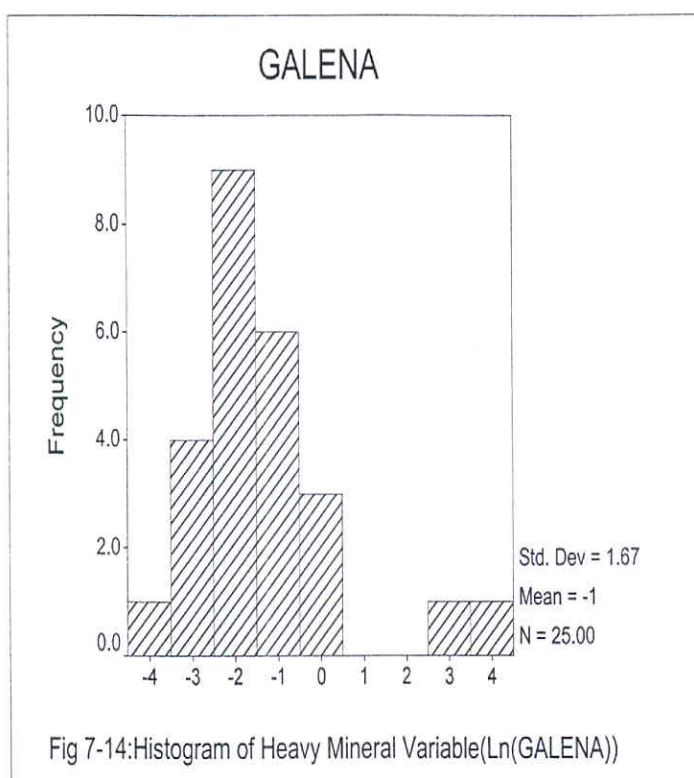
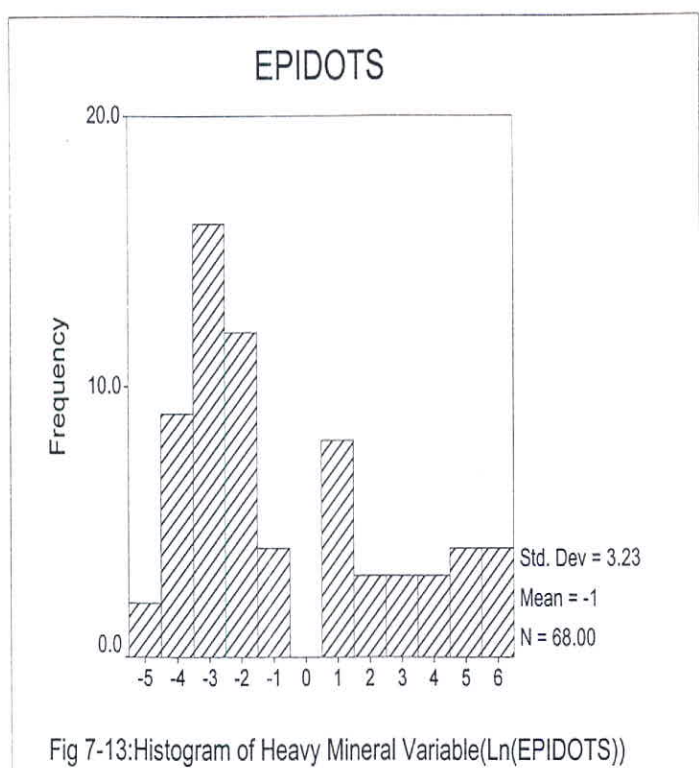


Fig 7-12: Histogram of Heavy Mineral Variable( $\ln(\text{DOLOMITE})$ )



## GARNET

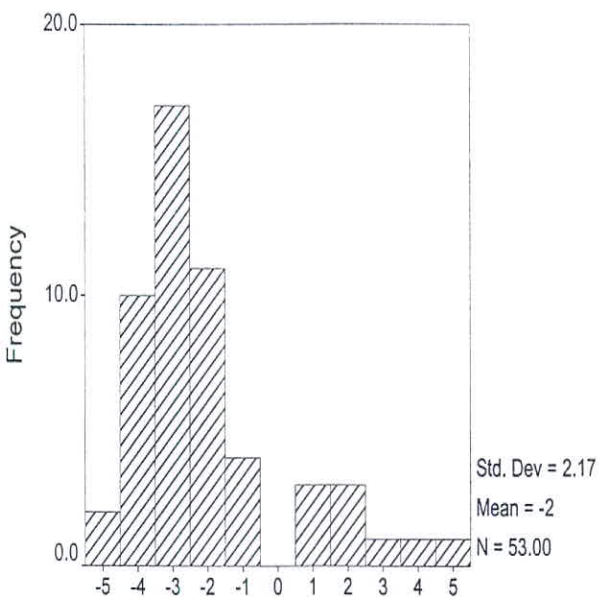


Fig 7-15: Histogram of Heavy Mineral Variable(Ln(GARNET))

## GOETHITE

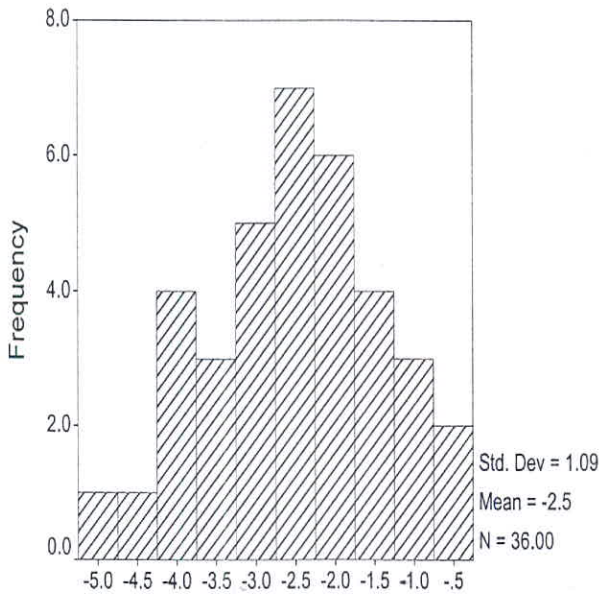
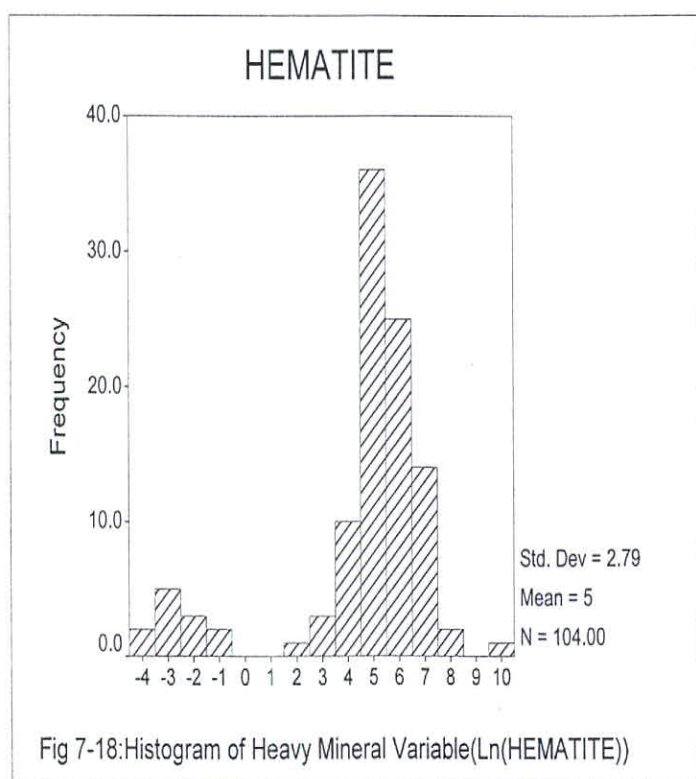
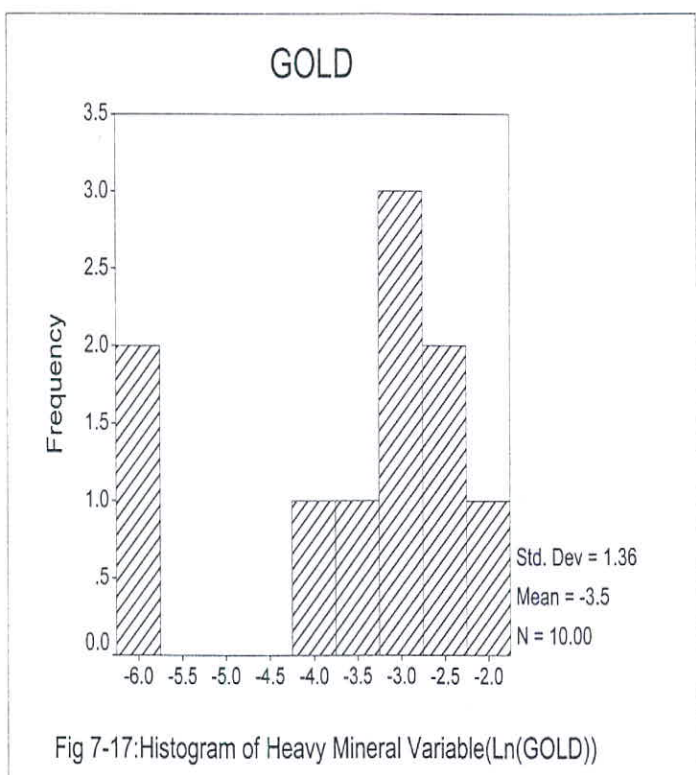


Fig 7-16: Histogram of Heavy Mineral Variable(Ln(GOETHITE))



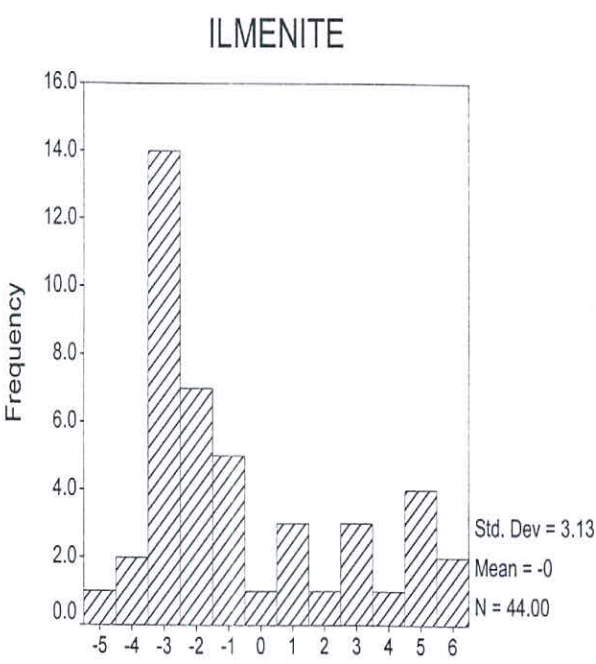


Fig 7-19: Histogram of Heavy Mineral Variable( $\ln(\text{ILMENITE})$ )

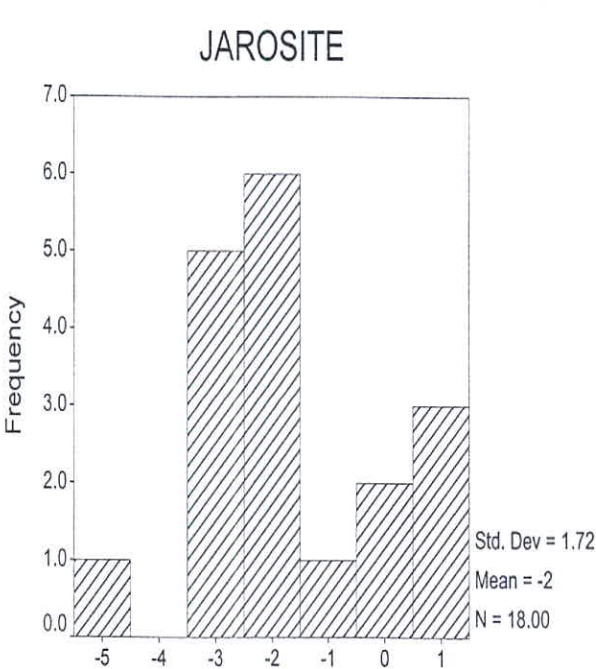


Fig 7-20: Histogram of Heavy Mineral Variable( $\ln(\text{JAROSITE})$ )

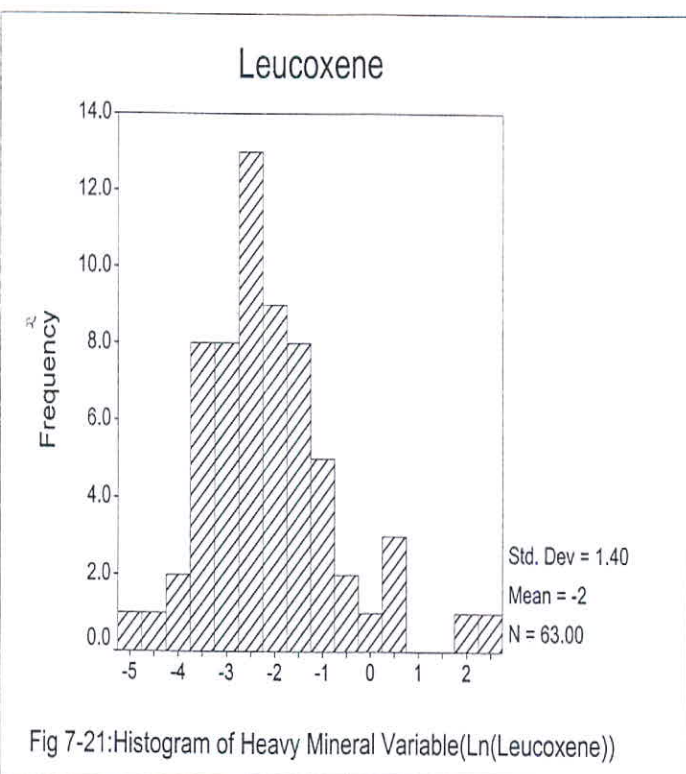


Fig 7-21:Histogram of Heavy Mineral Variable( $\ln(\text{Leucoxene})$ )

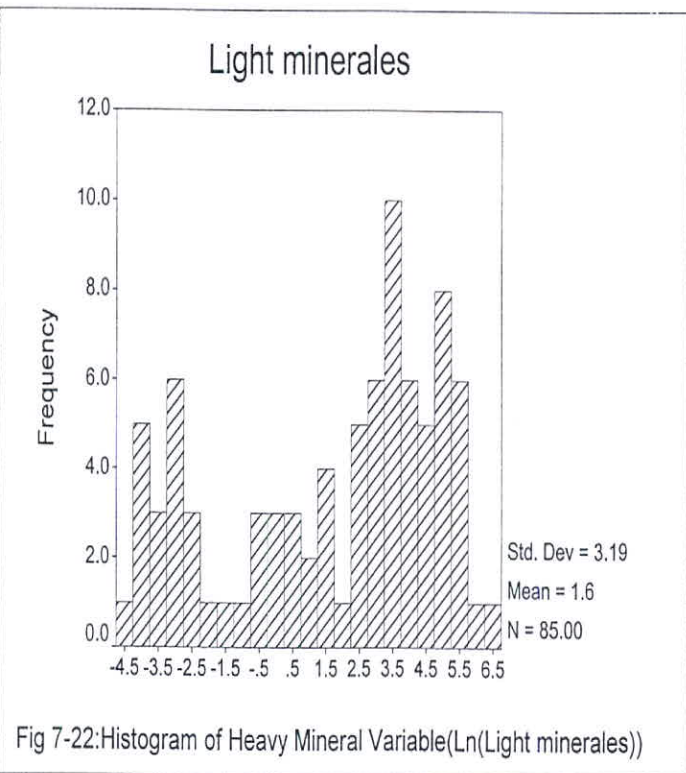


Fig 7-22:Histogram of Heavy Mineral Variable( $\ln(\text{Light minerales})$ )

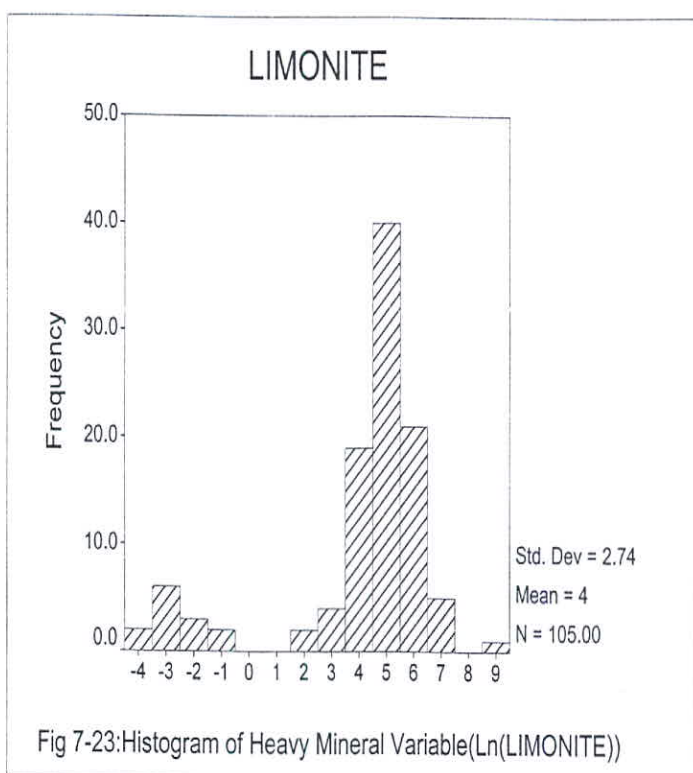


Fig 7-23:Histogram of Heavy Mineral Variable(Ln(LIMONITE))

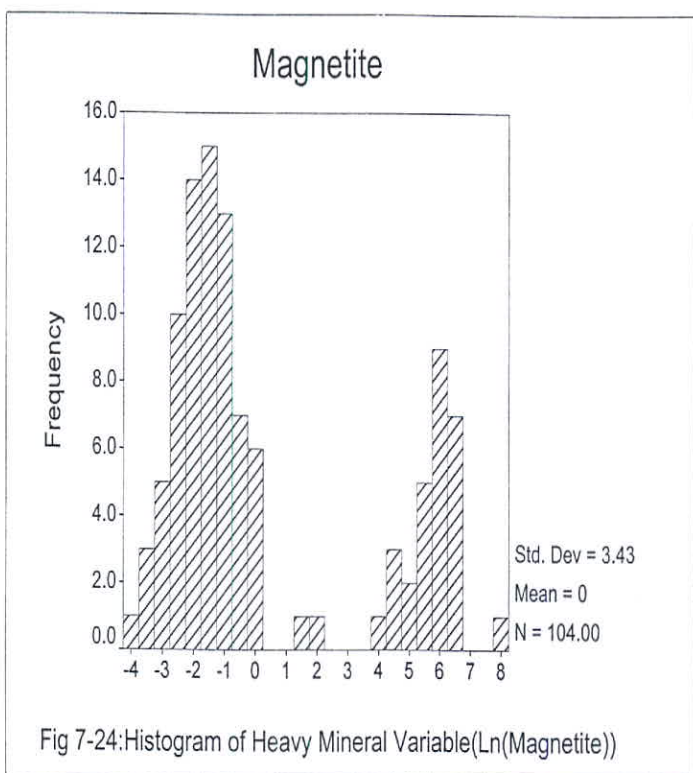


Fig 7-24:Histogram of Heavy Mineral Variable(Ln(Magnetite))

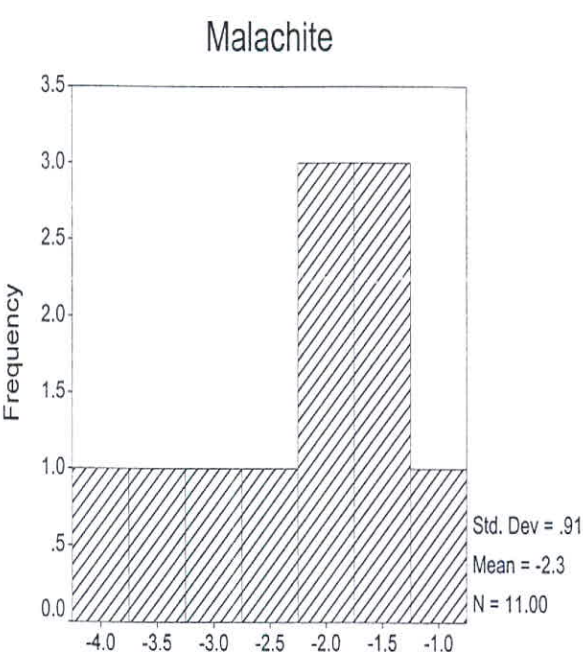


Fig 7-25:Histogram of Heavy Mineral Variable( $\ln(\text{Malachite})$ )

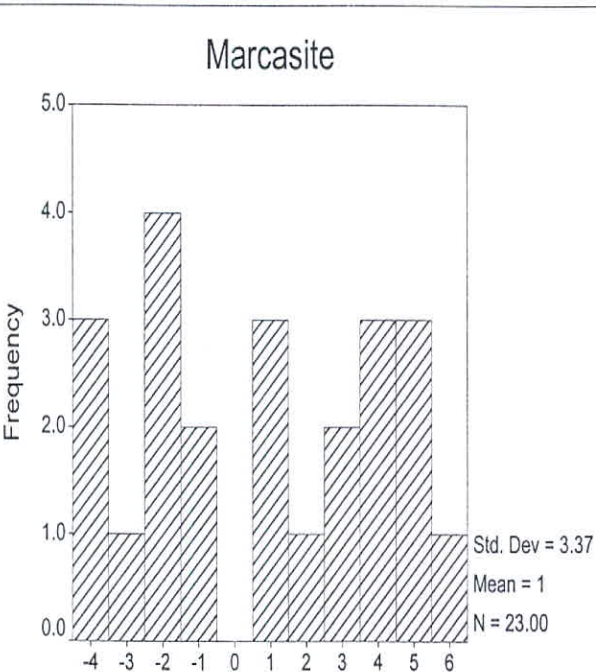


Fig 7-26:Histogram of Heavy Mineral Variable( $\ln(\text{Marcasite})$ )

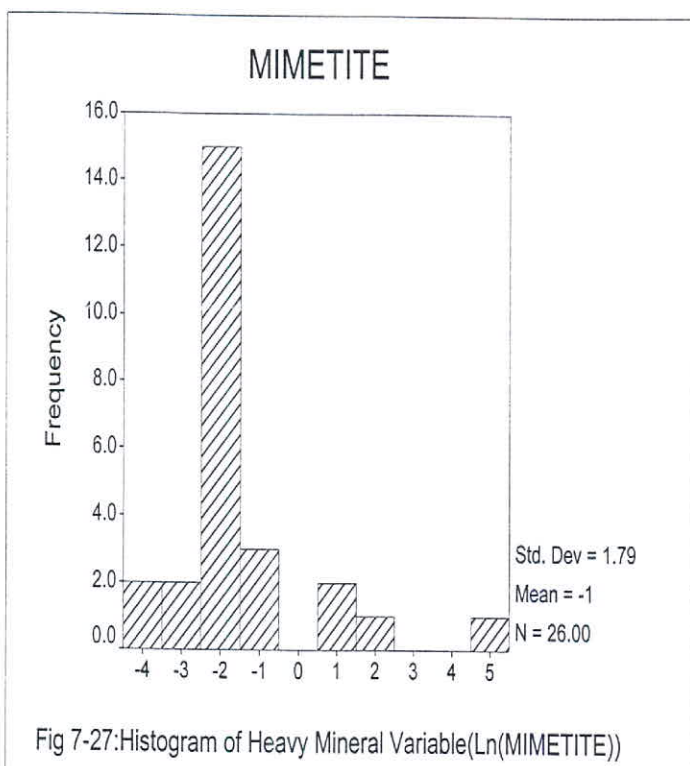


Fig 7-27:Histogram of Heavy Mineral Variable( $\ln(\text{MIMETITE})$ )

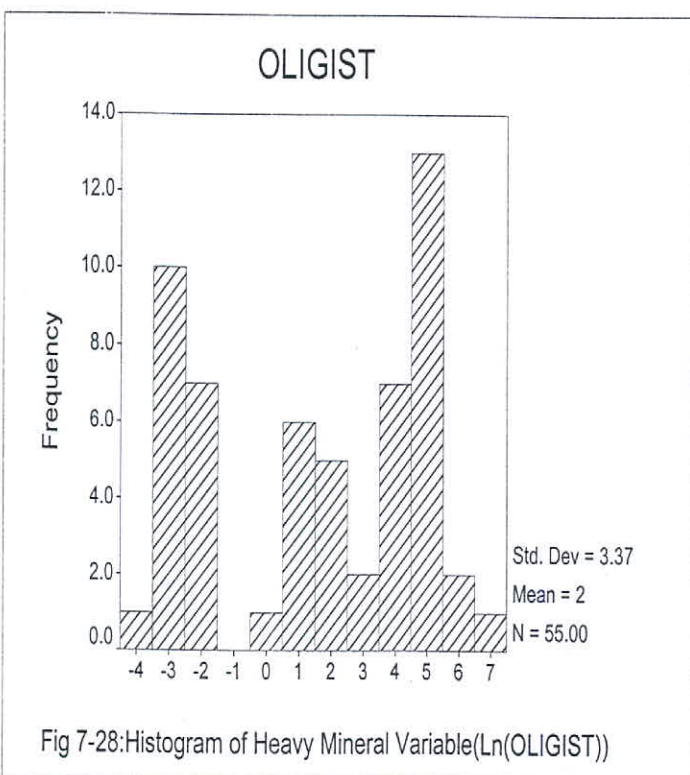
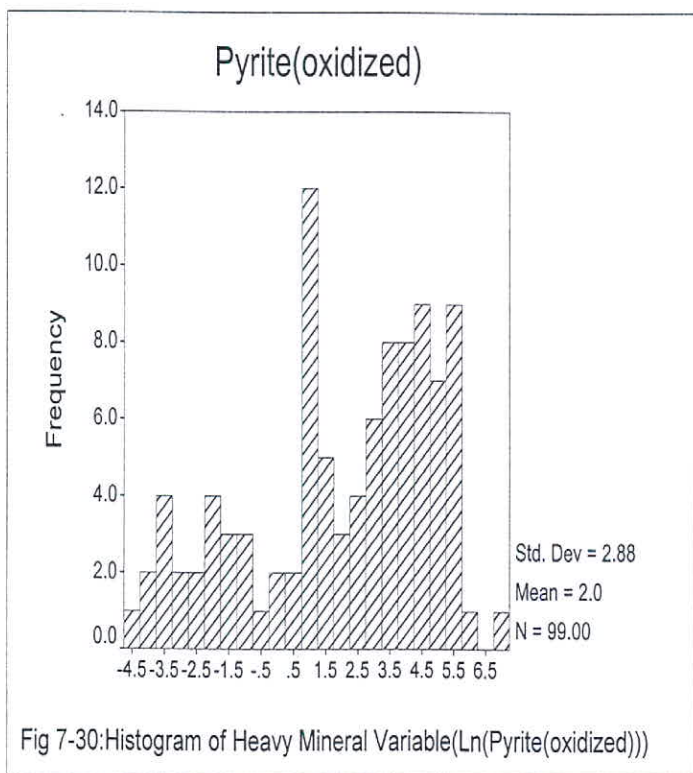
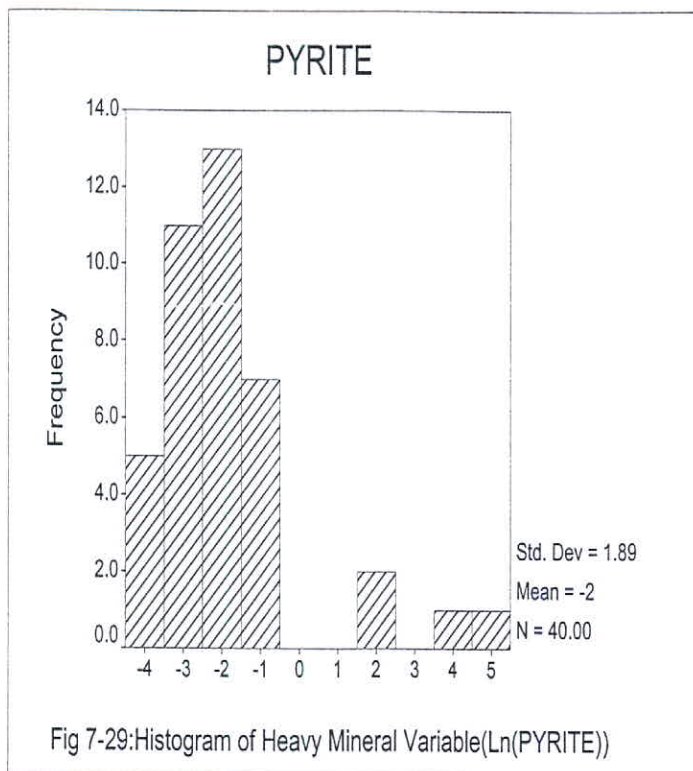


Fig 7-28:Histogram of Heavy Mineral Variable( $\ln(\text{OLIGIST})$ )



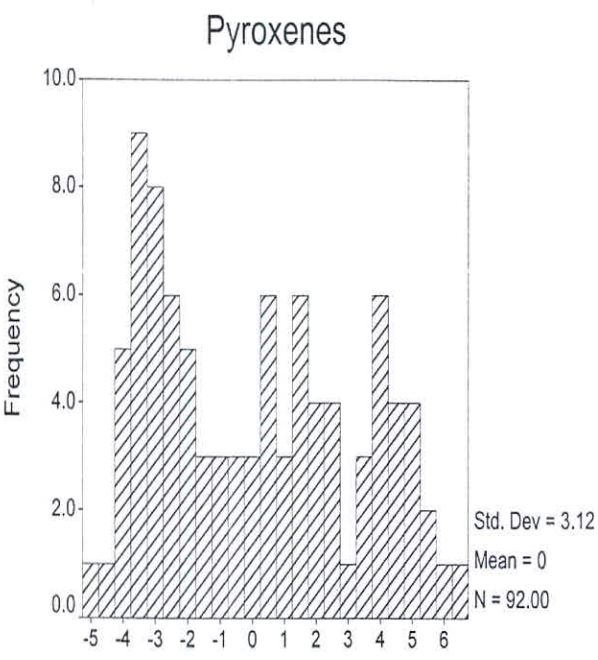


Fig 7-31: Histogram of Heavy Mineral Variable(Ln(Pyroxenes))

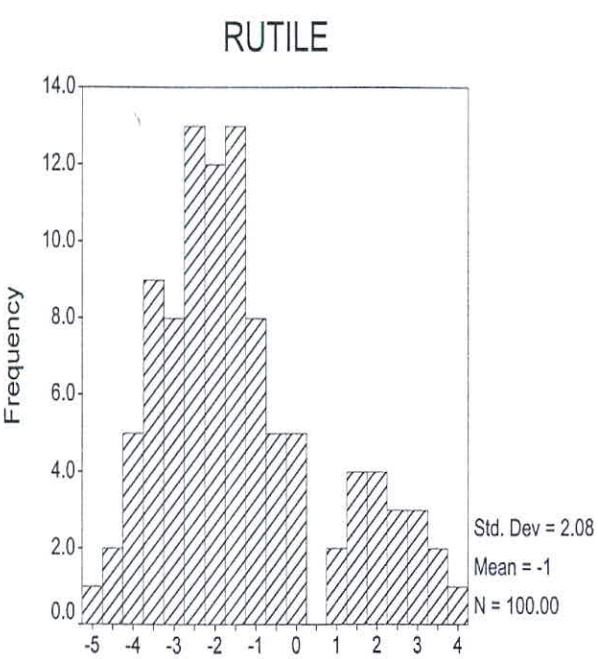


Fig 7-32: Histogram of Heavy Mineral Variable(Ln(RUTILE))

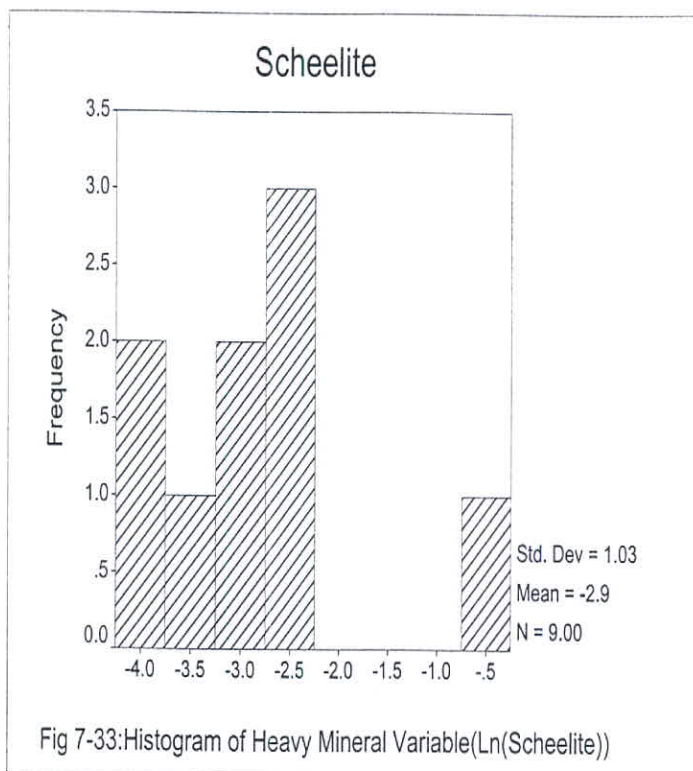


Fig 7-33:Histogram of Heavy Mineral Variable(Ln(Scheelite))

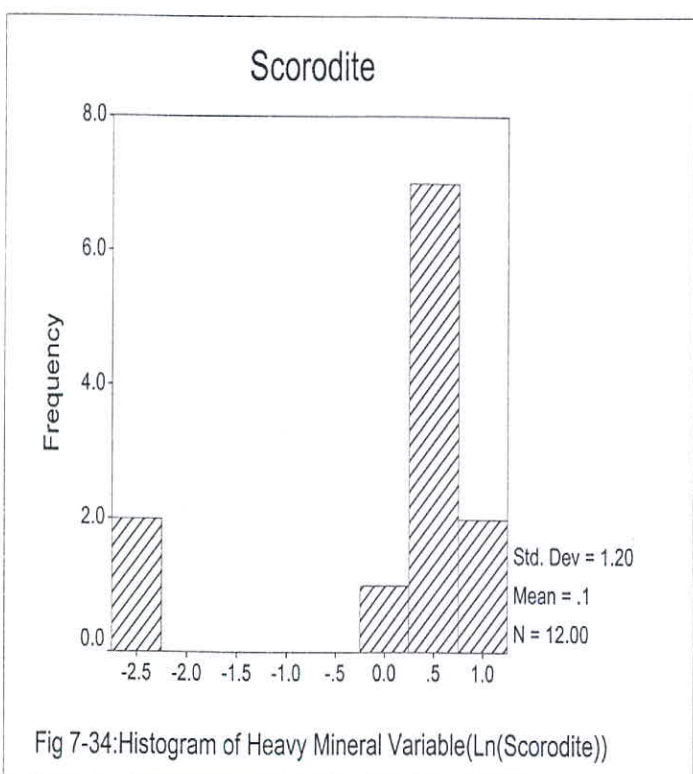


Fig 7-34:Histogram of Heavy Mineral Variable(Ln(Scorodite))

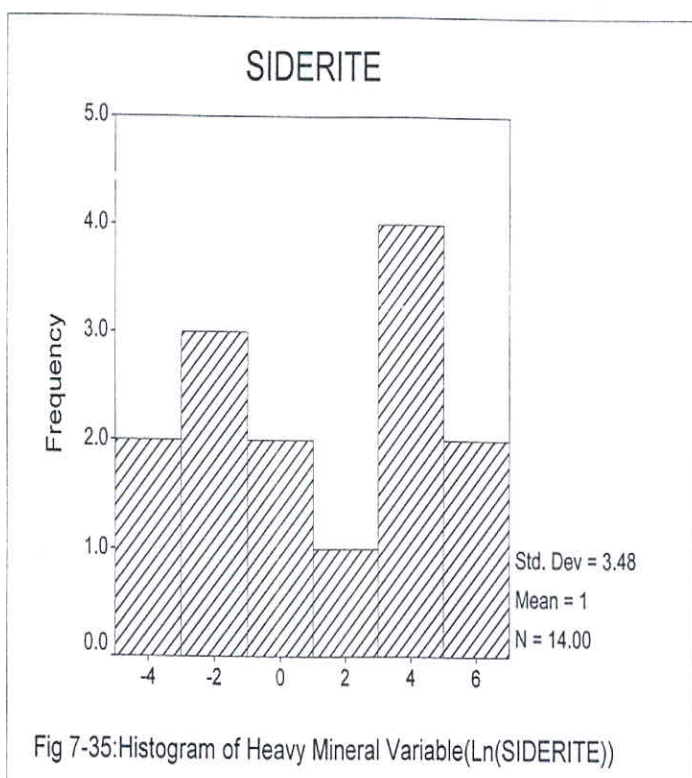


Fig 7-35: Histogram of Heavy Mineral Variable( $\ln(\text{SIDERITE})$ )

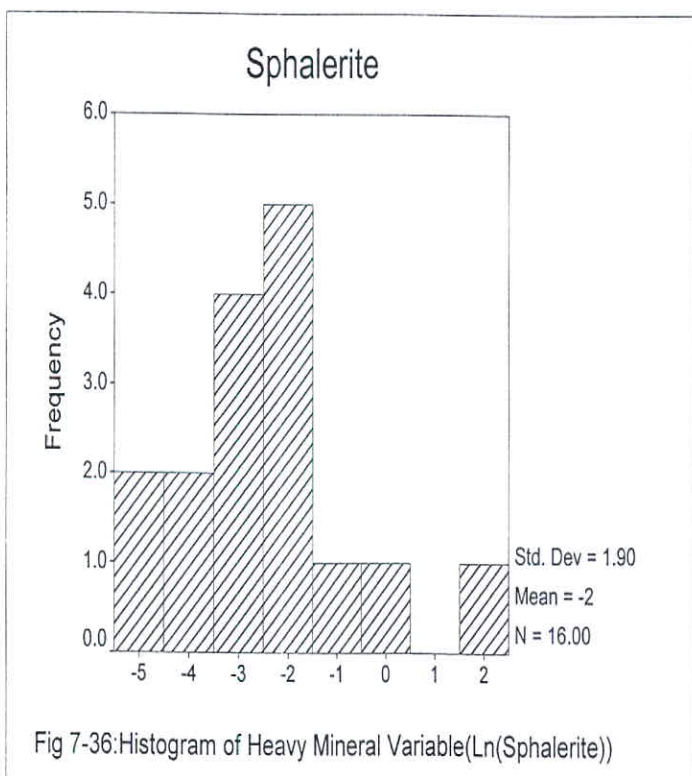


Fig 7-36: Histogram of Heavy Mineral Variable( $\ln(\text{Sphalerite})$ )

### SPHENE

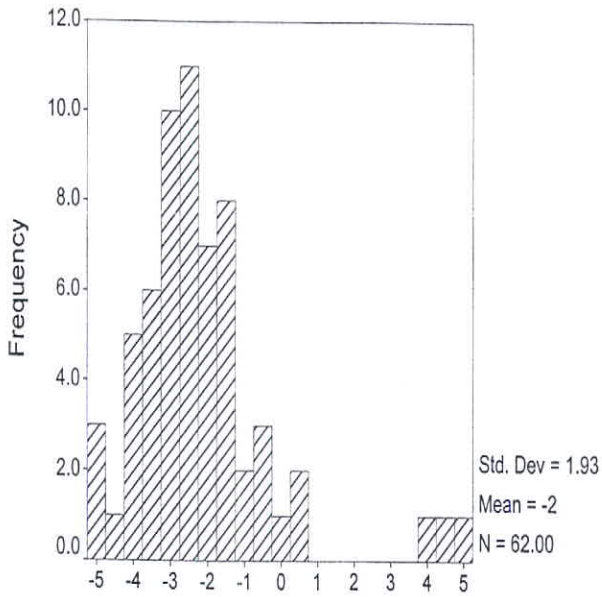


Fig 7-37: Histogram of Heavy Mineral Variable(Ln(SPHENE))

### STOLZITE

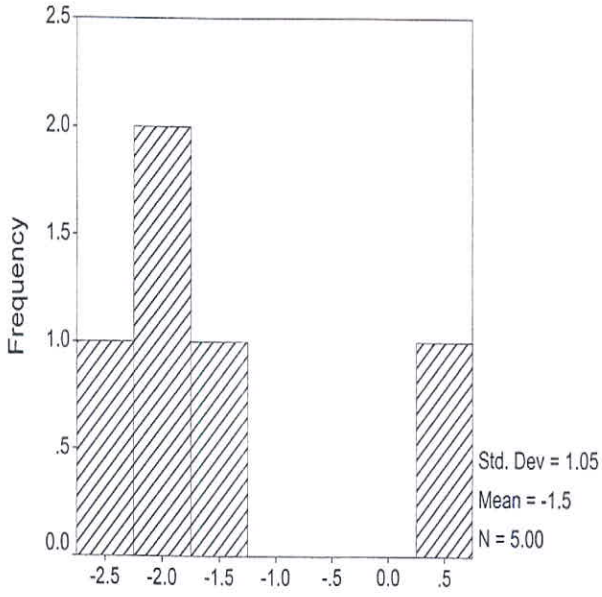
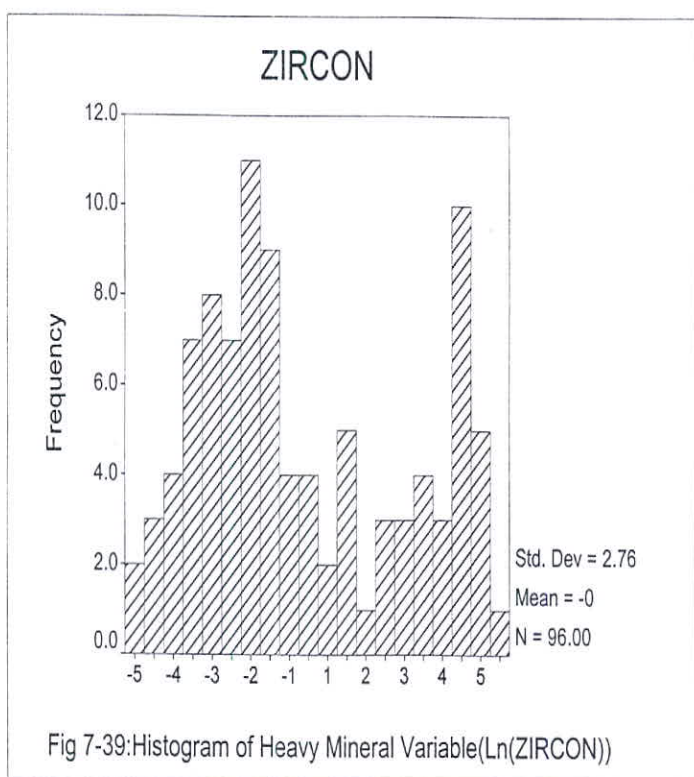


Fig 7-38: Histogram of Heavy Mineral Variable(Ln(STOLZITE))



موجود در جزء سنگین باشد. در برگه دامغان دندرورگرام شکل ۴۰-۷ سه دسته اصلی از کانیها را نشان میدهد.

دسته اول شامل کانیهای دسکلوزیت، میمیتیت، استولزیت، سروزیت، پیرومورفیت، اسکوردیت، گالن و فلوریت می‌گردد. گروه دوم کانیهای منیتیت، پیروکسن، گوتیت، الیزیت، پیریت، سلسیتین و آمفیبول را شامل می‌شود و گروه سوم در برگیرنده کانیهای هماتیت، لیمونیت، طلا، آناتاز، اسفالریت، مارکاسیت و ارسنوپیریت می‌باشد. گروه اول کلاستر معرف کانی سازی سرب و روی می‌باشد. گروه دوم بیشتر معرف حروجی‌های انوسن می‌باشد و از این لحاظ معرف لیتلوزی است و گروه سوم به نوعی معرف کانی سازی احتمالی طلا است، اگرچه وجود آناتاز در این زمینه چندان توجیه پذیر نیست.

در مجموع با استفاده از آنالیز کلاستر و بررسی روابط پاراژنزی کانه‌ها، ساخت متغیرهای زیر مدنظر قرار گرفت:

- ۱- مجموع کانیهای آهندار
- ۲- کانه‌های با ارزش (شامل تمام کانه‌های مرتبط با کانی سازی)
- ۳- گروه یک آنالیز کلاستر (مجموع دسکلوزیت، میمیتیت، استولزیت، سروزیت، پیرومورفیت، اسکوردیت و گالن)
- ۴- گروه سه آنالیز کلاستر (هماتیت، لیمونیت، طلا، اسفالریت، مارکاسیت و ارسنوپیریت) کلیه متغیرهای فوق بر اساس مقادیر نرمایلایز شده بین صفر و یک داده‌ها تهیه شده است.

### Dendrogram using Average Linkage (Within Group)

Rescaled Distance Cluster Combine

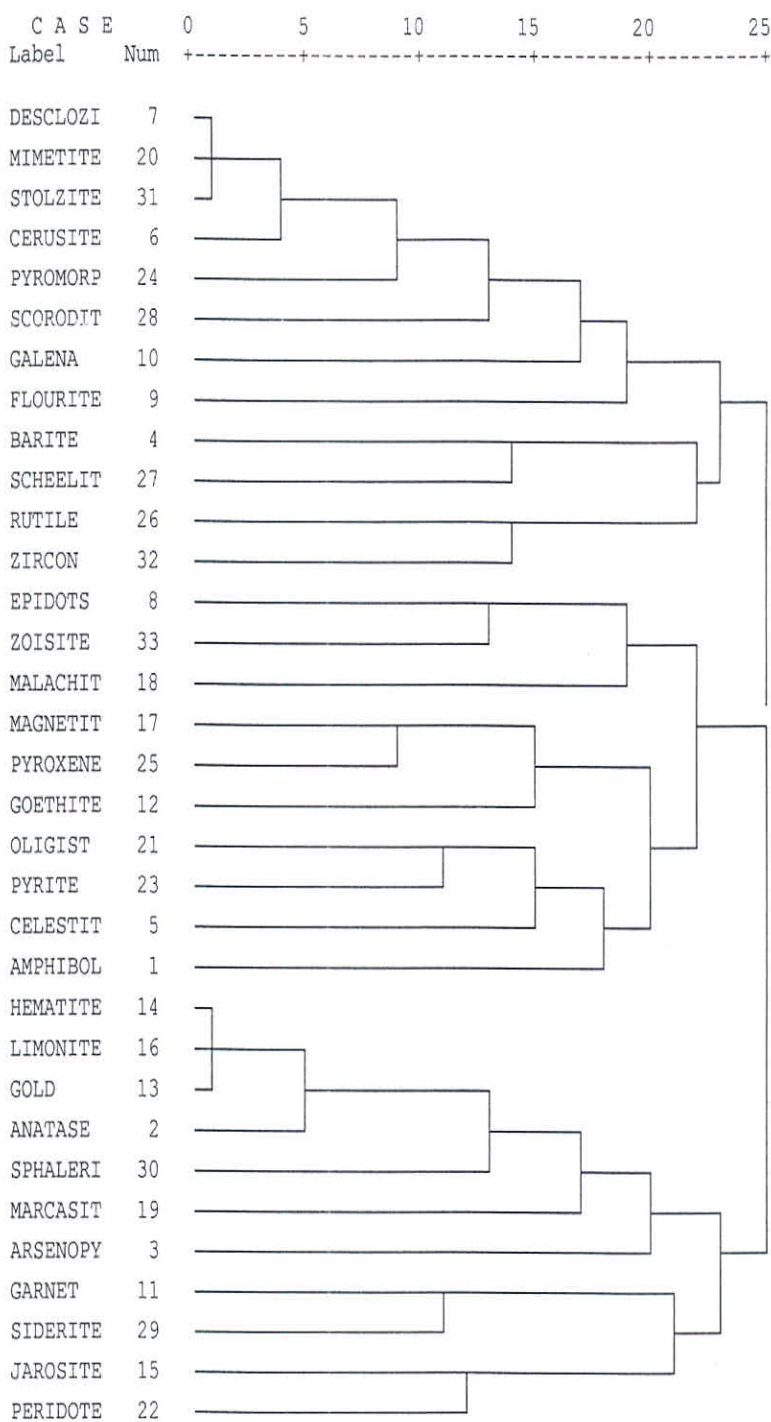


Fig 7-40:Dendrogram of Heavy Mineral Variables in Damghan 1/100000 Sheet.

## ۶- تخمین شبکه ای و رسم نقشه های متغیرهای کانی سنگین

تکنیک تخمین شبکه ای که اساس رسم نقشه ژئوشیمیابی و کانی سنگین را تشکیل می دهد در فصول قبل گزارش مفصلأً شرح داده شده است. با استفاده از این تکنیک برای ۵ متغیر فوق الذکر اقدام به رسم نقشه و نهایتاً مشخص سازی مناطق آنومال این متغیرها گردیده است. این متغیرها نسبتاً انطباق خوبی با هم داشته اند و مناطق آنومال بدست آمده عبارتند از :

برگه ۱۰،۰۰۰ : ۱ امیر آباد

۱- محدوده شمال غرب امیر آباد ، در دره آکسی و دره کاری واقع می باشد و نسبت به متغیر های کانیهای مس آزاد طلا ، کانیهای آهن ، ملاکیت و گالن آنومالی نشان داده است.

۲- محدوده شمال مزرعه فیروز آبادی نسبت به کانی طلا آنومالی می باشد.

۳- در ناحیه شمال باخته حاجی آباد ، محدوده نسبت به کانیهای سینابر و ملاکیت آنومالی می باشد.

۴- در محدوده شمال شرق امیر آباد ، جنوب آهوان آنومالیهای نسبت به کانیهای آهن ، ملاکیت و طلا در مطالعات کانی سنگین مشاهده شده است.

برگه ۱۰،۰۰۰ : ۱ طالو

۱- در قسمت جنوب غرب برگه طالو ، در محدوده شیریند ، نمونه های کانی سنگین نسبت به سرب آزاد و اسفالریت مقادیر قابل ملاحظه ای داشته است.

۲- در محدوده تموزاع (کوه زنگی) در نمونه های کانی سنگین ، کانیهای ملاکیت و گالن مشاهده شده است.

۳- محدوده شمال محمد آباد ، نمونه های کانی سنگین نسبت به ملاکیت و گالن مقادیر قابل ملاحظه ای داشته است.

۴- در قسمت شمال باخته طالو مقادیر قابل توجهی از کانیهای ملاکیت ، کانیهای آهن ، گالن و اسفالریت مشاهده شده است.

۵- در محدوده طرره ، نمونه های کانی سنگین نسبت به کانیهای گالن ، کانیهای آهن ، اسفالریت و ارسنو پیریت مقادیر بالایی نشان داده است.

۶- در شمال برگه طالو ، در اطراف کوه سرتگ ، بر اساس مطالعات کانی سنگین کانیهای سرب آزاد ، ملاکیت ، گالن ، اسفالریت و طلا مشاهده شده است.

## برگه ۱۰۰: ۵ قلعه

- ۱- در شمال برگه قلعه در منطقه حاجی برد، مجموع کانیهای طلا، کانیهای آهن، اسفالریت و گالن در نمونه های کانی سنگین مقادیر بالای داشته است.
- ۲- در قسمت غرب برگه قلعه، واقع در جنوب کوه گرم کش کانیهای اسفالریت، برزنت، گالن و ارسن پیریت در نمونه کانی سنگین مقادیر بالای داشته است.

## ۷- نتایج حاصل از نمونه های مینرالیزه

در بررسیهای اکتشافی ژئوشیمیابی ناحیه ای، به دلیل بروز خطا ناشی از تغییرات سنگ بستر، تغییرپذیری مقدار مواد آلی و عناصر جذب کننده مانند آهن و منگنز کلوئیدی و... در فاز کترول آنومالی ها می تواند در انتخاب انواع مناطق مرتبط با کانی سازی بسیار مفید واقع گردد. در این پژوهه از طریق برداشت نمونه های کانی سنگین، نمونه های مینرالیزه و آتراسیون و نیز نمونه های سنگی از شکستگی های محل عبور محلول های کانی سازی (Plumbing System) در محدوده آنومالیهای ژئوشیمیابی، به کترول آنومالیهای ظاهری اولیه اقدام گردیده است. در این صورت می توان نتایج حاصل از روش های مختلف در یک مدل را مورد بررسی قرار داد و از این طریق به ارزیابی نهایی مناطق آنومال پرداخت.

در این پژوهه در محدوده برگه ۱۰۰، ۱۰۱: دامغان و در محدوده آنومالیهای ژئوشیمیابی اقدام به برداشت ۴۹ نمونه از زون های مینرالیزه محل گردیده است. این نمونه ها در محدوده زون های آنومالی یا در اطراف آنها از رگه های سیلیسی، آلتره شده هماتیتی، لیموئیتی و کلاً زون های مینرالیزه برداشت گردیده است. تمامی ۴۹ نمونه جهت آنالیز شیمیابی به آزمایشگاه فرستاده شده است که نتایج آن در جدول (۷-۱) آورده شده است.

## ۸- آنالیز ویژگی نمونه های مینرالیزه

این آنالیز جهت رتبه بندی نمونه ها و عناصر اندازه گیری شده صورت می پذیرد. این آنالیز عناصر کانساری را از جهت پتانسیل کانی سازی آنها رتبه بندی می کند. جدول (۷-۲) رتبه بندی نمونه ها را بر حسب پتانسیل آنها به صورت نزولی نشان می دهد اعداد مربوط به رتبه هر یک از نمونه ها و متغیرها بر اساس رتبه های معادل ۱، ۲ و صفر به ترتیب برای کانی سازی کانساری، کانی سازی غنی شده و کانی سازی پراکنده و عقیم هر یک از عناصر در نمونه محاسبه گردیده است.

بدینصورت که در ماتریس نمونه عنصر مقدار فراوانی یک عنصر یا در حد کانی سازی کانساری، یا در حد کانی سازی غنی شده و یا در حد کانی سازی پراکنده بوده است. در این صورت برای هر یک به ترتیب اعداد ۱، ۲، ۰ و صفر در ماتریس ذکر شده قرار داده می‌شود. ماتریس حاصل یک بار برای متغیرهای عنصری و یک بار برای نمونه‌ها آنالیز ویژگی می‌شود. داده‌های این جدول معرف آنست که بیشترین امتیاز کسب شده برای کانی سازی در نمونه DT-146M1 با ۹/۱۷ امتیاز و مینیمم آن یعنی صفر در چندین نمونه مشاهده می‌شود.

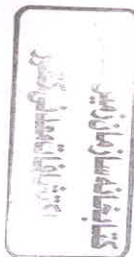
به منظور تعیین پتانسیل کانی سازی نسبت به عناصر کانساری در محدوده برگه ۱۰۰، ۰۰۰: ۱۰۰ دامغان آنالیز ویژگی برای عناصر نیز صورت پذیرفته است. که نتیجه آن در جدول (۳-۷) آمده است.

داده‌های این جدول معرف آنست که بیشترین پتانسیل کانی سازی در نمونه‌های مینزالزه متعلق به عنصر Zn با امتیاز ۱۴/۶۳ و به ترتیب نزولی مربوط به عناصر و اکسیدهای Fe<sub>2</sub>O<sub>3</sub> با ۴/۶، Ba با ۱/۵۸، MnO<sub>۲</sub> با ۴/۱۲، Mo<sub>۲</sub> با ۲/۲۴، Pb<sub>۲</sub> با ۳/۷۴، Hg<sub>۲</sub> با ۱/۴ و عر.

امتیاز عناصر Cu, Ni, Sb, W, As, Ag, B, Be, Bi, Co, Sn, Au در این آنالیز صفر است که تا حدودی نشان از عدم پتانسیل کانی سازی در این منطقه است. گرچه این نتیجه حاصل از این روش است و روش‌های دیگر نتایجی متفاوت ارائه میدهد.

**Tabel 7-1 : Analytical Results of Mineralized , Plumbing System Samples in Damghan 1/100000 Sheet.**

NO	As ppm	Sb ppm	Hg ppm	Mo ppm	Pb ppm	Sn ppm	Au ppb	Fe2O3 %	MnO %	Ag ppm	B ppm	Ba ppm	Be ppm	Bi ppm	Co ppm	Cu ppm	Ni ppm	Sn ppm	W ppm	Zn ppm
DT-100M1	5.68	0.5	0.05	1.2	9.9	2	0.7	2.2	0.04	<1	<10	85	<2	<10	20	11	21	<10	*	14
DT-104M1	8.86	0.5	0.088	2.1	35	2	1.5	3.5	<.01	<1	49	157	<2	<10	16	18	18	<10	<10	13
DT-104M2	8.41	0.5	0.05	3.3	13.5	2	1	2.2	<.01	<1	<10	124	<2	<10	20	6	29	<10	*	24
DT-144M1	5	0.5	0.05	0.83	5.6	2	0.94	15	0.2	<1	<10	177	<2	<10	24	<5	20	*	*	19
DT-146M1	14.77	23.03	0.05	168	49	2	0.9	18.2	<.01	<1	13	>3500	<2	<10	31	21	342	<10	*	19
DT-15M1	623	3.79	0.05	205	430	2	0.7	32.4	0.02	<1	158	80	5	<10	22	97	52	*	*	7645
DA-178M	34.32	49.37	0.66	22.4	97	2	1.2	42	<.01	<1	484	51	<2	<10	16	25	50	<10	*	45
DA-180M	15.91	1.29	0.099	1.9	120	2	0.7	2.2	0.01	<1	<10	312	<2	<10	25	9	33	<10	*	809
DA-190M1	62.72	6.74	1.17	2.62	13	2.05	3.6	10.3	0.1	<1	<10	289	<2	<10	38	60	62	<10	<10	109
DA-190M2	509	17.15	1.3	25	72	2	1	13	0.13	<1	55	96	<2	<10	17	16	36	<10	*	716
DT-21M1	119	4.39	0.24	70	140	2	0.94	7.6	0.21	<1	<10	1532	<2	<10	23	24	59	<10	*	708
DT-21M2	6.49	0.5	0.05	3.63	12	2	0.7	1	0.18	<1	19	793	<2	<10	27	6	30	<10	*	<5
DT-21M3	9.32	1.09	0.12	18.8	17.5	2	0.7	2.1	1.85	<1	<10	1857	<2	<10	30	<5	88	*	*	249
DA-234M1	28.18	0.5	0.05	0.66	2.7	2	0.7	1	<.01	<1	<10	36	<2	<10	27	11	26	*	*	<5
DA-234M2	1.05	4.22	0.074	3.1	680	2	1.2	14.6	<.01	<1	<10	59	2	<10	27	10	85	*	*	4179
DA-234M3	21.13	0.62	0.05	0.61	4.2	2	0.7	1	<.01	<1	<10	51	<2	<10	26	8	26	<10	*	<5
DT-24M	58.63	1.62	0.076	5.4	54	2	0.9	3.3	0.25	<1	23	393	2	<10	25	<5	38	*	*	481
DQ-277M1	13.18	0.5	0.081	2.8	28	2	0.8	15.4	0.29	<1	86	220	2	<10	23	15	56	<10	*	261
DQ-277M2	1.39	0.5	0.055	0.5	5.3	2	0.7	1.1	<.01	<1	<10	147	<2	<10	28	21	30	*	*	<5
DQ-306M1	59.54	0.98	0.054	3.8	3	2	2.3	54.4	1.21	<1	291	1852	5	<10	45	45	26	*	*	<5
DQ-306M2	5	0.58	0.12	5.5	10.5	2	1.1	1.2	<.01	<1	<10	31	<2	<10	16	10	15	<10	*	<5
DQ-306M3	32.27	0.97	0.05	2.4	25	2	0.8	25.3	0.36	<1	84	203	3	<10	26	13	62	<10	*	45
DQ-306M4	5.33	0.5	0.05	7.9	14.5	2	1.2	1	<.01	<1	<10	46	<2	<10	26	24	29	<10	*	<5
DQ-324M1	9.77	0.5	0.087	0.63	19	2	1	2.3	<.01	<1	<10	105	2	<10	31	18	40	<10	*	36
DT-32M	15.68	1.08	0.077	6.1	38	2	1.2	6.1	0.18	<1	107	314	<2	<10	28	20	50	*	*	104
DQ-347M1	16.14	0.5	0.064	1.8	3.4	3.7	1.1	11.2	0.05	<1	9198	305	4	<10	29	16	22	<10	<10	<5
DQ-347M2	11.59	1.48	0.05	1.45	4.9	2.55	0.7	9.3	0.06	<1	1601	378	4	<10	37	186	70	<10	<10	117
DQ-347M3	150	0.59	0.29	0.5	6.7	2	1.6	44	0.57	1.7	177	89	3	<10	20	<5	<10	*	*	<5
DQ-389M	6.59	1.8	0.25	1.7	3.7	2	1.5	11.6	0.22	<1	47	267	2	<10	32	15	53	<10	*	14
DQ-391M	51.82	5.16	0.2	2	16.5	2.7	0.7	18.4	0.35	<1	77	271	2	<10	36	45	27	<10	*	<5
DQ-406M1	9.77	0.77	0.068	2.96	6.7	2	1.2	12.1	0.36	<1	26	>3500	2	<10	62	22	77	<10	*	<5
DQ-406M2	3.77	0.5	0.067	0.5	2.5	2	0.7	3	0.15	<1	<10	>3500	<2	<10	34	6	42	<10	*	<5
DQ-406M3	8.86	0.7	0.099	1.15	20	2	1.9	4.3	0.04	<1	222	632	3	<10	27	36	42	<10	<10	68



**Tabel 7-1 : Analytical Results of Mineralized , Plumbing System Samples in Damghan 1/100000 Sheet.**

NO	As	Sb	Hg	Mo	Pb	Sn	Au	Fe2O3	MnO	Ag	B	Ba	Be	Bi	Co	Cu	Ni	Sn	W	Zn
	ppm	ppm	ppm	ppm	ppm	ppm	ppb	%	%	ppm	ppm	ppm	ppm	ppm	ppm	ppm	ppm	ppm	ppm	
DT-54M1	19.54	1.79	0.12	2.4	31	2	0.7	1.8	<.01	<1	<10	291	<2	<10	24	<5	32	*	*	774
DT-54M2	233	2.01	0.05	22.18	59	2	0.94	16.6	0.03	<1	127	237	2	<10	15	<5	40	<10	*	246
DT-54M3	7.95	0.96	0.14	5.6	9.8	2	1.8	3.1	2.76	<1	<10	3422	<2	<10	29	<5	102	*	*	195
DT-57M1	17.95	6.32	0.11	17.2	165	2	1.2	88.7	0.05	3.5	582	67	<2	*	<5	524	123	*	*	707
DT-58M1	7.4	0.7	0.06	6	14	2	1.4	2.9	<.01	<1	<10	>3500	<2	<10	23	<5	34	<10	*	31
DT-58M2	24.58	14.29	0.28	14	31	2	1.5	31.1	0.35	1.3	130	239	<2	<10	35	336	109	*	*	200
DT-58M3	14.77	1.16	0.19	21.5	730	2	1.6	42.2	0.3	<1	177	151	<2	<10	67	<5	125	*	*	541
DT-65M1	7.11	1.11	0.31	2.3	26	2	1.2	11	0.03	<1	19	881	<2	<10	32	38	65	<10	<10	51
DT-65M2	5.38	0.5	0.05	4.68	5.6	2.8	1.7	24.7	0.33	<1	74	192	2	<10	90	76	133	<10	*	33
DT-6M1	31.82	1.81	0.056	2.6	10.5	2	1.2	6.5	0.13	<1	<10	107	<2	<10	24	30	36	*	*	232
DT-6M2	4.71	0.53	0.05	0.78	21.5	2	1.1	22.2	1.01	<1	16	82	<2	<10	22	<5	42	*	*	27
DT-75M	54.54	0.88	0.51	18.15	22	3.9	1.3	7.2	0.37	<1	16	529	3	<10	68	122	69	<10	<10	31
DT-90M	6.14	0.5	0.05	0.92	9.8	2	0.9	39.9	0.57	<1	203	378	4	<10	73	38	193	<10	*	125
DT-94M	17.33	0.5	0.074	3.29	29.5	2	1.4	5.3	0.04	<1	46	152	3	<10	24	17	44	<10	<10	307
DT-96M	26.14	0.5	0.21	2.47	105	2	0.9	10.1	<.01	<1	63	400	<2	<10	15	8	24	<10	<10	223
DT-97M	19.77	1.81	0.29	4.7	265	2	0.8	3.8	<.01	<1	11	147	<2	<10	20	23	24	<10	*	178

Table 7-2: Results of Characteristic Analysis for Mineralized Samples Based on Ginsburg Limits in Damghan 1/100,000 Sheet.

Sample No.	Rang of Score	Sample No.	Rang of Score
DT-146M1	9.17	DA-234M3	0
DA-234M2	7.48	DT-24M	0
DT-57M1	6.78	DQ-277M1	0
DT-15M1	4.69	DQ-277M2	0
DA-190M2	4.24	DQ-306M2	0
DA-180M	3.74	DQ-306M3	0
DT-21M1	3.74	DQ-306M4	0
DT-54M1	3.74	DQ-324M1	0
DQ-306M1	3.46	DT-32M	0
DQ-347M3	2.45	DQ-347M1	0
DT-21M3	2.00	DQ-347M2	0
DQ-406M1	2.00	DQ-389M	0
DQ-406M2	2.00	DQ-391M	0
DT-54M3	2.00	DQ-406M3	0
DT-58M1	2.00	DT-54M2	0
DT-6M2	2.00	DT-58M2	0
DA-190M1	1.41	DT-65M1	0
DT-58M3	1.00	DT-65M2	0
DT-100M1	0	DT-6M1	0
DT-104M1	0	DT-75M	0
DT-104M2	0	DT-90M	0
DT-144M1	0	DT-94M	0
DA-178M	0	DT-96M	0
DT-21M2	0	DT-97M	0
DA-234M1	0		

Table 7-3: Results of Chracteristic Analysis for Variables in Minralized Samples Based on Ginsburg Limits in Damghan 1/100,000 Sheet.

Variable	Ranc of Score
Zn	14.63
Fe2O3	6.40
Ba	4.58
MnO	4.12
Mo	3.74
Hg	2.24
Pb	1
Cu	0
Ni	0
Sb	0
W	0
As	0
Ag	0
B	0
Be	0
Bi	0
Co	0
Sn	0
Au	0

## ۹- مطالعه تغییرپذیری دانسته گسلها

### ۱-۹- مقدمه

ارتباط کانی سازی با توسعه زون های شکسته شده در شرح خدمات آمده است از آن جا که در تشکیل بسیاری از کانسارها، سیالات کانه ساز نقش اساسی دارند و برای حرکت آنها نیاز به کانالهایی در ابعاد مختلف (از چندین سانتیمترتا برابر ادامی کروسکوبی) می باشد (Plumbing System) و از طرفی توسعه چنین سیستم هایی از مجاری در زون های شکسته شده (چه در مناطق کششی و چه در مناطق فشاری) محتمل تر است. لذا مطالعه زون های شکسته شده و مقابله نقشه توزیع آنmalی ها با نقشه توزیع شکستگی ها می تواند در ارزیابی آنmalیها مفید واقع شود. نکته اساسی در این مورد آن است که زمان تشکیل شکستگی در این خصوص بسیار با اهمیت است، زیرا بدیهی است که تها شکستگی هایی که قبل از فعل شدن پدیده کانی سازی توسعه یافته باشند می توانند در ایجاد کانال ها و تسهیلات لازم جهت حرکت سیالات گرمایی و تشکیل کانسارهای تیپ ابی ژنتیک هیپرژن مؤثر باشند.

بنابراین شکستگی هایی که بعد از کانی سازی توسعه می یابند ممکن است فقط بتوانند در توسعه هاله های ثانوی آنها و تشکیل زون غنی شدگی اکسید و یا احیایی از نوع ابی ژنتیک سوپرژن مؤثر واقع شوند. البته توسعه شکستگی های نوع اخیر موجب تسهیل در فرایند اکسیداسیون عناصر کانساری و در نتیجه افزایش قابلیت تحرک آنها و نهایتاً توسعه هاله های ثانویه آنها خواهد شد.

از آنجا که در بررسیهای اکتشافی ناحیه ای در مقیاس ۱:۱۰۰،۰۰۰ (الدازه گیری شکستگی ها امکان پذیر نیست. لذا توصیه شده است تا از طریق مطالعه دانسته گسل ها به محدوده زون های شکسته شده دست یافت. بدیهی است، در زون های کششی ممکن است شکستگی هایی توسعه یابند که همراه با گسلش نباشند. (در این بررسی از نقشه زمین شناسی ۱:۱۰۰،۰۰۰ دامغان استفاده شده است).

### ۲-۹- روش مطالعه

در این پژوهه روش مطالعه دانسته گسل ها، که می توان آن را تا حدودی منعکس کننده دانسته شکستگی ها فرض کرد، به شرح زیر بوده است:

- ۱- انتخاب مبدأ مختصات در گوشه جنوب باخترا برگه زمین شناسی.

۲- رسم شبکه مربعی به ضلع ۲۵۰ متر ( $0.0625$  کیلومترمربع) برای نقشه زمین شناسی، بدین ترتیب برای هر برگه زمین شناسی حدود ۴۰۰۰ سلول به مساحت  $0.0625$  کیلومترمربع مشخص می‌گردد.

۳- اندازه گیری طول گسل‌های موجود در هر واحد شبکه و سپس حاصل جمع آنها بازه واحد سطح. در این مورد گسل‌هایی که دارای امتدادهای مختلف هستند، طول آنها بدون در نظر گرفتن امتدادشان در نظر گرفته می‌شود، زیرا اثر آنها در ایجاد شکستگی‌ها مشابه فرض می‌شود. این حاصل جمع طول گسل‌ها به مرکز همان واحد شبکه نسبت داده می‌شود.

۴- اندازه گیری آزمونت گسل‌های مختلف موجود در هر واحد شبکه و سپس رسم دیاگرام رز آنها و تحلیل نتایج حاصل شده.

۵- مطالعه آماری مجموع طول گسل‌ها و سپس رسم نقشه توزیع آنها در هر برگه.

### ۳-۹- داده‌های خام

پس از انجام مراحل مشروط در بندهای ۱، ۲، ۳، ۴، ۵ فوق، نتایج مربوط به مجموع گسل‌ها همراه مختصات هر سلول و آزمونت آنها در جدول داده‌های خام خلاصه می‌شود (جدول ضمیمه بر روی CD) در این جدول در هر واحد شبکه که گسل در آن وجود داشته یک عدد به عنوان مجموع طول گسل‌ها ثبت گردیده است ولی ممکن است، بک یا چندین آزمونت اندازه گیری شده باشد که بستگی به تعداد گسل‌ها و تنوع امتداد آنها در هر واحد شبکه دارد.

### ۴-۹- پارامترهای آماری مجموع طول گسل‌ها

در محدوده برگه  $1:100,000$  دامغان از حدود  $38400$  واحد شبکه، در  $3846$  واحد مجموع طول گسل اندازه گیری شده است که در حدود  $10\%$  مساحت تحت پوشش را شامل می‌شود. شکل ۴-۷ هیستوگرام توزیع دانسته گسلها را بر حسب متر بر کیلومترمربع نشان می‌دهد. همانطور که ملاحظه می‌شود این کمیت تابع توزیع فراوانی نزدیک به لاغ نرمال با چولگی منفی دارد. متوسط طول گسلهای موجود در واحد شبکه دارای گسل:  $191$  متر و حداقل آن  $729$  متر بوده است. معنی دارد. متوسط طول گسلهای موجود در واحد شبکه دارای گسل:  $191$  متر می‌باشد. حداقل طول گسل موجود در یک واحد شبکه دارای گسل:  $1$  متر و حداقل آن  $729$  متر بوده است. معنی دارد. این رقم برای رسم نقشه‌ها و تعیین محدوده هائی با شکستگی نسبی بالا ملاک است، زیرا دامنه فوقانی آن محدود به تعداد اندکی است. رقم معادل  $75\%$  فراوانی، حدود  $258$  متر می‌باشد. این رقم برای رسم نقشه‌ها و تعیین محدوده هائی با شکستگی نسبی بالا ملاک قرار گرفته است. از آنجا که این هیستوگرام تنها یک تابع توزیع را نشان می‌دهد، نمی‌توان واحدهای مختلف لیتلوزیکی را بر اساس میزان شکستگی‌های آنها طبقه‌بندی نمود.

## ۵-۹- پارامترهای آماری امتداد گسل ها

شکل ۴۲-۷ هیستوگرام توزیع امتداد شکستگی ها را در واحدهای شبکه ای دارای گسل نشان می دهد. این هیستوگرام به وضوح نشان می دهد که امتداد غالب در محدوده این برگه بین ۱۰۰ تا ۱۲۰ درجه قرار دارد. این امتداد با امتداد محور کمپلکس ساختمانی منطقه سازگاری دارد و از این رو به نظر می رسد که به وسیله عوامل ساختمان ناحیه ای کنترل می شود.

بنابراین تا آنجا که به امتداد گسل ها در محدوده این برگه مربوط می شود توسعه گسل ها و به تبع آن امتداد زون هایی با شکستگی بیشتر از روندهای تکتونیکی ناحیه ای تعیت می کند. شکل ۴۳-۷ دیاگرام روز داده های امتداد مربوط به گسل ها را نشان می دهد. این شکل معرف آن است که در امتداد ۱۰۰ تا ۱۱۰ درجه تعداد گسل ها چشمگیر است. قابل توجه است که این دیاگرام روز برابر اساس ۴۵۵۷ امتداد مختلف اندازه گیری ترسیم یافته است، بنابراین به نحوی اثر طول گسل در امتدادهای اندازه گیری شده موثر بوده است.

## ۶-۱- رسم نقشه دانسیته گسل ها

برای رسم نقشه توزیع دانسیته گسل ها می توان از روش ژئواستاتیستیک استفاده نمود. و این در صورتی است که ساختار فضایی لازم در واریوگرام ترسیم شده برای دانسیته گسل ها وجود داشته باشد. شکل (۴۴-۷) واریوگرام دانسیته گسل ها را که بر اساس تقریباً ۷۳۸۶۲۴۶ جفت ترسیم شده است، نشان می دهد. داده های موجود در این شکل معرف آن است که ساختار فضایی مناسبی برای چگالی گسل نمی توان متصور بود، چرا که تقریباً کل سقف واریوگرام را تغییرات تصادفی تشکیل می دهد. لذا نمی توان از روش های ژئواستاتیستیک استفاده نمود. و برای تهیه نقشه توزیع شکستگی ها از روش عکس مجذور فاصله استفاده شده است.

با توجه به توزیع چگالی گسل های اندازه گیری شده شعاع معادل ۱۰ کیلومتر برای تخمین مربوطه و رسم نقشه ها انتخاب گردید. نقشه شماره ۲ این توزیع را در محدوده برگه ۱:۱۰۰،۰۰۰:۱:۱۰۰ دامغان نشان می دهد. برای رنگ آمیزی نقشه مقادیر نظری ۰٪، ۲۵٪، ۵۰٪ و ۷۵٪ و ۹۰٪ فراوانی مقادیر تخمین زده شده، ملاک قرار گرفته است. بر اساس نقشه حاصله مناطق و زون های با شکستگی زیاد به عنوان مناطق پرپتانسیل تر مشخص گردیده است و در مدل سازی آنومالی های ژئوشیمیابی به کار رفته است.

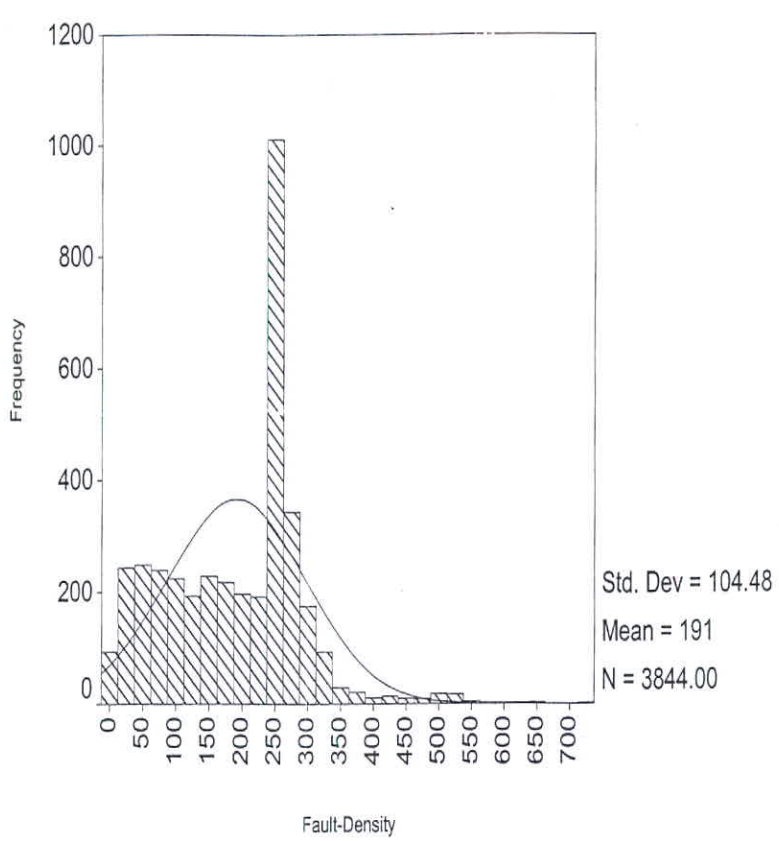


Fig. 7-41: Histogram of Distribution of Faults Density .

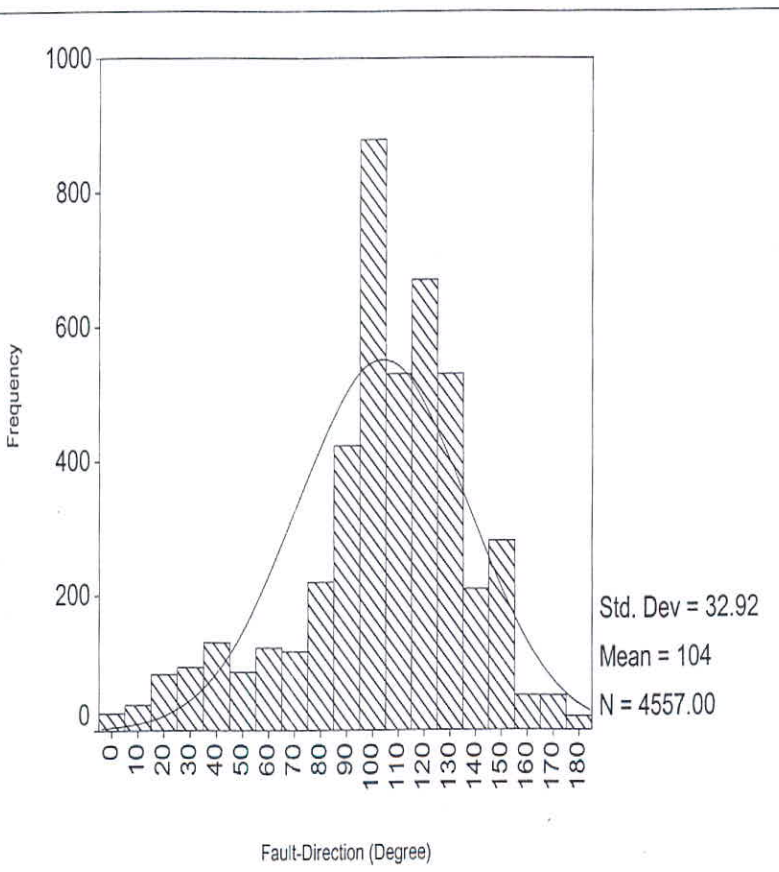
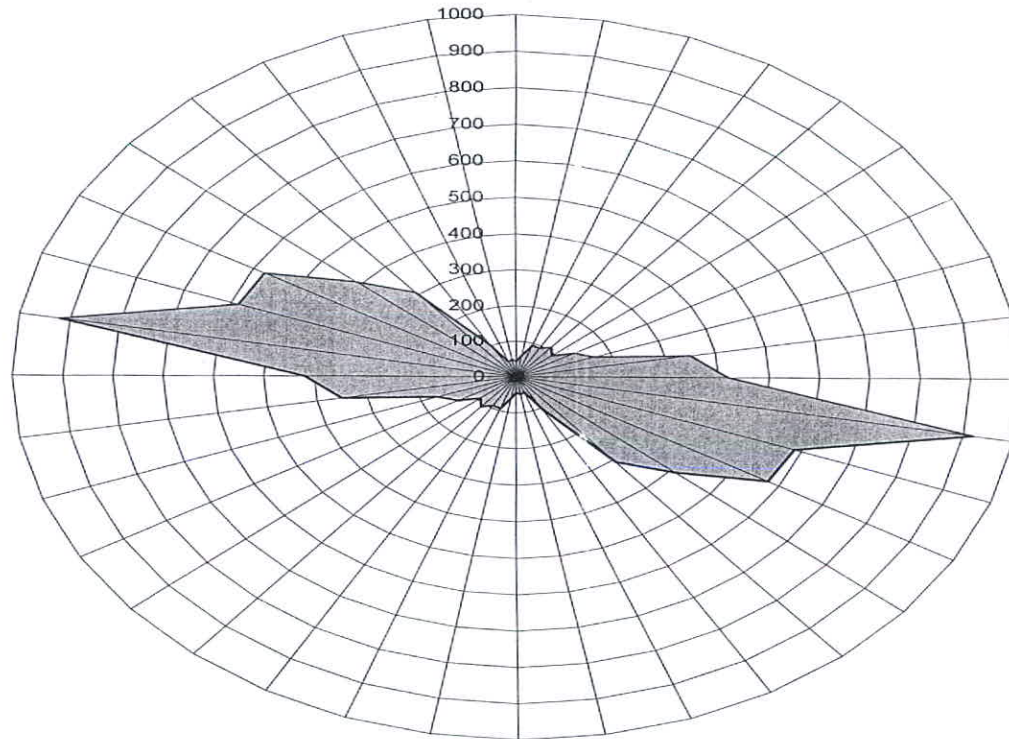


Fig. 7-42 : Histogram of Distribution of Faults Directions

**Fig. 7-43 : Rose Diagram of Faults Azimute Frequency in Damqan 1:100,000 Sheet**



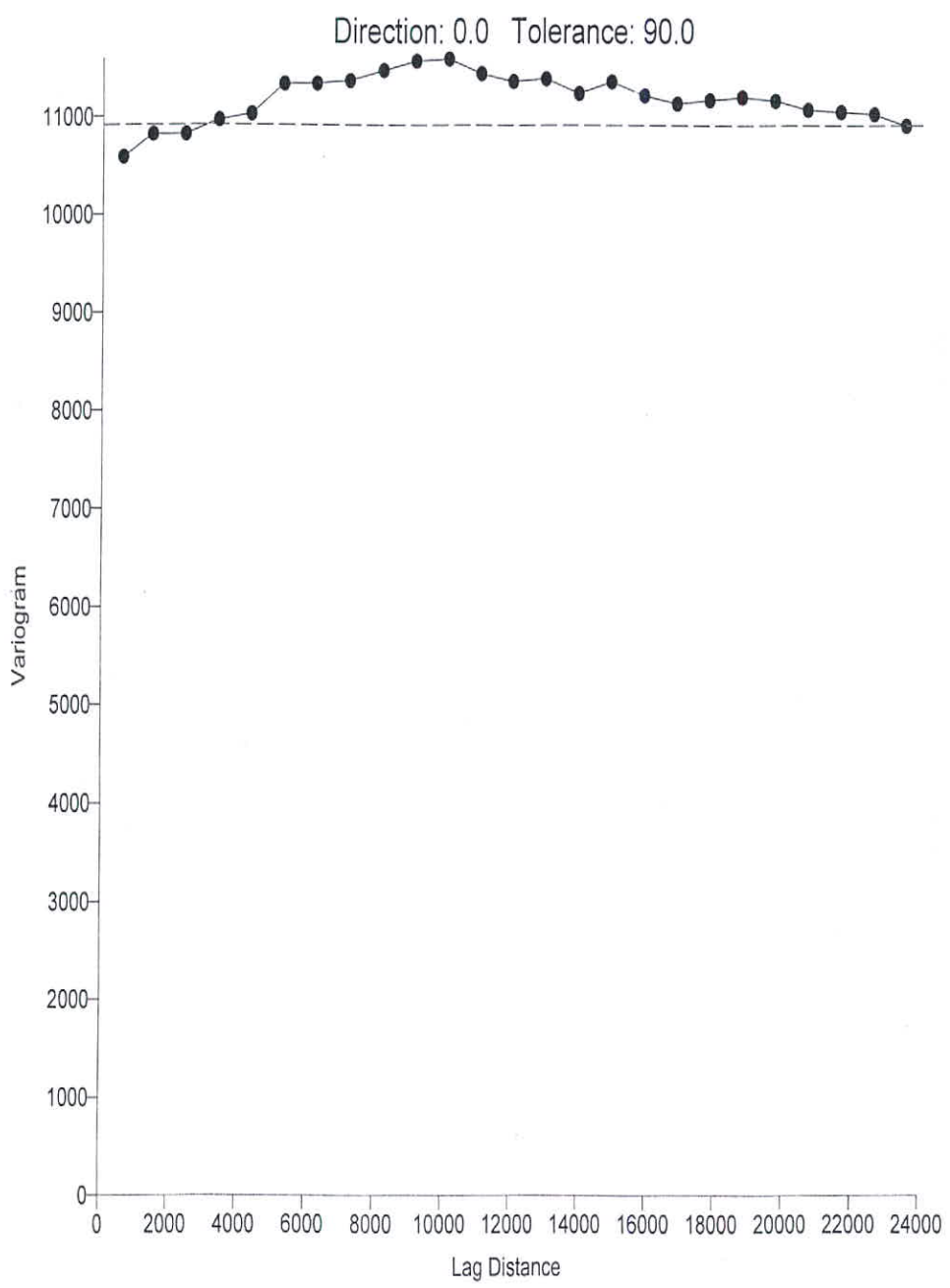


Fig. 7-44 : Variogram of Faults Density in Damqan 1:100,000 Sheet.

## فصل هشتم

### مدل‌سازی آنومالی‌های ژئوشیمیابی

#### ۱- روش کار

یکی از معضلات بررسی‌های اکتشافی ژئوشیمیابی، انتخاب مناطق امیدبخش و اولویت‌بندی آنها برای کارهای نیمه تفصیلی است. ریشه مشکلات مربوط به این کار آن است که ملاک ژئوشیمیابی معینی برای این کار تعریف نشده است و اگر هم تعریف شود ممکن است نتواند به طور موثر بکار برد شود. زیرا مجموعه داده‌های ژئوشیمیابی، کانی سنگین و نمونه‌های میزآلیزه و آتراسیون، تا زمانی که در چهار چوب یک مدل کلی مورد سنجش قرار نگیرند و میزان سازگاری کلیه مشاهدات مشخص نشود، از اعتبار لازم برای تصمیم‌گیری برخودار نخواهد بود و تکیه بر آنها می‌تواند رسیک عملیات اکتشافی را بالا برده و پیامدهای ناخوشایندی را به همراه داشته باشد.

برقراری چنین مدلی در اکتشافات ناحیه‌ای در مقیاس ۱:۱۰۰، ۱:۲۰۰ نیاز به کسب اطلاعاتی در زمینه‌های ناحیه‌ای و محلی دارد. اطلاعات ناحیه‌ای که برای یک منطقه آنومال شامل سکانس‌های موجود در منطقه، سنگ درونگیر، دامنه سنی آنها و شرایط تکثینیکی محیط مربوط به آنها است. شرایط محلی بیشتر محدود به ویژگی‌های موجود در محدوده آنومالی است که شامل ویژگی‌های محیط آنومالی از قبیل پدیده‌های ماقمایی، دگرگونی، رسوبی فعال در محدوده آنومالی و همچنین شرایط زمین شناسی ساختمانی محدوده آنومالی، پارازنرهای ژئوشیمیابی توسعه یافته در محدوده آنومالی، ویژگی‌های کانی شناسی فرآیندهای بعد از ماقمایی شامل انواع آتراسیون‌ها و ساخت و بافت سنگها و زون‌های کانی سازی احتمالی و بالاخره آنومالی‌های ژئوفیزیکی در محدوده آنومالی می‌باشد.

اگر بخواهیم اطلاعات فوق را، که شامل بیش از ۱۲۰۰ ویژگی تعیین شده است، برای ۹۳ تپ کانسار مدل‌سازی شده به کار ببریم، نیاز به نرم‌افزاری است که قادر باشد بر اساس منطق خاصی از روی ویژگی‌های معلوم در محل گسترش یک آنومالی معین محتمل‌ترین تپ کانسار احتمالی وابسته به مجموعه خاص مشاهده شده را پیش‌نهاد نماید. مناسب‌ترین منطق برای این کار، منطقی است که در آن هر کانسار مانند شیئی با خواص و ویژگی‌های معین احتمال پذیر مورد مطالعه قرار گیرد. بنابراین در محل هر آنومالی، تعدادی از خواص که مورد اندازه‌گیری قرار گرفته است، به عنوان خواص احتمالی آن شئی معلوم می‌باشد. وجود هر یک از خواص در اثبات تشابه با کانساري معین، از امتياز تعیین شده‌ای برخوردار است و نبود آن خاصیت در رد آن کانسار نیز امتياز تعیین شده معینی دارد. با توجه به مراتب فوق می‌توان با مطمئن بودن از وجود بعضی از خواص و نبود بعضی از خواص، محتمل‌ترین تپ کانسار وابسته را پیش‌بینی کرد که بیشترین و کمترین ناسازگاری را با مجموعه خواص مشاهده شده در محل توسعه آنومالی داشته باشد. چون در مورد بعضی از خواص نه به وجود و نه به نبود آن اطمینان کافی در دست نیست، لذا لازم است در نرم‌افزار مورد نظر حق انتخاب دیگری به مفهوم خاصیت تعیین نشده وجود داشته باشد که در سنجش سازگاری و ناسازگاری مجموعه خواص بی اثر باشد.

بالاترین امتیاز کاربرد چنین مدلی این است که پس از رتبه‌بندی آنومالی‌ها براساس سازگاری آنها با تیپ معنی از کانسارها، عملیات اکشافی احتمالی‌ای که باید در محدوده آن صورت پذیرد را با اولویت‌بندی پیشنهاد نماید. این کار از طریق مقایسه خواص داده شده در محل آنومالی با خواصی که محتمل‌ترین تیپ کانسار دارا می‌باشد، انجام می‌پذیرد.

## ۲- مدل‌سازی

### ۱-۱- مقدمه

مدل‌سازی آنومالی‌های رُثُوشیمیابی یکی از مهم‌ترین موضوعاتی است که در دهه گذشته در زمینه اکتشافات رُثُوشیمیابی مطرح شده است و به سرعت مسیر تحول خود را می‌گذراند. مدل‌سازی آنومالی‌های رُثُوشیمیابی را می‌توان مانند هر نوع مدل‌سازی دیگری در زمینه‌های مهندسی، نوعی روش ساده‌سازی دانست که موجب سهولت در شناخت واقعی تر پدیده‌ها و رخدادها (برای مثال کانی‌سازی از تیپ خاصی) می‌شود. بدینه است هر نوع مدل‌سازی با نوعی ساده‌سازی همراه است که ممکن است موجب بروز خطأ گردد. ریشه این خطأ می‌تواند در ارتباط با نادیده گرفتن عناصر و عوامل جزئی تر باشد. در مقابل این نقطه ضعف هر مدلی نقطه قوتی دارد و آن این است که ارتباط عناصر و عوامل اصلی یک پدیده و یا رخداد با مدل‌سازی روش‌تر و شفاف‌تر می‌شود، زیرا امکان سنجش درجه سازگاری و ناسازگاری عناصر و عوامل موجود در یک رخداد (برای مثال مجموعه خواص مشاهده شده در یک تیپ کانی‌سازی معین) با مدل‌سازی فراهم می‌گردد.

اگر داده‌های معرف یک تیپ خاصی از کانی‌سازی که در واقع مجموعه خواص آن تیپ کانی‌سازی است، در یک محیط معنی یافت شود می‌تواند دلالت بر رخداد آن تیپ کانی‌سازی داشته باشد. چنانچه خاصیتی بیگانه نسبت به مجموعه خواص فرق نیز مشاهده شود با مدل‌سازی می‌توان به بی‌اهمیت بودن آن پی برد. بر عکس اگر در مجموعه خواص سازگار از یک تیپ معین کانی‌سازی جای یک با چند خاصیت خالی باشد، می‌توان برای یافتن احتمالی آنها و تایید و تکذیب مدل به جستجوی هدف‌دار پرداخت. این جستجوی هدف‌دار خمیرمایه اصلی در طراحی برنامه اکشافی برای فاز بعدی است. بنابراین بدون مدل‌سازی نمی‌توان به تخمين قابل قبولی از احتمال پیدايش یک تیپ کانسار خاص (وابسته به مجموعه مشاهدات تجربی) در یک محیط زمین‌شناسی معین پرداخت. از نظر تاریخچه مدل‌سازی باید گفت که در قبل مدل‌سازی کانسار بیشتر بر اساس ژئو آنها صورت می‌گرفت و بدین دلیل کارآبی اکتشافی لازم را دارا نبود. ولی امروزه مدل‌سازی کانسار بیشتر بر اساس منطق شی گرایی است که در آن اساس کار بر وجود یا عدم ویژگی‌های مشترک معین قرار دارد. براساس این منطق هر تیپ کانسار خاص مانند شیئی می‌ماند که بوسیله مجموعه‌ای از خواص معین شناخته می‌شود، با این نگرش که پیدايش هر یک از خواص در این مجموعه حالت قطعی نداشته بلکه احتمال‌پذیر است و امکان بود و نبود آن با عددی بین صفر تا یک بیان می‌شود. چنین نگرش احتمال‌پذیری استفاده از منطق فازی را در مدل‌سازی کانسارها

اجتناب ناپذیر می‌سازد. به طور خلاصه اینیزه اصلی مدل‌سازی آنومالی‌های ژئوشیمیایی ارتباط دادن آماری آنها با نوع خاصی از کانی‌سازی است تا درجه سازگاری و ناسازگاری خواص اندازه‌گیری شده و مشاهدات مختلف مانند آنومالی‌های نک عنصری و پیدايش کانی‌های سنگین خاص و انواع خاصی از دگرسانی‌ها در سنگ درونگیر مینعین با سن معین مورد سنجش قرار گیرد. از این طریق می‌توان آن دسته از خواص ژئوشیمیایی، کانی‌سنگین، هوازدگی، دگرسانی، سنگدرونگیر و غیره که به طور تصادفی در مجموعه خواص مشاهده شده در یک ناحیه ثبت گردیده‌اند را شناخت و سپس آنها را به عنوان خواص ناسازگار از مجموعه خواص مشاهده شده حذف کرد. در ویرایش جدید نرم افزار مدل‌سازی کانساری<sup>۱</sup> بر اساس منطقی خاص که در آن برای قبولی هر ویزگی برای یک کانسار از مشخصه‌های هم خانواده آن به عنوان شاهد استفاده می‌شود دو عدد محاسبه می‌گردد. اولی که تحت عنوان Rank در جدول نامگذاری شده درصد احتمال پیدايش یک کانسار را مشخص می‌کند و عدد محاسبه شده بعدی تحت نام Score درصد سازگاری مدل مذکور با منطقه مورد بررسی را مشخص می‌کند. لذا حاصل ضرب این دو پارامتر (R.S) میزان سازگاری و موقعیت یک کانسار را با توجه به اطلاعاتی که از منطقه در اختیار نرم افزار گذاشته شده معرفی می‌نماید که البته هر چه میزان R.S بالاتر باشد، اهمیت منطقه بیشتر خواهد بود.

چنین منطقی موجب تصفیه موثر آنومالی‌های ژئوشیمیایی وابسته به کانی‌سازی از انواع دیگر می‌شود که خود موجب افزایش احتمال کشف و کاهش هزینه‌های اکتشافی می‌گردد. بنابراین با نسبت دادن یک مجموعه از آنومالی‌های ژئوشیمیایی ثبت شده در یک منطقه به مدل خاصی می‌توان برای هر یک از ویزگی‌های کمی و کیفی آن با تکیه به مقدار پارامترهای مشابه در مدل استاندارد، تخمین‌های لازم را با دقت کافی، بعمل آورده.

۱-۲- مدل‌های عددی

ویژگی‌های هر تیپ کانسار را می‌توان به دو گروه تعیین کننده و عادی تقسیم کرد. ویژگی‌های تعیین کننده شامل آن دسته از خواصی است که وجودشان در اثبات یک مدل خاص کانی‌سازی و یا بودشان در رد یک مدل خاص کانی‌سازی می‌تواند موثر باشد. خواص عادی یک کانسار خواصی است که بود و نبودش در اثبات و یا رد یک مدل معین نقشی ندارد. از آنجا که اهمیت بود یک خاصیت و یا نبود آن در مقایسه با خواص دیگر، در اثبات یا رد یک تیپ معینی از کانی‌سازی یکسان نیست، لذا لازم است برای وجود یک خاصیت (و یا نبود آن) در اثبات (یا رد) یک مدل کانی‌سازی وزن معینی انتخاب گردد. این وزن‌ها از طریق محاسبات آماری روی ۳۶۰۰ کانسار شناخته شده در جهان بدست آمده و توسط کاکس و سینکلر (۱۹۸۷ و ۱۹۹۲) ارائه گردیده است. در این پژوهه مدل‌سازی آنومالی‌های ژئوشیمیایی عمدتاً بر اساس وزن‌های فوق است که در یک مجموعه نرم‌افزاری جمع‌آوری شده است.

### ۳-۲- مدل‌سازی آنومالی‌های ژئوشیمیابی در برگه ۱:۱۰۰۰۰ دامغان

داده‌های به کار رفته در مدل‌سازی هر آنومالی شامل موارد زیر است: سکانس سنگ‌های منطقه در برگیرنده آنومالی، سنگ درونگیر آنومالی، سن‌سنگ درونگیر آنومالی، انواع دگرسانی‌های احتمالی در محدوده آنومالی، پارازیت‌های ژئوشیمیابی در محدوده آنومالی، ترکیب کانه‌ها و کانی‌ها در جزء کانی‌سنگین، ساخت و بافت سنگ درونگیر و ساخت و بافت در زون میزبانیه احتمالی، محصولات هوازدگی و خاستگاه تکتونیکی. حداقل امتیاز مثبت وجود یک خاصیت معین ۵ و حداکثر آن ۴۰۰ می‌باشد. امتیازات منفی (بعثت نبود خاصیت) وابسته به خواص بین ۰ تا ۴۰۰ تغییر می‌کند. این مجموعه خواص در دو رده اصلی ناحیه‌ای که با علامت R در جداول آمده است و محلی که با علامت Š در جداول آمده است قرار می‌گیرند. اساس تهیه اطلاعات جهت مدل‌سازی، نقشه‌های زمین‌شناسی ۱:۱۰۰،۰۰۰ منطقه می‌باشد ولی جهت مدل‌سازی هر چه دقیق‌تر لازم است تا یکبار دیگر پس از اخذ داده‌های اکتشافات چکشی و ژئوفیزیکی (مغناطیسی و گاماسنجی) قبل از تهیه شرح خدمات اکتشافات نیمه تفصیلی با به کارگیری سیستم GIS به مدل‌سازی پرداخت. مشاهدات صحرایی در خلال فاز کنترل آنومالی‌های ژئوشیمیابی نشان داد که تعدادی از آنومالی‌های ژئوشیمیابی بدست آمده در ارتباط با خطاهای ناشی از خشی شدن اثر سنگ بالادست رسوبات آبراهه‌ای بوده است. به عنوان مثال می‌توان از آنومالی‌های استرانسیوم نام برد که به علت وجود سازنده‌های گچ دار در منطقه می‌باشد که به علت وسعت کم، عمدتاً در نقشه‌های زمین‌شناسی مشخص نشده بودند. در محدوده برگه دامغان در مجموع ۲۶ آنومالی ژئوشیمیابی تشخیص داده شده است که مشخصات جغرافیایی آنها در جدول ۱-۸ آورده شده است. این آنومالی‌ها بعضاً نک عنصری ولی بیشتر چند عنصری می‌باشد. برای هر مورد از آنومالی‌ها که تحت عنوان Dam-1 تا Dam-26 شماره‌گذاری شده است سه نوع خاصیت به نرم‌افزار داده شده است:

- ۱- خواصی که وجود آنها به وسیله یکی از روش‌های به کار گرفته شده در پروژه مانند روش‌های ژئوشیمیابی، کانی‌سنگین، دگرسانی، زون‌های کانی‌سازی و سیستم‌های پلمینگ، ژئوفیزیک هوایی، سگ‌شناختی و زمین‌شناسی ساختمانی به اثبات رسیده است.
- ۲- خواصی که از طریق بررسی‌های لازم به نبود آنها در محیط یک آنومالی معین در حد امکان اطمینان حاصل شده است.

- ۳- خواصی که پس از بررسی‌های انجام شده فوق در بود یا نبود آنها (به نتیجه‌ای که قابل تضمیم‌گیری باشد) اطمینان حاصل نشده است.

- ۴- با در نظر گرفتن این نکته که توسعه هاله‌های ثانویه نقش مؤثری در امر پی‌جویی و اکتشاف مواد معدنی، در مواردی که آثار میزبانسیون در محدوده‌های آنومال مورد بررسی با عنصر آنومال محدوده متفاوت بوده، عنصر غالب کانی‌سازی دیده شده به عنوان آنومالی ژئوشیمیابی در مدل‌سازی در نظر گرفته شده است. به عنوان مثال در محدوده‌ای که آنومالی روی بدست آمده اگر کانی‌سازی ملاکیت دیده شده باشد، آنومالی ژئوشیمیابی مس در مدل‌سازی نیز در نظر گرفته شده است.

جدول ۱-۸ : موقعیت جغرافیایی و مشخصات محدوده های آنومال در برگه ۱:۱۰۰۰۰۰ دامغان

ردیف	شماره محدوده آنومالی	شماره نمونه های آنومال	عنصر آنومال ژئوشیمی	شماره نمونه کانی سنگین	شماره نمونه مینرالیزه	موقعیت جغرافیایی
۱	آنومالی شماره ۱	۲۴۸، ۲۴۷، ۲۴۶، ۲۵۲، ۲۵۱، ۲۴۹، ۲۴۸، ۲۵۸، ۲۵۰، ۲۵۴، ۲۵۹	Pb, Zn, Mn, Fe, Hg, As, Cu, V, Sb, Ag, Au	۲۴۷، ۲۴۶، ۲۴۵، ۲۴۴، ۲۵۲، ۲۵۱، ۲۴۹، ۲۵۰، ۲۵۹، ۲۵۸، ۲۵۰، ۲۵۴	-	در برگه ۱:۵۰۰۰۰ امیرآباد، در محدوده دره آکسی و دره کاوی
۲	آنومالی شماره ۲	۲۳۴، ۲۲۲، ۲۱۸، ۲۷۶، ۲۷۵، ۲۳۴، ۲۲۲، ۲۱۸	Ni, Mo, Sn, Co	۲۷۶	234-M1, 234M2, 234-M3	در برگه ۱:۵۰۰۰۰ امیرآباد، شمال مزرعه فیروزآبادی
۳	آنومالی شماره ۳	۲۱۲، ۲۱۱، ۲۱۰، ۲۱۷، ۲۱۴	Hg, Ba, Fe, V, Sb, As	۲۱۳، ۲۱۲، ۲۱۱، ۲۱۰	-	در برگه ۱:۵۰۰۰۰ امیرآباد، در ناحیه شمال باخته حاجی آباد
۴	آنومالی شماره ۴	۱۸۷، ۱۷۷، ۱۷۶، ۱۹۱، ۱۹۰، ۱۸۸	As, Hg, Ba, Au, Fe, Sb	۱۹۱، ۱۹۰، ۱۸۷، ۱۷۶	190-M1, 190-M2	در برگه ۱:۵۰۰۰۰ امیرآباد، در حوالی منطقه اسپری زیان
۵	آنومالی شماره ۵	۱۸۰، ۱۷۹، ۱۷۸، ۱۸۶، ۱۸۴، ۱۸۱	Ba, Hg	۱۰۰۵، ۱۸۰، ۱۷۹، ۱۷۸	180-M, 178-M	در برگه ۱:۵۰۰۰۰ امیرآباد در محدوده جنوب آهوانا
۶	آنومالی شماره ۶	۱۹۷، ۱۸۲	Zn, Pb	۱۹۷، ۱۸۲	-	در برگه ۱:۵۰۰۰۰ امیرآباد، در باخته آهوانا
۷	آنومالی شماره ۷	۳۹۱، ۳۹۰، ۳۸۹، ۳۹۶، ۳۹۴، ۳۹۲، ۴۰۶، ۴۰۵، ۴۰۴، ۴۴۳	Cr, Ba	۴۰۵، ۳۹۱، ۳۸۹	389-M, 391-M, 406-M1, 406M2, 406-M3	در برگه ۱:۵۰۰۰۰ قلعه و در جنوب گردنه بشم

ادامه جدول ۱-۸ : موقعیت جغرافیایی و مشخصات محدوده های آنومال در برگه ۱:۱۰۰۰۰۰ دامغان

ردیف	شماره محدوده آنومالی	شماره نمونه های آنومال	عنصر آنومال ژئوشیمی	شماره نمونه کانی سنگین	شماره نمونه میترالیزه	موقعیت جغرافیایی
۸	آنومالی شماره ۸	۲۰، ۱۹، ۱۸، ۱۷ ۲۱	Ag, Sb, Mo, Fe, V	۲۱، ۲۰، ۱۹، ۱۸	21-M1, 21-M2, 21-M3	در برگه ۱:۵۰۰۰۰ طالو، در محدوده تموزاغ(کوه زنگی)
۹	آنومالی شماره ۹	۲۵، ۲۴، ۲۳، ۲۲ ۳۶	Pb	۲۴، ۲۳، ۲۲ ۲۵، ۲۶	24-M	در برگه ۱:۵۰۰۰۰ طالو، در محدوده شیرپند
۱۰	آنومالی شماره ۱۰	۲۸، ۱۶، ۱۵ ۳۲، ۳۰، ۲۹	Cr, Sb, Hg, Ba, Sr	۳۲، ۳۰، ۲۹، ۲۸، ۱۶، ۱۵	15-M1, 32-M	در برگه ۱:۵۰۰۰۰ طالو، در شمال محمد آباد
۱۱	آنومالی شماره ۱۱	۵۴، ۴۴، ۴۳، ۴۲	Ag, Ba, Mo	۵۴، ۴۴	54-M1, 54-M2, 54-M3	در برگه ۱:۵۰۰۰۰ طالو در حوالی مس کوه
۱۲	آنومالی شماره ۱۲	۵۷، ۵۶، ۵۵، ۶ ۶۰، ۵۸	Fe, V, Ni	۵۸، ۵۶، ۵۵، ۶	6-M1, 6-M2, 57-M1, 58-M1, 58-M2, 58-M3	در برگه ۱:۵۰۰۰۰ طالو، در شمال باختز طالو
۱۳	آنومالی شماره ۱۳	۶۶، ۶۵، ۵۰، ۶۲	Cr, Ni, Fe	۶۶، ۶۵، ۶۲	65-M1, 65-M2	در برگه ۱:۵۰۰۰۰ طالو، در شمال خاور طالو
۱۴	آنومالی شماره ۱۴	۴۷، ۴۵	Sr, Ag, Mo, Pb, Ba, Cr, Sb, Bi	۴۷، ۴۵	-	در برگه ۱:۵۰۰۰۰ طالو در خاور مس کوه
۱۵	آنومالی شماره ۱۵	۹۴، ۹۰، ۹۲، ۹۱ ۱۰۰، ۹۷، ۹۴، ۹۱، ۹۰ ۱۰۳، ۱۰۲، ۱۰۱ ۱۰۴	Au, Cu, Hg, W, Co, Ni, Bi, Cr, V, Sn	۱۰۰، ۹۷، ۹۴، ۹۱، ۹۰ ۱۰۴، ۱۰۲، ۱۰۱	90-M, 94-M, 96-M, 97-M, 100-M, 104-M1, 104-M2	در خاور برگه ۱:۵۰۰۰۰ طالو در محدوده طرره

ادامه جدول ۱-۸ : موقعیت جغرافیایی و مشخصات محدوده های آنومال در برگه ۱:۱۰۰۰۰ دامغان

ردیف	شماره محدوده آنومالی	شماره نمونه های آنومال	عنصر آنومال ژئوشیمی	شماره نمونه کانی سنگین	شماره نمونه میترالیزه	موقعیت جغرافیایی
۱۶	آنومالی شماره ۱۶	۷۹، ۸۵، ۸۴	Cr	۸۵، ۷۹	-	در برگه ۱:۵۰۰۰۰ طالو در شمال کلمدر
۱۷	آنومالی شماره ۱۷	۱۳۸، ۱۳۷	Au	۱۳۸، ۱۳۷	-	در برگه ۱:۵۰۰۰۰ طالو در جنوب کوه سرتنگ
۱۸	آنومالی شماره ۱۸	۳۲۴، ۳۲۰، ۳۲۸ ۳۴۸، ۳۴۷، ۳۴۶	-	۳۴۷	347-M1, 347-M2, 347-M3	در برگه ۱:۵۰۰۰۰ قلعه و در باختر روستای نمکه
۱۹	آنومالی شماره ۱۹	۳۰۷، ۳۰۶، ۳۰۵ ۳۲۴	Au, Sn	۳۲۴، ۳۰۷، ۳۰۶	306-M1, 306-M2, 306-M3, 306-M4, 324-M1	در شمال برگه ۱:۵۰۰۰۰ قلعه در منطقه حاجی کرد
۲۰	آنومالی شماره ۲۰	۲۹۹، ۲۹۸، ۲۹۷ ۳۶۶	Fe	۳۶۶، ۲۹۷	-	در خاور برگه ۱:۵۰۰۰۰ قلعه و در منطقه رونجن
۲۱	آنومالی شماره ۲۱	۷۷، ۷۶، ۷۵، ۷۴	Mo, Pb, Ba	۷۷، ۷۵	75- M	در خاور برگه ۱:۵۰۰۰۰ طالو و در جنوب طزره
۲۲	آنومالی شماره ۲۲	۱۴۶، ۱۴۸	Ba, V	۱۴۴، ۱۴۶، ۱۴۸	146-M1, 144 M1	در شمال برگه ۱:۵۰۰۰۰ طالو و شمال شرق روستای چهارده
۲۳	آنوسالی شماره ۲۳	۲۷۷	Cu	۲۷۷	-	در جنوب غربی برگه ۱:۵۰۰۰۰ قلعه و جنوب کوه گرم کش

ادامه جدول ۸-۱: موقعیت جغرافیایی و مشخصات محدوده های آنمال در برگه ۰۰۰۰۱: دامغان

موقعیت جغرافیایی	شماره نمونه میزبانه	شماره نمونه کانی سنگین	عنصر آنمال ژئوشیمی	شماره نمونه های آنمال	شماره محدوده آنمالی آنمالی	دربپ
در برگه ۰۰۰۰۵: قلعه در شمال کلاته	—	۳۵۷	Co,Zn	۷۵۷	آنمالی شماره ۲۴	۲۴
در برگه ۰۰۰۱: طالو در شمال روستای دیوار	—	۴۶۱	As,Hg,Sb	۴۶۰	آنمالی شماره ۲۵	۲۵
در برگه ۰۰۰۵: طالو در شمال غربی موجن	—	۱۰۵ او ۱۰۶	—	۱۰۵ او ۱۰۶	آنمالی شماره ۲۶	۲۶

نتیجه مدل‌سازی آنومالیهای بیست و شش گانه برگه ۱۰۰۰۰۰:۱ دامغان به صورت جداولی که در زیر تشریح می‌شود آورده شده است (داده‌های خام هر یک از آنومالیهای ۲۶ گانه و موقعیت محل پیدایش هر یک به همراه مشاهدات صحرائی مربوط به هر یک، در جداول ضمیمه بر روی CD همراه گزارش و در ادامه گزارش آورده شده است و نیز نقشه ۱-۸ موقعیت جغرافیایی مناطق آنومالی را نشان می‌دهد). نتیجه مدل‌سازی مناطق آنومال در جدول ۲-۸ آورده شده است که شرح این جدول به قرار زیر می‌باشد:

۱- در بالای هر جدول شماره آنومال مطابق آنچه که در شرح آنومالیها در صفحات گذشته آورده شده است نشان داده می‌شود مانند Damghan-1 تا 26-Damghan.

۲- در چنین جداولی که با نام Damghan و یک شماره از ۱ تا ۲۶ مشخص می‌شود، تیپ کانسارهای احتمالی به ترتیب اولویت (احتمال رخداد) آورده شده است. اساس اولویت‌بندی آنها ارقام آخرین ستون سمت راست جدول است که از حاصل ضرب ستونهای Score و Rank حاصل شده است.

۳- در جدول فوق سه ستون عددی وجود دارد که ستون اول امتیازات Rank که نمایشگر درصد احتمال سازگاری کانسار مذکور می‌باشد را برای هر یک از تیپ کانسارهای احتمالی نشان می‌دهد. ستون دوم امتیازات Score که درصد احتمال پیدایش را برای همان تیپ کانسارها معرفی می‌کند و ستون آخر حاصل ضرب دو مقدار Rank و Score را برای هر تیپ کانسار مشخص می‌سازد. برای هر یک از کانسارهای محتمل در جدول فوق لیست خواصی که وجودشان سازگار با مدل پیشنهاد شده است در جداولی که ساختار شماره‌گذاری آنها به شرح زیر است آورده می‌شود: (جدول Damghan-1 تا 26-Damghan)

حرف Y	شماره ردیف کانسار احتمالی	خط تیره	شماره آنومالی	Damghan
-------	---------------------------	---------	---------------	---------

در چنین جداولی هر یک از خواص همراه با امتیاز مثبت بودشان و امتیاز منفی نبودشان به انضمام دامنه آن آورده می‌شود. در آخرین ستون این جداول علامت Yes به معنی وجود آن خاصیت و علامت L یا R به معنی محلی بودن و یا ناحیه‌ای بودن آن خاصیت ذکر می‌شود. در پایین‌ترین سطر این جداول جمع امتیازات مثبت و منفی و دامنه امتیاز نشان داده می‌شود.

برای هر یک از کانسارهای پیشنهاد شده محتمل در جدول ۱-Damghan تا 26-Damghan لیست خواصی که نبودشان در رد مدل موثر بوده است همراه با وزن منفی آنها در جداولی که ساختار شماره‌گذاری آنها به شرح زیر است آورده شده است:

حرف N	شماره ردیف کانسار احتمالی	خط تیره	شماره آنومالی	Damghan
-------	---------------------------	---------	---------------	---------

**Table 8-2 : Suggested Ore Deposite for Each Anomaly Area.**

**Damghan-1**

Probable Type of Ore Deposit	Rank (%)	Score (%)	R.S
Polymetallic Veins	3	3.9	11.7
Skarn-Pb-Zn	33	2.6	85.8
Flat Faults Au	18	2.5	45
Almaden Hg	90	1.1	99
Comstock Epithermal Veins	53	-0.6	-31.8

**Damghan-2**

Probable Type of Ore Deposit	Rank (%)	Score (%)	R.S
Flat Faults Au	8	2.6	20.8
Skarn-Pb-Zn	5	2.4	12
Bedded Barite	100	-0.2	-20
Polymetallic-Replacement	5	-10.5	-52.5
Appalachian Zn	63	-12.3	-774.9

**Damghan-3**

Probable Type of Ore Deposit	Rank (%)	Score (%)	R.S
Almaden Hg	100	10	1000
Bedded Barite	68	4.7	319.6
Silica Carbonate Hg	3	3	9
Superior Fe	68	2.6	176.8
Hot spring Hg	23	-2	-46

**Damghan-4**

Probable Type of Ore Deposit	Rank (%)	Score (%)	R.S
Bedded Barite	100	8.7	870
Skarn-Fe	3	3.1	9.3
Almaden Hg	78	0.8	62.4
Hot spring Hg	10	0.3	3
Superior Fe	63	-2	-126

**Damghan-5**

Probable Type of Ore Deposit	Rank (%)	Score (%)	R.S
Bedded Barite	95	10	950
Hot Spring Au-Ag	5	4	20
Low-Sulfide Au-Quartz	3	3.8	11.4
Silica Carbonate Hg	18	1.2	21.6
Appalachian Zn	70	-1.7	-119

**Damghan-6**

Probable Type of Ore Deposit	Rank (%)	Score (%)	R.S
Skarn-Fe	5	1.7	8.5
Skarn-Pb-Zn	5	-5.5	-27.5
Appalachian Zn	98	-6.2	-607.6
Bedded Barite	83	-12.4	-1029.2
Polymetallic-Replacement	15	-17	-255

**Table 8-2 : Suggested Ore Deposite for Each Anomaly Area.**

**Damghan-7**

Probable Type of Ore Deposit	Rank (%)	Score (%)	R.S
Bedded Barite	100	8.7	870
Polymetallic-Replacement	3	1.3	3.9
Missouri Pb-Zn	13	-4.5	-58.5
Appalachian Zn	78	-8.4	-655.2
Carbonate-Hosted Au-Ag	10	-12.9	-129

**Damghan-8**

Probable Type of Ore Deposit	Rank (%)	Score (%)	R.S
Skarn-Pb-Zn	8	3.1	24.8
Skarn-Fe	5	2.8	14
Superior Fe	90	-4.4	-396
Appalachian Zn	75	-4.9	-367.5
Missouri Pb-Zn	70	-5.3	-371

**Damghan-9**

Probable Type of Ore Deposit	Rank (%)	Score (%)	R.S
Bedded Barite	100	4.4	440
Skarn-Pb-Zn	5	1.6	8
Creed Epithermal Veins	3	1.6	4.8
Appalachian Zn	78	-6.2	-483.6
Superior Fe	10	-15.8	-158

**Damghan-10**

Probable Type of Ore Deposit	Rank (%)	Score (%)	R.S
Appalachian Zn	95	0.8	76
Kipushi Cu-Pb-Zn	5	-4.8	-24
Almaden Hg	80	-7.4	-592
Silica Carbonate Hg	10	-7.6	-76
Carbonate-Hosted Au-Ag	8	-8.7	-69.6

**Damghan-11**

Probable Type of Ore Deposit	Rank (%)	Score (%)	R.S
Bedded Barite	100	11.9	1190
Skarn-Pb-Zn	8	2.1	16.8
Au-Ag-Te Veins	3	1.7	5.1
Almaden Hg	18	-11	-198
Appalachian Zn	70	-11.3	-791

**Damghan-12**

Probable Type of Ore Deposit	Rank (%)	Score (%)	R.S
Skarn-Fe	5	2.2	11
Appalachian Zn	100	-2	-200
Skarn-Pb-Zn	15	-3	-45
Almaden Hg	8	-9	-72
Volcanic-Hosted Magnetite	25	-12.1	-302.5

**Table 8-2 : Suggested Ore Deposite for Each Anomaly Area.**

Damghan-13

Probable Type of Ore Deposit	Rank (%)	Score (%)	R.S
Skarn-Pb-Zn	5	1.6	8
Volcanic-Hosted Magnetite	3	-7.2	-21.6
Epithermal Mn	13	-12.2	-158.6
Appalachian Zn	95	-12.3	-1168.5
Almaden Hg	13	-22.3	-289.9

Damghan-14

Probable Type of Ore Deposit	Rank (%)	Score (%)	R.S
Bedded Barite	100	8.7	870
Appalachian Zn	75	-0.5	-37.5
Kipushi Cu-Pb-Zn	5	-5.3	-26.5
Almaden Hg	43	-7.8	-335.4
Polymetallic-Replacement	40	-13	-520

Damghan-15

Probable Type of Ore Deposit	Rank (%)	Score (%)	R.S
Missouri Pb-Zn	100	6.3	630
Appalachian Zn	80	3.7	296
Creed Epithermal Veins	3	3.3	9.9
Kipushi Cu-Pb-Zn	65	-0.5	-32.5
Polymetallic-Replacement	3	-3.1	-9.3

Damghan-16

Probable Type of Ore Deposit	Rank (%)	Score (%)	R.S
Creed Epithermal Veins	5	1.4	7
Skarn-Pb-Zn	13	-5.5	-71.5
Disseminated-Ag-Au	3	-7.9	-23.7
Appalachian Zn	98	-10.3	-1009.4
Au-Ag-Te Veins	5	-12.1	-60.5

Damghan-17

Probable Type of Ore Deposit	Rank (%)	Score (%)	R.S
Flat Faults Au	10	1	10
Disseminated Sb	13	-7.9	-102.7
Skarn-Cu	3	-9	-27
Appalachian Zn	93	-22.4	-2083.2
Carbonate-Hosted Au-Ag	58	-33.4	-1937.2

Damghan-18

Probable Type of Ore Deposit	Rank (%)	Score (%)	R.S
Skarn-Pb-Zn	8	0.9	7.2
Polymetallic-Replacement	5	-8.6	-43
Volcanic-Hosted Magnetite	13	-18.3	-237.9
Carbonate-Hosted Au-Ag	8	-18.3	-146.4
Appalachian Zn	90	-22.8	-2052

**Table 8-2 : Suggested Ore Deposits for Each Anomaly Area.**

**Damghan-19**

Probable Type of Ore Deposit	Rank (%)	Score (%)	R.S
Skarn-Pb-Zn	5	2	10
Skarn-Fe	3	2	6
Appalachian Zn	98	-1.4	-137.2
Disseminated-Ag-Au	5	-5.8	-29
Sado Epithermal Veins	15	-10.3	-154.5

**Damghan-20**

Probable Type of Ore Deposit	Rank (%)	Score (%)	R.S
Superior Fe	100	5.2	520
Skarn-Fe	13	-6.3	-81.9
Carbonate-Hosted Au-Ag	25	-17.5	-437.5
Appalachian Zn	70	-23.3	-1631
Volcanic-Hosted Magnetite	28	-26	-728

**Damghan-21**

Probable Type of Ore Deposit	Rank (%)	Score (%)
*** Invalid modeling, not enough data! ***		

**Damghan-22**

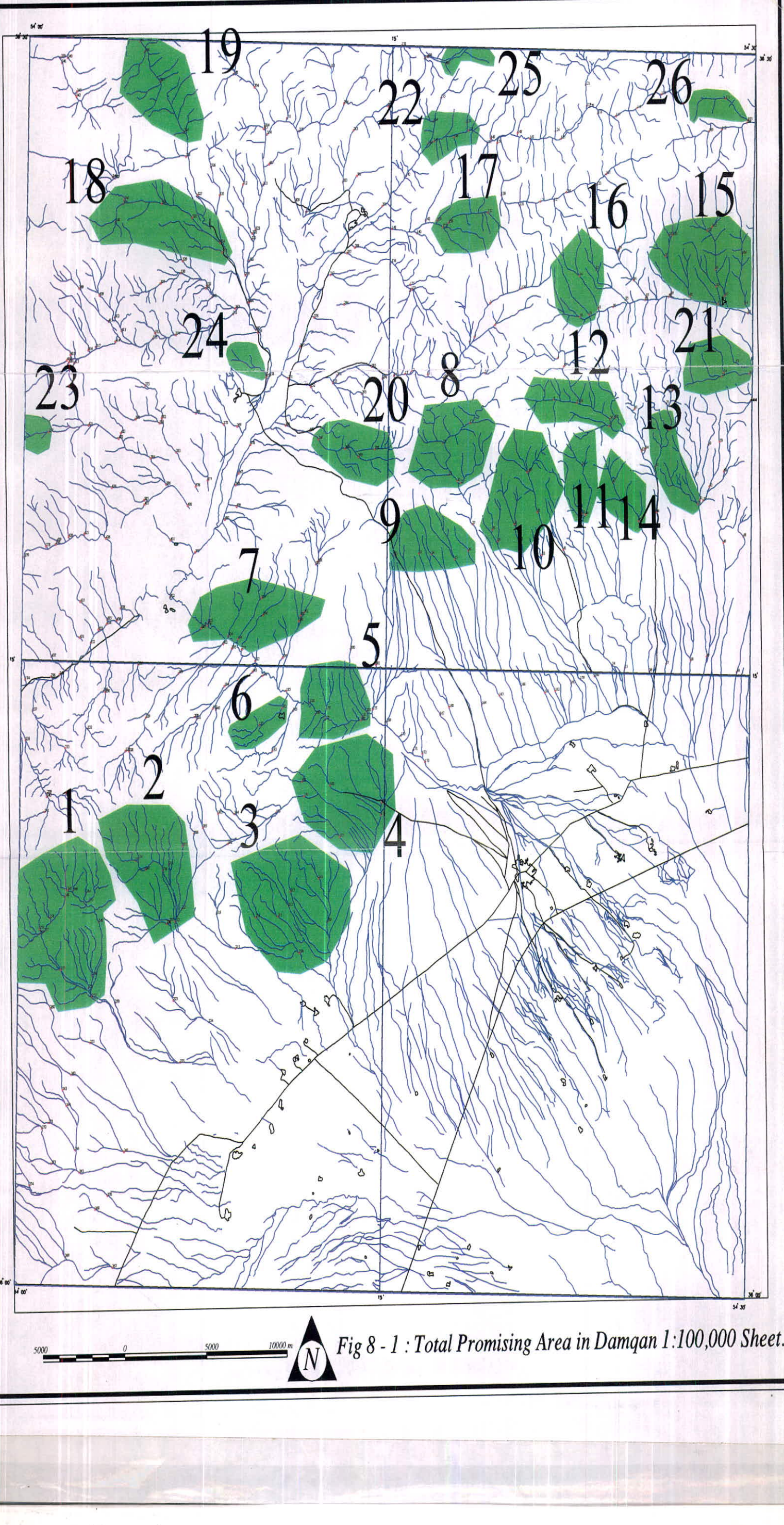
Probable Type of Ore Deposit	Rank (%)	Score (%)	R.S
Bedded Barite	100	12.5	1250
Skarn-Pb-Zn	5	1.6	8
Skarn-Fe	3	1.6	4.8
Appalachian Zn	80	0.6	48
Carbonate-Hosted Au-Ag	8	-11.9	-95.2

**Damghan-23**

Probable Type of Ore Deposit	Rank (%)	Score (%)	R.S
Skarn-Fe	8	2.7	21.6
Appalachian Zn	93	-5.7	-530.1
Skarn-Pb-Zn	15	-5.8	-87
Polymetallic-Replacement	10	-9.9	-99
Almaden Hg	13	-11.3	-146.9

**Damghan-24**

Probable Type of Ore Deposit	Rank (%)	Score (%)	R.S
Skarn-Fe	5	2.2	11
Skarn-Pb-Zn	10	-4	-40
Volcanic-Hosted Magnetite	5	-5.6	-28
Appalachian Zn	98	-5.7	-558.6
Polymetallic-Replacement	13	-9.9	-128.7



#### ۴-۴-۱- اولویت‌بندی مناطق امیدبخش بر اساس نرم افزار ODM

در این پژوهه اساس اولویت‌بندی مناطق امیدبخش را درجه سازگاری مجموعه پارامترهای مشاهده شده و یا اندازه‌گیری شده در محل توسعه هر آنومالی تشکیل می‌دهد. این درجه سازگاری به صورت درصد انطباق مجموعه خواص مشاهده شده با تیپ‌های استاندارد کانساری مورد ارزیابی قرار گرفته است و نتایج آن در ستون آخر جداول ارائه شده در مدل‌سازی آورده شده است. بر اساس این ارقام می‌توان آنومالی‌های ژئوشیمیایی را در محدوده برگه دامغان به ترتیب زیر در اولویت قرار داد. در جدول ۳-۸ بیشترین امتیازات هر منطقه به همراه سازگارترین نوع کانی سازی وابسته و مساحت محدوده آورده شده است. بر اساس امتیازات بدست آمده آنومالی‌ها به دو اولویت زیر تقسیم می‌شوند:

۱- آنومالی‌های با ضریب R.S بیشتر از ۱۰۰ شامل ده مورد که مساحتی حدود ۱۵۰ کیلومتر از برگه ۱۰۰۰۰۰ : ۱ دامغان که مورد بررسی قرار گرفته بودند را شامل می‌شود و شماره‌های آنها بترتیب عبارتست از: Damghan 3,4,5,7,9,11,14,15, 20,22.

۲- آنومالی‌های با ضریب R.S کمتر از ۱۰۰ که مساحتی در حدود ۱۹۰ کیلومتر از برگه مورد مطالعه را تشکیل می‌دهند و شانزده منطقه باقیمانده را تشکیل می‌دهند.

#### ۱-۴-۲- معرفی مناطق امیدبخش نهایی

با توجه به نتایج بدست آمده از برنامه مدل‌سازی کانساری و مطابقت آن با نتایج و شواهد مشاهده شده در عملیات کنترل ناهنجاری‌های ژئوشیمیایی، تنافق‌هایی بچشم می‌خورد که عمدتاً ناشی از ناقص بودن اطلاعات می‌باشد. لذا بنابراین مجبور به تهیه دو سری جدول، اولی بر اساس ضریب R.S به شماره‌های ۱-۳-۸ و ۱-۴-۸ و دیگری بر اساس ضریب Score به شماره‌های ۲-۳-۸ و ۲-۴-۸ تهیه شده است. اما با توجه به شواهد صحراوی بنظر می‌رسد جدول ۲-۴-۸ مطابقت بیشتری با آنومالی‌ها و میزالیزاسیون در منطقه داشته باشد. با توجه به ناقص بودن اطلاعات لازم است کلیه مناطق فوق جهت بررسی‌های تفصیلی مورد مطالعه و تحقیق قرار بگیرند. بدین لحاظ هیچ منطقه‌ای در جدول نهایی حذف نگردیده و تنها اولویت‌ها به دو گروه رتبه یک و دو تقسیم شده‌اند و در مجموع مساحتی حدود ۱۲۸ کیلومتر مربع که حدود ۵٪ از کل برگه را شامل می‌شود جهت اکتشافات مراحل بعدی پیشنهاد می‌گردد.

**Table 8-3-1 : The Most Promising Area Ranked On R.S in Damghan 1:100,000 Sheet**

Anomaly No.	Probable Type of Ore Deposite	Rank (%)	Score (%)	R.S	Area ( KM <sup>2</sup> )
Damghan-1	Almaden Hg	90	1.1	99	35.45
Damghan-2	Flat Faults Au	8	2.6	20.8	23.87
Damghan-3	Almaden Hg	100	10	1000	32.88
Damghan-4	Bedded Barite	100	8.7	870	25.19
Damghan-5	Bedded Barite	95	10	950	12.67
Damghan-6	Skarn-Fe	5	1.7	8.5	4.85
Damghan-7	Bedded Barite	100	8.7	870	18.23
Damghan-8	Skarn-Pb-Zn	8	3.1	24.8	15.78
Damghan-9	Bedded Barite	100	4.4	440	12.10
Damghan-10	Appalachian Zn	95	0.8	76	18.76
Damghan-11	Bedded Barite	100	11.9	1190	6.89
Damghan-12	Skarn-Fe	5	2.2	11	10.66
Damghan-13	Skarn-Pb-Zn	5	1.6	8	7.80
Damghan-14	Bedded Barite	100	8.7	870	6.83
Damghan-15	Missouri Pb-Zn	100	6.3	630	19.69
Damghan-16	Creed Epithermal Veins	5	1.4	7	10.24
Damghan-17	Flat Faults Au	10	1	10	8.26
Damghan-18	Skarn-Pb-Zn	8	0.9	7.2	20.29
Damghan-19	Skarn-Pb-Zn	5	2	10	16.04
Damghan-20	Superior Fe	100	5.2	520	10.58
Damghan-21	???	???	???	???	8.45
Damghan-22	Bedded Barite	100	12.5	1250	5.88
Damghan-23	Skarn-Fe	8	2.7	21.6	2.16
Damghan-24	Skarn-Fe	5	2.2	11	2.87
Damghan-25	Flat Faults Au	10	2.6	26	2.45
Damghan-26	Superior Fe	8	1.8	14.4	3.80

**Table 8-3-2 : Most Promising Area Ranked On Score in Damghan 1:100,000 Sheet**

Anomaly No.	Probable Type of Ore Deposite	Rank (%)	Score (%)	R.S	Area ( KM <sup>2</sup> )
Damghan-1	Polymetallic Veins	3	3.9	11.7	35.45
Damghan-2	Flat Faults Au	8	2.6	20.8	23.87
Damghan-3	Almaden Hg	100	10	1000	32.88
Damghan-4	Bedded Barite	100	8.7	870	25.19
Damghan-5	Bedded Barite	95	10	950	12.67
Damghan-6	Skarn-Fe	5	1.7	8.5	4.85
Damghan-7	Bedded Barite	100	8.7	870	18.23
Damghan-8	Skarn-Pb-Zn	8	3.1	24.8	15.78
Damghan-9	Bedded Barite	100	4.4	440	12.10
Damghan-10	Appalachian Zn	95	0.8	76	18.76
Damghan-11	Bedded Barite	100	11.9	1190	6.89
Damghan-12	Skarn-Fe	5	2.2	11	10.66
Damghan-13	Skarn-Pb-Zn	5	1.6	8	7.80
Damghan-14	Bedded Barite	100	8.7	870	6.83
Damghan-15	Missouri Pb-Zn	100	6.3	630	19.69
Damghan-16	Creed Epithermal Veins	5	1.4	7	10.24
Damghan-17	Flat Faults Au	10	1	10	8.26
Damghan-18	Skarn-Pb-Zn	8	0.9	7.2	20.29
Damghan-19	Skarn-Pb-Zn	5	2	10	16.04
Damghan-20	Superior Fe	100	5.2	520	10.58
Damghan-21	???	???	???	???	8.45
Damghan-22	Bedded Barite	100	12.5	1250	5.88
Damghan-23	Skarn-Fe	8	2.7	21.6	2.16
Damghan-24	Skarn-Fe	5	2.2	11	2.87
Damghan-25	Flat Faults Au	10	2.6	26	2.45
Damghan-26	Superior Fe	8	1.8	14.4	3.80

Table 8-4-1 : The Final Promising Area Ranked On R.S in Damghan 1:100,000 Sheet

	Anomaly No.	Probable Type of Ore Deposite	R.S	Area ( KM <sup>2</sup> )	Cumulative Area ( KM <sup>2</sup> )
Frist Priority	Damghan-22	Bedded Barite	1250	5.9	5.9
	Damghan-11	Bedded Barite	1190	6.9	12.8
	Damghan-3	Almaden Hg	1000	32.9	45.7
	Damghan-5	Bedded Barite	950	12.7	58.3
	Damghan-4	Bedded Barite	870	25.2	83.5
	Damghan-7	Bedded Barite	870	18.2	101.7
	Damghan-14	Bedded Barite	870	6.8	108.6
	Damghan-15	Missouri Pb-Zn	630	19.7	128.3
Second Priority	Damghan-20	Superior Fe	520	10.6	138.9
	Damghan-9	Bedded Barite	440	12.1	151.0
	Damghan-1	Almaden Hg	99	35.4	186.4
	Damghan-10	Appalachian Zn	76	18.8	205.2
	Damghan-25	Flat Faults Au	26	2.4	207.6
	Damghan-8	Skarn-Pb-Zn	24.8	15.8	223.4
	Damghan-23	Skarn-Fe	21.6	2.2	225.6
	Damghan-2	Flat Faults Au	20.8	23.9	249.4
	Damghan-26	Superior Fe	14.4	3.8	253.2
	Damghan-12	Skarn-Fe	11	10.7	263.9
	Damghan-24	Skarn-Fe	11	2.9	266.8
	Damghan-17	Flat Faults Au	10	8.3	275.0
	Damghan-19	Skarn-Pb-Zn	10	16.0	291.0
	Damghan-6	Skarn-Fe	8.5	4.8	295.9
	Damghan-13	Skarn-Pb-Zn	8	7.8	303.7
	Damghan-18	Skarn-Pb-Zn	7.2	20.3	324.0
	Damghan-16	Creed Epithermal Veins	7	10.2	334.2
	Damghan-21	???	???	8.4	342.7

**Table 8-4-2 : The Final Promising Area Ranked On Score in Damghan 1:100,000 Sheet**

	Anomaly No.	Probable Type of Ore Deposite	Score (%)	R.S	Area ( KM <sup>2</sup> )	Cumulative Area ( KM <sup>2</sup> )
Frist Priority	Damghan-22	Bedded Barite	12.5	1250.0	5.9	5.9
	Damghan-11	Bedded Barite	11.9	1190.0	6.9	12.8
	Damghan-3	Almaden Hg	10.0	1000.0	32.9	45.7
	Damghan-5	Bedded Barite	10.0	950.0	12.7	58.3
	Damghan-4	Bedded Barite	8.7	870.0	25.2	83.5
	Damghan-7	Bedded Barite	8.7	870.0	18.2	101.7
	Damghan-14	Bedded Barite	8.7	870.0	6.8	108.6
	Damghan-15	Missouri Pb-Zn	6.3	630.0	19.7	128.3
Second Priority	Damghan-20	Superior Fe	5.2	520.0	10.6	138.9
	Damghan-9	Bedded Barite	4.4	440.0	12.1	151.0
	Damghan-1	Polymetallic Veins	3.9	11.7	35.4	186.4
	Damghan-8	Skarn-Pb-Zn	3.1	24.8	15.8	202.2
	Damghan-23	Skarn-Fe	2.7	21.6	2.2	204.3
	Damghan-2	Flat Faults Au	2.6	20.8	23.9	228.2
	Damghan-25	Flat Faults Au	2.6	26.0	2.5	230.7
	Damghan-12	Skarn-Fe	2.2	11.0	10.7	241.3
	Damghan-24	Skarn-Fe	2.2	11.0	2.9	244.2
	Damghan-19	Skarn-Fe	2.0	10.0	16.0	260.2
	Damghan-26	Superior Fe	1.8	14.4	3.8	264.0
	Damghan-6	Skarn-Fe	1.7	8.5	4.8	268.9
	Damghan-13	Skarn-Pb-Zn	1.6	8.0	7.8	276.7
	Damghan-16	Creed Epithermal Veins	1.4	7.0	10.2	286.9
	Damghan-17	Flat Faults Au	1.0	10.0	8.3	295.2
	Damghan-18	Skarn-Pb-Zn	0.9	7.2	20.3	315.5
	Damghan-10	Appalachian Zn	0.8	76.0	18.8	334.2
	Damghan-21	???	???	???	8.4	342.7

## ۴-۵- معرفی نهایی مناطق آنومال

در این گزارش جهت معرفی نواحی ناهنجار بر مبنای داده های رئوژیمیابی حاصل از نمونه های سیلت رسوبات آبراهه ای از داده های خام ، داده های معرف غنی شدگی بر اساس حذف اثر لیتلولژی با توجه به جنس سنگ های حوضه آبریز و نیز داده های معرف غنی شدگی نمونه ها بر اساس حذف اثر عناصر لیتلولژیکی بر اساس ترکیب شیمیابی نمونه ها و بهمراه محاسبه احتمال رخداد برای عناصر مختلف،استفاده گردیده وازتمامی مناطق ناهنجار نمونه های کانی سنگین برداشت شده است و نیز در زمان برداشت نمونه های کانی سنگین این محدوده ها مورد بررسی های چکشی صحرابی قرار گرفته که البته با توجه به حیطه عملکرد پروژه ، بررسی ها و پی جویی های چکشی در حد بررسی مسیر آبراهه ها و رخمنون های مشخص و موجود در منطقه بوده است و از آنجا که تراکم برداشت نمونه های کانی سنگین در محدوده های ناهنجاریوده است ، لذا چنانچه رخمنون میزالیزه ای در حوضه وجود داشته که دیده نشده باشد توسط ردبایهای کانی سنگین مشخص گردیده است. همانگونه که در ابتدای فصل پنجم گزارش ذکر گردید تمامی اطلاعات موجود شامل زمین شناسی ، تکتونیک ، رئوژیمی و ۱۰۰۰ که در اختیار بوده در نرم افزار مدل سازی کانساری وارد گردیده که بر اساس نتایج این برنامه می توان به جستجوی هدفدار در محدوده ها پرداخته و سیاست ادامه عملیات اکتشافی را مشخص کرد .

قدر مسلم چنانچه اطلاعاتی که در اختیار نرم افزار مدل سازی کانساری قرار می گیرد، کامل باشد، در آن صورت مدل ارائه شده توسط نرم افزار مدل سازی، کاملاً منطبق بر محدوده خواهد بود اما با توجه به حجم کم اطلاعات ورودی در مرحله اکتشافات ناجهه ای همانگونه که در جداول مربوطه مشخص است میزان احتمال وقوع کانسار (Score) بسیار کم می باشد .

در آخر با توجه به کلیه اطلاعات موجود و نتایج نرم افزار مدل سازی کانساری جدولی تهیه شده است (جدول ۸ - ۵) که در آن علاوه بر اطلاعات رئوژیمی ، کانی سنگین و زمین شناسی هر محدوده ناهنجار ، کانی زایی که در محدوده ناهنجار احتمال حضور دارد و باید مورد پی جویی چکشی قرار بگیرد، آورده شده است که می تواند راهنمای خوبی در جهت ادامه عملیات اکتشافی در این محدوده باشد. در این جدول به ترتیب در ستون دوم کانی سازی که بیشترین احتمال وقوع را در هر محدوده دارد، ستون سوم شماره محدوده (با توجه به نقشه ۱-۸)، ستون چهارم عناصر آنومال که در نمونه های سیلت رسوبات آبراهه ای رخداد داشته اند ، ستون پنجم عناصری که در نمونه های سنگ در محدوده آنومال بوده اند ( که این سنگها ممکن است برجا و یا نا برجا باشند )، ستون ششم کانی های با ارزشی که در مطالعه کانی سنگین گزارش شده است و در ستون آخر مشخصات زمین شناسی هر محدوده آنومال نقشه ۱۰۰۰۰: ۱ دامغان استخراج شده، آورده شده است.

جدول ۵-۸ : مشخصات مناطق آنومال در برگه دامغان بهمراه کانی زایی های مورد انتظار در هر منطقه با توجه به شواهد موجود.

Counter	Expected Mineralization	Anomaly Area	Geochemical Anomaly (Based on Silt Samples)	Geochemical Anomaly (Based on Rock Samples)	Minerals (Based on Heavy Mineral Samples)	Geology (Damgan 1:100,000 Geology Map)
1	Gold	Damgan - 1	Ag,As,Au,Cu,Fe,Hg,Mn,Pb,Sb,V,Zn	—	Galen;Gold;Malachit;Native Copper	Flows;Lime St.;Sand St.;Shale;Tuff
2	Gold	Damgan - 2	Bi,Co,Mo,Ni,Sn	Pn,Zn	Barite;Gold;Mimeticite;Scheelite	Dolomite;Lime St.;Sand St.;Shale
3	Gold	Damgan - 19	Au,Sn	Fe	Goethite;Gold;Hematite;Limonite;Mimetite;Pyrite;Sphalerite	Lime St.;Quartzite;Sand St.;Shale
4	Gold	Damgan - 4	As,Au,Ba,Fe,Hg,Sb	As,Hg	Barite;Goethite;Magneteite;Oligist;Pyrite	Conglomerate;Dolomite;Lime St.;Sand St.;Tuff;Tuffaceous Shale
5	Gold	Damgan - 17	Au	—	Brookit;Native Lead	Lime St.
6	Gold & Skarn	Damgan - 5	Ba,Hg	B,Fe	Barite;Coprile;Goethite;Gold;Limonite;malachite;Oligist;Pyrite;Sphalerite	Conglomerate;Dolomite;Flows;Gypsiferous Marl;Lime St.;Sand St.;Tuff;Tuffaceous Shale
7	Skarn	Damgan - 25	As,Hg,Sb	—	Gold;Hematite;Limonite;Pyrite;Siderite	Marly Lime St.;Lime St.;Sand St.;Shale;Alteration Zones,Silicification,Slag
8	Skarn	Damgan - 18	—	B,Fe	Hematite;Jarosite;Oligist;Siderite	Coal;Gypsiferous Marl;Lime St.,Marly Lime St.;Sand St.;Shale(Dark)
9	Skarn	Damgan - 12	Fe,Ni,V	Ba,Fe	Arsenopyrite;Barite;Epidote;Flourite;Galena;Magnetite;Malachite;Oligist;Pyrite;Scheelite;Sphalerite	Coal;Flows;Lime St.,Marly Lime St.;Red Sand St.;Sand St.;Shale(Dark)
10	Skarn	Damgan - 20	Fe	—	Arsenopyrite;Barite	Coal;Flows;Gypsum;Sand St.;Shale;Shale(Dark);Tuff
11	Epithermal Mineralization	Damgan - 3	As,Ba,Fe,Hg,Sb,V	—	Andalusite;Barite;Cinnabar;Epidote;Hematite;Magneteite;Malachite;Pyrite;Siderite;Sphalerite	Dolomite;Lime St.;Red Sand St.;Shale;Silicified Limestone
12	Copper & Zinc & Lead	Damgan - 23	Cu	—	Scheelite;Arsenopyrite;Barite;Borite;Galena;Limonite;Pyrite;Sphalerite	Coal;Lime St.;Sand St.;Shale(Black)
13	Zinc & Lead	Damgan - 15	Au,Bi,Co,Cr,Cu,Hg,Ni,Sn,V,W	—	Andalusite;Arsenopyrite;Flourite;Galena;Garnet;Marcasite;Martite;Mimeticite;Scheelite;Siderite;Sphalerite	Coal;Lime St.;Marly Lime St.;Sand St.;Shale(Dark);Volcanic Rocks
14	Zinc & Lead	Damgan - 8	Ag,Fe,Mo,Sb,V	—	Barite;Galena;Magneteite;Malachite	Flows;Lime St.;Red Sand st.;Sand St.;Shale;Tuff
15	Zinc & Lead	Damgan - 10	Ba,Cr,Cu,Hg,Pb,Sb,Sr	Zn	Barite;Cerrosite;Galena;Goethite;Malachite;Mimeticite;Pyrite	Flows;Lime St.;Sand St.;Tuff;Tuffaceous Shale
16	Zinc & Lead	Damgan - 9	Pb	—	Barite;Cerrosite;Galena;Native Lead;Sphalerite	Coal;Flows;Gypsum;Lime St.;Sand St.;Shale(Dark);Tuff;Tuffaceous Shale
17	Zinc & Lead	Damgan - 13	Cr,Fe,Ni	—	Barite;Brookit;Epidote;Flourite;Galena;Jarosite;Magnetite;Malachite;Sphalerite	Coal;Lime St.;Marly Lime St.;Sand St.;Shale(Dark)
18	Zinc & Lead	Damgan - 24	Co,Zn	—	Barite;Galena;Hematite;Pyrite	Coal;Gypsum;Lime St.,Marly lime St.;Sand St.;Shale (Black);Tuff
19	Zinc & Lead	Damgan - 6	Pb,Zn	—	—	Flows;Lime St.;Tuff;Tuffaceous Shale
20	Zinc & Lead	Damgan - 16	Cr	—	Flourite;Galena;Jarosite;Sphalerite	Coal;Lime St.;Marly Lime St.;Sand St.;Shale(Dark);Volcanic Rocks
21	Zinc & Lead	Damgan - 26	—	—	Flourite;Garnet;Hematite;Limonite;Pyrite;Sphalerite	Conglomerate;Lime St.
22	Zinc & Lead & Barite	Damgan - 22	Ba,V	Ba,Mo,Zn	Barite;Cerrosite;Galena;Malachite;Selestine;Sphalerite	Marly Lime St.;Coal;Lime St.;Sand St.;Shale(Black);Tuff
23	Zinc & Lead & Barite	Damgan - 21	Ba,Mo,Pb	—	Barite;Flourite;Malachite;Mimeticite;Oligist	Dolomite;Lime St.;Marly Lime St.;Quartzite;Red Sand St.;Sand St.;Shale
24	Zinc & Lead & Barite	Damgan - 14	Ag,Ba,Bi,Cr,Mo,Pb,Sb,Sr	—	Barite;Cerrosite;Marcasite	Flows;Lime St.;Tuff;Tuffaceous Shale
25	Barite	Damgan - 11	Ag,Ba,Mo,Zn	Ba	Barite;Cerrosite;Galena;Mimeticite;Pyrite;Scheelite	Flows;Lime St.;Tuff;Tuffaceous Shale
26	Barite	Damgan - 7	Cr,Ba	Ba	Barite;Oligist;Pyrite	Coal;Dolomite;Gypsiferous Marl;Lime St.;Sand St.;Shale(Dark);Tuff